



Universitatea  
Transilvania  
din Braşov

ŞCOALA DOCTORALĂ INTERDISCIPLINARĂ  
Facultatea de Matematică și Informatică

Olivia-Ana PETCU (căs. FLOREA)

Probleme mixte cu date la limită și inițiale pentru  
medii continue generalizate

Mixt problems with boundary and initial data for  
generalized continua

REZUMAT / ABSTRACT

Conducător științific

Prof. dr. habil. Marin MARIN

BRAȘOV, 2019



Universitatea  
Transilvania  
din Braşov

## COMPONENŢA

### Comisiei de doctorat

Numită prin ordinul Rectorului Universităţii Transilvania din Braşov  
Nr. 9726 din 16.01.2019

PREŞEDINTE:

**Prof. dr. Radu PĂLTĂNEA**

Coordonator centru de cercetare Modelare Matematică  
şi Prodeuse Software,

Universitatea *Transilvania* din Braşov

CONDUCĂTOR ŞTIINŢIFIC:

**Prof. dr. Marin MARIN**

Universitatea *Transilvania* din Braşov

REFERENŢI:

**Acad. CSI dr. Gabriela MARINOSCHI**

Institutul de Statistică Matematică şi Matematică  
Aplicată *Gheorghe Mihoc-Caius Iacob*  
al Academiei Române

**Prof. dr. Vicenţiu RĂDULESCU**

Universitatea Craiova

**Prof. dr. Marius-Eduard CRĂCIUN**

Universitatea *Ovidius* Constanţa

Data susţinerii publice a tezei de doctorat: 15.02.2019 ora 13.00 sala PP6.

Eventualele aprecieri sau observaţii asupra conţinutului lucrării vor fi transmise electronic, în timp util, pe adresa [olivia.florea@unitbv.ro](mailto:olivia.florea@unitbv.ro).

Totodată, vă invităm să luaţi parte la şedinţa publică de susţinere a tezei de doctorat.

Vă mulţumim!

# Cuprins

	Pag. rez.	Pag. teză
<b>Prefață</b>	5	3
<b>1 Termoelasticitatea clasică</b>	9	6
1.1 Principiile termodinamicii .....	12	9
1.2 Ecuații constitutive ale teoriei liniare a termoelasticității ....	15	14
<b>2 Comportamentul temporal al soluțiilor în termoelasticitatea corpurilor poroase micropolare .....</b>	17	16
2.1 Ecuațiile de bază ale mediilor micropolare .....	18	17
2.2 Comportamentul temporal al soluțiilor .....	23	27
<b>3 Dislocări seismice în corpuri termoelastice cu microstructură .....</b>	27	34
3.1 Ecuații de bază .....	28	35
3.2 Rezultate principale .....	30	37
<b>4 Comportamentul spațial în termoelasto-dinamica corpurilor cu porozitate dublă .....</b>	37	45
4.1 Ecuații de bază .....	38	47
4.2 Imposibilitatea localizării în timp .....	40	52
4.3 Alternativa Phragmen-Lindelof .....	43	54
4.4 Limita superioară a lui $E_\omega$ în ceea ce privește condițiile la limită .....	46	57
4.5 Ecuații de bază pentru materiale cu dublă porozitate și microtemperaturi .....	48	61
4.6 Rezultate principale pentru medii dublu poroase cu microtemperaturi .....	51	63
4.7 Estimarea spațială a mediilor cu dublă porozitate și microtemperaturi .....	52	66

<b>5</b>	<b>Vibrații armonice în dinamica termoelastică</b>		
	<b>cu dublă porozitate</b> .....	55	70
	5.1 Ecuații de bază .....	56	71
	5.2 Identități auxiliare și estimări apriori .....	59	73
	5.3 Estimarea amplitudinii .....	62	79
<b>6</b>	<b>Aplicații ale mediilor poroase în medicină</b> .....	67	86
	6.1 Modelarea matematică a unui disc intervertebral ...	67	86
	6.1.1 Ecuații de bază .....	68	88
	6.1.2 Modelul matematic al comportării dinamice a discului intervertebral .....	69	91
	6.1.3 Rezultate numerice .....	70	93
	6.2 Microdeplasări în fractura de femur .....	72	95
	6.2.1 Modelări ale microrotațiilor și microdeplasărilor în fractură .....	73	95
<b>7</b>	<b>Concluzii finale</b> .....	77	102
	<b>Bibliografie</b> .....	79	104
	<b>Anexe</b> .....	86	110
	Anexa 1. Scurt rezumat al tezei .....	87	111
	Anexa2. Curriculum Vitae .....	90	115

# Contents

	Abs. page.	Thesis page
<b>Preface</b>	5	3
<b>1 Classical thermoelasticity</b>	9	6
1.1 Principles of thermodynamics	12	9
1.2 Constitutive equations of the linear thermoelasticity	16	14
<b>2 Temporal behavior of the solutions in thermoelasticity of porous micropolar bodies</b>	19	16
2.1 Basic equations for the micropolar bodies	20	17
2.2 Temporal behavior of the solutions	26	27
<b>3 Seismic dislocations in microstretch thermoelastic bodies</b>	31	34
3.1 Basic equations	32	35
3.2 Main results	35	37
<b>4 Spatial behavior in thermoelasticity with double porosity structure</b>	41	45
4.1 Basic equations	42	47
4.2 Impossibility of localization in time	45	52
4.3 Alternative Phragmen-Lindelof	47	54
4.4 Upper limit of $E_\omega$ regarding the boundary conditions	50	57
4.5 Basic equations for materials with double porosity and microtemperatures	52	61
4.6 Main results for bodies with double porosity and microtemperatures	55	63
4.7 Spatial decay of the double porosity materials with microtemperatures	56	66

<b>5</b>	<b>Harmonic vibrations in thermoelastic dynamics with double porosity structure</b> .....	59	70
	5.1 Basic equations .....	60	71
	5.2 Auxiliary identities and apriiori estimations .....	63	73
	5.3 Estimation of amplitude .....	66	79
<b>6</b>	<b>Applications of porous bodies in medicine</b> .....	71	86
	6.1 Mathematical modeling of an inter-vertebral disc .....	71	86
	6.1.1 Basic equations .....	72	88
	6.1.2 Mathematical model of dynamical behavior of the inter-vertebral disc .....	73	91
	6.1.3 Numerical results .....	74	93
	6.2 Microdisplacements in femoral fracture .....	76	95
	6.2.1 Modeling of microdisplacements and microrotations in femoral fracture .....	77	95
<b>7</b>	<b>Final conclusions</b> .....	81	102
	<b>Bibliography</b> .....	83	104
	<b>Apendices</b> .....	89	110

# Prefață

În ultimii ani au fost intens studiate noi modele continue de medii deformabile. Este bine cunoscut faptul că răspunsul materialului la stimulii externi depinde în mare măsură de mișcările structurii sale interne. Bazele teoriei continuumului orientat au fost introduse de frații Cosserat în 1909, [13]. Truesdell și Noll au evidențiat importanța acestei teorii în 1965, [69]. Modelul Cosserat a fost folosit pentru studiul comportării unor materiale de interes în tehnică și în special în biomecanică. Eringen a introdus teoria termoelasticității neclasice pentru materialele micropolare. Teoria materialelor elastice solide cu microstructură a fost introdusă tot de Eringen în 1990. Teoria elasticității materialelor elastice solide care conțin pori sau goluri a început să devină foarte interesantă datorită aplicațiilor ei în diferite domenii. Astfel, Goodman și Cowin au dezvoltat o teorie pentru materialele granulare, iar Cowin împreună cu Nunziato au introdus teoria neliniară a materialelor cu găuri. Ecuațiile de bază pentru materialele termoelastice cu goluri, au fost obținute de leșan folosind metoda lui Green și Rivlin. Teoria liniară a difuziei termoealstice în medii poroase pe baza noțiunii de fracțiune de volum a fost obținută de Aouadi.

Marin a dezvoltat câteva teoreme de bază în elastostatica materialelor micropolare cu goluri. Utilizând rezultatele lui Cowin și Nunziato, precum și teoria lui Eringen pentru termoelasticitatea micropolară, Pasarella a obținut câteva rezultate remarcabile cu privire la termoelasticitatea micropolară, obținând ecuațiile fundamentale pentru medii micropolare termoleastice cu goluri omogene și izotrope.

Bazele studiilor privind materialele poroase sunt stabilite de Goodman și teoria granulară a lui Cowin, [33]. Modelul mecanic ce stă la baza acestei teorii este un mediu continuu a cărui densitate de masă se reprezintă ca produsul a două funcții: densitatea materialului și funcția porozitate. Cu ajutorul acestei reprezentări,

Nunziato și Cowin, [61] au stabilit o teorie neliniară a mediilor elastice poroase, considerând funcția porozitate ca fiind o nouă variabilă cinematică. Investigațiile continuă studiile lui Cowin și Nunziato, [14], [16] care au îmbunătățit modelele de medii continue existente prin introducerea de pori mici atribuind un grad suplimentar de libertate fiecărei particule. Răspunsurile mecanice elastoplastice ale materialelor poroase sunt investigate pe baza principiilor micromecanicii de către Huang et al., [37].

În cazul porozității duble a unui material, mediul poros poate fi prezentat ca suprapunerea a două medii: un mediu care susține proprietățile de transport ale corpului solid, în timp ce cel de-al doilea mediu furnizează volumul în care este stocat lichidul. Interesul față de materiale cu porozitate dublă datează cu mai mult de cincizeci de ani în urmă. Barenblatt și colaboratorii, [5], [4] au propus un model matematic pentru corpurile cu structură dublă de porozitate. Aceste tipuri de solide sunt frecvente în geofizica rocilor și ceramică, [6] și foarte întâlnite în mecanica osului, [15]. Această teorie a solidelor cu structură dublă poroasă se întemeiază pe legea lui Darcy. Zhao, [70], Svanadze, [68] și Straughan, [?] au stabilit ecuațiile de bază pentru materialele elastice cu structură dublă poroasă legată de câmpul vectorului de deplasare, presiunea asociată porilor și presiunile asociate fisurilor.

Lucrarea de față este structurată în 7 capitole, un capitol introductiv, 5 capitole care conțin rezultate originale și un capitol cu concluzii și direcții viitoare de cercetare.

În primul capitol sunt prezentate noțiuni introductive din termoelasticitatea clasică.

În capitolul 2 este prezentat un studiu cu privire la comportamentul temporal al soluțiilor în cazul corpurilor poroase micropolare. Acest studiu realizat împreună cu domnul profesor Marin Marin a fost publicat în Analele Universității din Constanța, seria Matematică. A fost considerat un corp poros termoelastic cu date inițiale și pe frontieră, pentru care s-a analizat comportamentul temporal al soluțiilor. Au fost utilizate mediile Caesaro pentru componentele energiei și a fost demonstrată echipartiția asimptotică a energiilor cinetică și de deformare.

În capitolul 3 este obținută o relație de tip De Hoop - Knopoff pentru câmpul deplasărilor, în contextul termoelasticității corpurilor cu microstructură. Acest studiu realizat împreună cu domnul profesor Marin Marin și Sammy R. Mahmoud a fost publicat în jurnalul *Mathematical Problems in Engineering* și are aplicații în studiul dislocărilor seismice.

Capitolul 4 prezintă studiul comportamentului spațial al soluțiilor în cazul termoelasticității corpurilor cu porozitate dublă. Acest studiu a fost publicat



în International Journal of Applied Mechanics. Au fost abordate două situații: pentru domeniile mărginite a fost obținută imposibilitatea localizării în timp a soluțiilor, prin demonstrarea unicității soluțiilor pentru problema înapoi în timp, iar cel de-al doilea studiu a constat în obținerea alternativei Phragmen–Lindelof în cazul cilindrilor semi-infiniți și aflarea limitei superioare a amplitudinii. Capitolul este continuat cu un studiu al problemei înapoi în timp privind materialele dublu poroase cu microtemperaturi. Acest studiu este trimis spre publicare și se ocupă cu imposibilitatea localizării în timp a soluțiilor și determinarea alternativei Phragmen–Lindelof pentru mediile cu dublă porozitate și microtemperaturi.

Studiul vibrațiilor armonice în dinamica termoelastică a corpurilor cu structură dublă poroasă a fost publicat în jurnalul Mathematics and Mechanics of Solids și este prezentat în capitolul 5. A fost studiată amplitudinea vibrațiilor pentru problema înapoi în timp obținând legile de conservare.

Capitolul 6 prezintă două aplicații ale mediilor poroase în medicină. Primul studiu realizat împreună cu Ileana Constanța Roșca a fost publicat în Acta Technica Napocensis, Seria Matematică Aplicată, Mecanică și Inginerie. În această lucrare a fost dezvoltat un studiu asupra dinamicii discurilor intervertebrale. Principalele trei proprietăți ale osului, precum rezistența materialului, anizotropia și neomogenitatea au fost luate în considerare. A fost abordată vibrația torsională a unui inel intervertebral sub acțiunea unui moment. Utilizând metoda transformatei Laplace s-a obținut soluția generală a componentelor deplasărilor elastice de-a lungul direcțiilor radiale, transversale și axiale. Utilizând mediul Simulink din cadrul pachetului de simulare numerică Matlab au fost reprezentate grafic soluțiile sistemului. Cel de-al doilea studiu realizat împreună cu Ileana Costanța Roșca și dr. ortoped Radu-Dan Necula este trimis spre publicare. Această lucrare se ocupă de studiul unei fracturi femurale din punctul de vedere al modelării matematice. Scopul principal al autorilor este de a găsi o expresie analitică pentru microdeplasările și microrotațiile în fractura diafizală femurală. Considerăm problema cu date pe frontieră pentru un material microporant elastic izotrop pentru cazul unu dimensional. Soluțiile pentru microdeplasare și microrotație sunt obținute folosind transformarea Laplace.

Ultimul capitol conține concluziile finale fiind prezentate contribuțiile originale și direcțiile viitoare de cercetare.

Aduc mulțumiri domnului Profesor Dr. Habil. Marin Marin, coordonatorul acestei teze de doctorat, pentru încrederea pe care a avut-o în mine, pentru răbdarea și înțelegerea de care a dat dovada de-a lungul anilor de pregătire a studiilor mele doctorale și pentru faptul că a fost mereu alături de mine și m-a stimulat să public rezultatele mele în reviste bine cotate.

Aduc mulțumiri domnului Profesor Dr. Ramon Quintanilla de la Universidad de Catalonia, care a avut bunăvoința de a mă primi într-un stagiu de cercetare de 2 săptămâni în noiembrie 2016 și care m-a inițiat în studiul mediilor cu dublă porozitate.

# Capitolul 1

## Termoelasticitatea clasică

Se numește configurație de referință a unui corp continuu  $C$ , un domeniu  $\Omega$  din spațiul euclidian tridimensional  $E_3$  cu proprietatea că între punctele lui  $C$  și punctete lui  $\Omega$  există o corespondență biunivocă.

Fie  $D$  un domeniu ocupat de un corp la momentul  $t_0$ , a cărui frontieră este notată  $\partial D$ . Definim o mișcare a corpului, aplicația  $\mathbb{X} : D \times I \rightarrow E_3$ , unde  $I$  este intervalul de timp  $[t_0, t_1]$ , cu  $t_1 > t_0$ . Acest interval poate fi infinit, iar  $E_3$  este spațiul Euclidian tridimensional. Ecuațiile de mișcare sunt:

$$x = \mathbb{X}(X, t), X \in D, t \in I \quad (1.1)$$

cu proprietatea că pentru  $(\forall)t \in I, t$  fixat,  $\mathbb{X}(\cdot, t)$  este injectivă și bicontinuuă.

Domeniul,  $\mathbb{D} = \mathbb{X}(D, t)$  ocupat de corpul considerat la momentul  $t$  se numește configurație actuală. Considerăm sistemul de coordonate carteziene rectangulare  $OX_K (K = 1, 2, 3)$ , unde  $X_K (K = 1, 2, 3)$  sunt coordonatele punctului  $X \in D$ . Pentru punctul  $X$  vom considera vectorul de poziție  $\vec{R}$ . Raportăm corpul în configurația actuală  $\mathbb{D}$  la un alt sistem de coordonate carteziene rectangulare  $ox_1x_2x_3$  în care  $x_i (i = 1, 2, 3)$  sunt coordonatele punctului  $x \in \mathbb{D}$ ,  $\vec{r}$  este vectorul de poziție al punctului  $x$ ,  $X_K$  se numesc coordonate materiale, iar  $x_i$  se numesc coordonate spațiale, [38]. Mișcarea (1.1) se scrie:

$$x_i = x_i(X_K, t), X_K \in D, t \in I \quad (1.2)$$

Pentru orice  $t \in I$  fixat avem:

$$X_K = X_K(x_i, t), x_i \in \mathbb{X}(D, t), t \in I \quad (1.3)$$

Presupunem că funcțiile care descriu mișcarea sunt de clasă  $C^p$ ,  $p \geq 2$  în raport cu variabilele de care depind. Determinantul funcțional va fi:

$$J = \det \left( \frac{\partial x_i}{\partial X_K} \right) \neq 0, \text{ pe } D \times I$$

Dacă  $t$  este fixat, atunci funcțiile (1.2) descriu transformarea geometrică care duce domeniul  $D$  în  $\mathbb{D}$ . Versorii axelor  $OX_k$  se notează cu  $\vec{E}_k$ , iar versorii axelor  $ox_i$  se notează cu  $\vec{e}_i$ , astfel încât produsul scalar al vectorilor în cele două configurații va fi egal cu simbolul lui Kronecker:

$$\vec{E}_K \cdot \vec{E}_M = \delta_{KM}; \quad \vec{e}_i \cdot \vec{e}_j = \delta_{ij}$$

Ținând cont de notațiile de mai sus putem scrie:

$$\vec{R} = X_K \vec{E}_K, \vec{r} = x_i \vec{e}_i$$

Dacă luăm pentru  $t$  constant diferențialele  $d\vec{R}$  și  $d\vec{r}$ , avem:

$$d\vec{R} = \vec{E}_K dX_K = X_{K,i} \vec{E}_K dx_i; \quad d\vec{r} = \vec{e}_i dx_i = x_{i,K} \vec{e}_i dX_K$$

unde  $X_{K,i} = \frac{\partial X_K}{\partial x_i}$ ;  $x_{i,K} = \frac{\partial x_i}{\partial X_K}$ . Matricea  $F = (x_{i,K})$  se numește gradientul deformației. Astfel au loc relațiile:

$$x_{i,K} X_{K,j} = \delta_{ij}; \quad X_{K,i} x_{i,L} = \delta_{KL}$$

Se poate observa că inversa lui  $F$  este  $F^{-1} = (X_{K,i})$ .

Vom nota în continuare:  $\vec{C}_K = \vec{r}_{,K} = x_{i,K} \vec{e}_i$ ;  $\vec{c}_i = \vec{R}_{,i} = X_{K,i} \vec{E}_K$ , atunci avem:  $d\vec{R} = \vec{c}_i dx_i$ ,  $d\vec{r} = \vec{C}_K dX_K$ . Mărimea vectorului  $d\vec{R}$  se notează cu  $dS$ , iar mărimea vectorului  $d\vec{r}$  se notează cu  $ds$  și au următoarele expresii:

$$dS^2 = c_{ij} dx_i dx_j; \quad ds^2 = C_{KL} dX_K dX_L$$

unde  $c_{ij} = \vec{c}_i \cdot \vec{c}_j = X_{K,i} X_{K,j}$ ,  $C_{KL} = \vec{C}_K \cdot \vec{C}_L = x_{i,K} x_{i,L}$ .

Funcțiile  $c_{ij}$  și  $C_{KL}$  se numesc *tensorul de deformație al lui Cauchy*, respectiv *tensorul de deformație al lui Green*. Acești doi tensori sunt de ordinul al doilea, simetrici și pozitiv definiți.

Funcțiile  $E_{KL} = \frac{1}{2}(C_{KL} - \delta_{KL})$  și  $e_{ij} = \frac{1}{2}(\delta_{ij} - c_{ij})$  sunt componentele unor tensori simetrici numiți tensorul de deformație lagrangean, respectiv tensorul de deformație eulerian, ceea ce conduce la:

$$ds^2 - dS^2 = 2e_{ij}dx_i dx_j = 2E_{KL}dX_K dX_L$$

Fie vectorul deplasare

$$\vec{u} = U_K \vec{E}_K = u_i \vec{e}_i$$

Ținând cont că:

$$\vec{C}_K = \vec{r}_{,K} = \vec{R}_{,K} + \vec{u}_{,K} = \vec{E}_K + U_{M,K} \vec{E}_M$$

$$\vec{c}_i = \vec{R}_{,i} = \vec{r}_{,i} - \vec{u}_{,i} = \vec{e}_i - u_{s,i} \vec{e}_s$$

Se obțin relațiile dintre deformații și deplasări, cunoscute și sub numele de relații geometrice:

$$\begin{aligned} C_{KL} &= \delta_{KL} + U_{K,L} + U_{L,K} + U_{M,K} \cdot U_{M,L} \\ c_{ij} &= \delta_{ij} - u_{j,i} - u_{i,j} + u_{s,i} \cdot u_{s,j} \\ 2e_{ij} &= u_{j,i} + u_{i,j} - u_{s,i} \cdot u_{s,j} \\ 2E_{KL} &= U_{K,L} + U_{L,K} + U_{M,K} \cdot U_{M,L} \end{aligned} \quad (1.4)$$

În cazul micilor deformații, ecuațiile (1.4) se liniarizează pentru tensorii  $E_{KL}$  și  $e_{ij}$ , astfel că se obțin relațiile:

$$E_{KL} = \frac{1}{2} \left( \frac{\partial U_K}{\partial X_L} + \frac{\partial U_L}{\partial X_K} \right), \quad e_{ij} = \frac{1}{2} \left( \frac{\partial u_i}{\partial x_j} + \frac{\partial u_j}{\partial x_i} \right) \quad (1.5)$$

În teoria micilor deformații, tensorul de deformație lagrangian și tensorul de deformație eulerian coincid. Vom nota componentele acestui tensor cu  $\varepsilon_{ij}$ :

$$\varepsilon_{ij} = \frac{1}{2} \left( \frac{\partial u_i}{\partial X_j} + \frac{\partial u_j}{\partial X_i} \right) = \frac{1}{2} (u_{i,j} + u_{j,i}) \quad (1.6)$$

**Teorema 1.1.** *Tensorul deformație  $\varepsilon_{ij} \in C^2(D)$  satisface relațiile:*

$$\varepsilon_{ij,kl} + \varepsilon_{kl,ij} - \varepsilon_{ik,jl} - \varepsilon_{jl,ik} = 0 \quad (1.7)$$

*Dacă domeniul  $D$  este simplu conex, iar tensorul  $\varepsilon_{ij}$  este simetric de clasă  $C^2(D)$  care satisface (1.7) atunci există funcțiile  $u_i \in C^3(D)$  care satisfac (1.6).*

Condițiile de compatibilitate (1.7) se numesc *relațiile lui Saint-Venant*.

## 1.1 Principiile termodinamicii

Fie  $f_i$  componentele unui vector  $\vec{f}$  numit forță masică la momentul  $t$ . Scalarul  $f_i v_i$  reprezintă puterea pe unitatea de masă, oricare ar fi vectorul viteză de componente  $v_i$ . Dacă  $t_i$  sunt componentele unui vector  $\vec{t}$  numit forță superficială sau tensiune, atunci scalarul  $t_i v_i$  reprezintă puterea pe unitatea de arie asupra  $\partial\mathbb{P}$ , frontiera domeniului  $\mathbb{P}$ .

Presupunem că  $f_i$  sunt funcții continue,  $t_i$  sunt funcții continuu diferențiabile. Puterea forțelor poate fi scrisă:

$$W(\mathbb{P}) = \int_{\mathbb{P}} \rho f_i v_i dv + \int_{\partial\mathbb{P}} t_i v_i da \quad (1.8)$$

Considerăm  $\partial P$  frontiera domeniului  $P \subset D$ ,  $\vec{N}$  versorul normalei exterioare la  $\partial P$ ,  $dA$  elementul de arie al acestei suprafețe, atunci vom putea scrie vectorul tensiune sub forma:

$$\vec{T} dA = \vec{t} da$$

În acest caz, puterea forțelor aplicate porțiunii  $P$  va fi:

$$W(P) = \int_P \rho_0 f_i v_i dv + \int_{\partial P} T_i v_i dA \quad (1.9)$$

unde  $T_i = \vec{T} \cdot \vec{e}_i$ .

Un sistem de surse termice asociat corpului este caracterizat prin debitul surselor de căldură pe unitatea de masă, care este o funcție continuă  $s(x, t)$ ,  $x \in \mathbb{D}$ , respectiv prin flux de căldură care este de fapt cantitatea de căldură pe unitatea de arie, reprezentat prin funcția  $h(x, t)$ ,  $x \in \mathbb{D}$ .

Cantitatea totală de căldură este formată din cantitatea de căldură transmisă în domeniul  $\mathbb{P}$  prin radiație, respectiv cantitatea de căldură ce intră prin frontiera  $\mathbb{P}$  prin conductă:

$$Q(\mathbb{P}) = \int_{\mathbb{P}} \rho s dv + \int_{\partial\mathbb{P}} h da \quad (1.10)$$

Funcția  $H$  cu proprietatea  $H dA = h da$  reprezintă fluxul de căldură ce acționează pe suprafața  $\partial\mathbb{P}$  și este raportată la unitatea de arie a suprafeței  $\partial P$ . Cantitatea totală

de căldură poate fi scrisă:

$$Q(P) = \int_P \rho s dV + \int_{\partial P} H dA \quad (1.11)$$

Energia cinetică a mediului continuu ce ocupă domeniul  $\mathbb{P}$  la momentul  $t$  este:

$$K(\mathbb{P}) = \frac{1}{2} \int_{\mathbb{P}} \rho \vec{v}^2 dv \quad (1.12)$$

Funcția  $e(x, t)$  reprezintă energia internă pe unitatea de masă, ea fiind o funcție continuu diferențiabilă. Energia internă a porțiunii  $\mathbb{P}$  la momentul  $t$  este:

$$E(\mathbb{P}) = \int_{\mathbb{P}} \rho e dv \quad (1.13)$$

Funcția  $\eta(x, t)$  reprezintă entropia pe unitatea de masă, ea fiind o funcție continuu diferențiabilă. Entropia porțiunii  $\mathbb{P}$  la momentul  $t$  este:

$$\Gamma(\mathbb{P}) = \int_{\mathbb{P}} \rho \eta dv \quad (1.14)$$

Primul principiu al termodinamicii este principiul energiei: pentru orice porțiune  $\mathbb{P}$  din  $\mathbb{D}$  și orice moment  $t$ , are loc egalitatea:

$$\dot{K}(\mathbb{P}) + \dot{E}(\mathbb{P}) = W(\mathbb{P}) + Q(\mathbb{P}) \quad (1.15)$$

Folosind formulele de mai sus, ecuația (1.15) devine:

$$\int_{\mathbb{P}} \rho v_i \dot{v}_i dv + \int_{\mathbb{P}} \rho \dot{e} dv = \int_{\mathbb{P}} \rho f_i v_i dv + \int_{\partial \mathbb{P}} t_i v_i da + \int_{\mathbb{P}} \rho s dv + \int_{\partial \mathbb{P}} h da \quad (1.16)$$

Din (??) și (1.16) se obține principiul impulsului: pentru orice porțiune  $\mathbb{P}$  din  $\mathbb{D}$  și orice moment  $t$  are loc egalitatea:

$$\int_{\mathbb{P}} \rho \dot{v}_i dv = \int_{\mathbb{P}} \rho f_i dv + \int_{\partial \mathbb{P}} t_i da \quad (1.17)$$

Dacă  $\vec{t}$  este tensiunea ce acționează la momentul  $t$  în punctul  $x$  al unei suprafețe orientate  $\partial\mathbb{P}$  a cărei normală exterioară în  $x$  este  $\vec{n} = n_i\vec{e}_i$ , atunci relația (1.17) conduce la:

$$\vec{t} = \vec{t}_i n_i \quad (1.18)$$

unde  $\vec{t}_i$  este tensiunea ce acționează în punctul  $x$  pe planul de normală exterioară  $\vec{e}_i$ . Relația (1.18) se numește *formula lui Cauchy*, iar tensorul Cauchy al tensiunii este:

$$t_{ij} = \vec{t}_i \vec{e}_j \quad (1.19)$$

Fie  $S_0$  o suprafață orientată din configurația de referință care prin deformare devine suprafața  $S$  din  $\mathbb{D}$  cu normala exterioară la  $S_0$ :  $\vec{N} = N_k \vec{E}_k$ .  $\vec{T}$  este tensiunea ce acționează în  $x \in S$ :

$$\vec{T} = \vec{T}_k N_k \quad (1.20)$$

unde  $\vec{T}_k$  este tensiunea ce acționează la suprafața din  $\mathbb{D}$ . Primul tensor Piola-Kirchhoff al tensiunii are forma:

$$T_{ki} = \vec{T}_k \vec{e}_i \quad (1.21)$$

Formulele (1.19) și (1.21) pot fi scrise astfel:

$$t_i = t_{ji} n_j \quad T_i = T_{ki} N_k. \quad (1.22)$$

Deoarece  $\mathbb{D}$  este un domeniu arbitrar, iar funcțiile de sub integrală sunt continue putem scrie *ecuațiile de mișcare ale mediului continuu*:

$$t_{ji,j} + \rho f_i = \rho \dot{v}_i \quad (1.23)$$

Deoarece  $\mathbb{P}$  este un domeniu arbitrar, iar integrandul este o funcție continuă se obține ecuația energiei:

$$\rho \dot{e} = t_{ji} v_{i,j} + \rho s + q_{i,i} \quad (1.24)$$

Principiul entropiei (a doua lege a termodinamicii) spune că: orice proces termodinamic trebuie să satisfacă inegalitatea:

$$\int_{\mathbb{P}} \rho \dot{\eta} dv - \int_{\mathbb{P}} \frac{1}{T} \rho s dv - \int_{\partial\mathbb{P}} \frac{1}{T} h da \geq 0, \quad (1.25)$$



oricare ar fi porțiunea  $\mathbb{P}$  la un moment dat. Inegalitatea (1.25) se numește *inegalitatea Clausius-Duhem*. Deoarece domeniul  $\mathbb{P}$  este arbitrar, putem scrie *forma locală a inegalității Clausius-Duhem*:

$$\rho\dot{\eta} - \frac{1}{T}\rho s - \left(\frac{1}{T}q_i\right)_{,i} \geq 0 \quad (1.26)$$

## 1.2 Ecuatii constitutive ale teoriei liniare a termoelasticității

Notăm cu  $T_0$  temperatura absolută pe care o are mediul în configurația de referință și presupunem că  $T_0$  este o constantă pozitivă. Se consideră că în stare naturală, mediul este liber de tensiuni și are entropia zero. Variația de temperatură este dată de, [32]:

$$\theta = T - T_0 \quad (1.27)$$

Fiecare din funcțiile  $u_i, \theta, t_{ij}, q_i, \eta$  sunt presupuse de forma  $\varepsilon\phi$  unde  $\varepsilon$  este un parametru ale cărui puteri mai mari sau egale cu 2 vor fi neglijate, iar  $\phi$  nu depinde de  $\varepsilon$ . Atunci au loc relațiile:

$$\varepsilon = \frac{1}{2}(u_{i,j} + u_{j,i})$$

Considerăm energia liberă de forma:

$$\sigma = c_0 - c_1\theta + c_{ij}\varepsilon_{ij} + \frac{1}{2}C_{ijkl}\varepsilon_{ij}\varepsilon_{kl} - \beta_{ij}\varepsilon_{ij}\theta - \frac{1}{2}a\theta^2 \quad (1.28)$$

unde  $c_0, c_1, c_{ij}, C_{ijkl}, \beta_{ij}$  sunt coeficienți caracteristici ai materialului, cu proprietățile de simetrie:

$$c_{ij} = c_{ji}; \quad C_{ijkl} = C_{klij} = C_{jikl}; \quad \beta_{ij} = \beta_{ji}.$$

Cantitatea  $c_\varepsilon = \frac{1}{\rho_0}T_0a$  este căldura specifică pe unitatea de masă corespunzătoare stării naturale ( $\varepsilon_{ij} = 0, \theta = 0$ ) în timp ce  $c = T_0a$  este căldura specifică pe unitatea de volum.

Coeficienții din (1.28) sunt funcții ce depind de  $x_i$ . Dacă mediul considerat este omogen atunci aceștia sunt constanți. Deoarece tensorii tensiunii Piola-Kirchhoff și

tensorul Cauchy coincid avem:

$$\begin{aligned} t_{ij} &= C_{ijkl}\varepsilon_{kl} - \beta_{ij}\theta + c_{ij} \\ \rho_0\eta &= \beta_{ij}\varepsilon_{ij} + a\theta + c_1 \end{aligned} \quad (1.29)$$

În teoria clasică a termoelasticității se fac următoarele presupuneri: dacă  $\varepsilon_{ij} = 0$  și  $\theta = 0$  atunci  $t_{ij} = 0$ , iar  $T_0$  este constant. Fără a restrânge generalitatea vom presupune:

- dacă  $\varepsilon_{ij} = 0, \theta = 0$  atunci  $\sigma = 0, \eta = 0$ .
- dacă  $\varepsilon_{ij} = 0, \theta = 0$  atunci  $t_{ij} = 0, \sigma = 0, \eta = 0, \theta_{,i} = 0$  iar configurația de referință se numește stare naturală.

Deoarece am presupus că starea naturală a corpului este liberă de tensiuni și are entropia zero, avem  $c_{ij} = c_0 = c_1 = 0$  astfel încât energia liberă devine:

$$\sigma = \frac{1}{2}C_{ijkl}\varepsilon_{ij}\varepsilon_{kl} - \beta_{ij}\varepsilon_{ij}\theta - \frac{1}{2}a\theta^2 \quad (1.30)$$

Relațiile (1.29) se scriu sub următoarea formă:

$$\begin{aligned} t_{ij} &= C_{ijkl}\varepsilon_{kl} - \beta_{ij}\theta \\ \rho_0\eta &= \beta_{ij}\varepsilon_{ij} + a\theta \end{aligned} \quad (1.31)$$

**Teorema 1.2.** *Dacă gradientul temperaturii este nul, atunci vectorul flux de căldură este nul.*

În teoria liniară pe baza teoremei de mai sus avem:

$$q_i = \kappa_{ij}\theta_{,j} \quad (1.32)$$

unde  $\kappa_{ij}$  sunt componentele tensorului de conductivitate termică.

**Teorema 1.3.** *Un proces termodinamic admisibil satisface inegalitatea Clausius-Duhem dacă și numai dacă:*

$$\kappa_{ij}\theta_{,i}\theta_{,j} \geq 0 \quad (1.33)$$

Ecuțiile (1.31) și (1.32) se numesc *ecuațiile constitutive ale teoriei liniare a termoelasticității*.

## Capitolul 2

# Comportamentul temporal al soluțiilor în termoelasticitatea corpurilor poroase micropolare

Temperaturile ridicate care acționează asupra materialelor induc asupra acestora, la un moment dat, un flux de căldură. Tensiunea termică este determinată de distribuția de temperatură indusă de fluxul de căldură.

Amplitudinea tensiunii termice poate fi influențată de proprietățile materialului, precum și de celelalte variabile care apar la schimbarea proprietăților materialelor.

Aceste noțiuni au un caracter aplicativ în diferite domenii de activitate, care tratează materialele poroase, cum ar fi materialele geologice, în special rocile și solul, precum materialele fabricate, în special granulele solide ambalate, ceramica și pulberea presată. Primii cercetători care au făcut investigații asupra materialelor poroase au fost Goodman și Cowin [33], care au prezentat teoria granulară. Același studiu a fost studiat de Cowin și Nunziato, [14], al cărui scop a fost acela de a descoperi comportamentul mecanic al solidelor poroase atunci când materialul este elastic și interstițiile sunt goluri de material. Pentru a respecta această idee, ei au introdus un

grad suplimentar de libertate.

Teoria lui Cowin și a lui Nunziato [61] poate fi aplicată materialelor termice fără conductibilitate. În acest studiu sunt considerate materiale în care densitatea poate fi scrisă ca produsul a două câmpuri: câmpul de densitate a materialului și câmpul fracțiunii de volum, studii întânite de altfel și în [40], [42], [12]. Leșan a studiat teoria materialelor termoelastice cu goluri [40], făcând o generalizare directă a corpului elastic liniar, neglijând modificările fracției volumice datorită disipării interne în material.

Chiriță și Ciarletta au folosit metoda pentru funcția de suprafață ponderată în timp. În [55] a fost studiat comportamentul asimptotic al soluțiilor pentru sistemele periodice de difuzie. Funcțiile clasice ale lui Liapunov sunt modificate prin câteva funcții continue pe porțiuni, obținând condiții suficiente pentru stabilitatea asimptotică a soluțiilor [56].

Un studiu elegant al comportamentului temporal al soluțiilor pentru corpurile termoelastice cu microstructură a fost realizat în lucrarea [56], iar în lucrarea [57] s-a demonstrat disiparea uniformă a energiei pentru corpurile termoelastice cu microstructură.

În studiul publicat în [50] am extins teoria lui Cowin și Nunziato pentru materiale micropolare termoelastice prin adăugarea în setul variabilelor constitutive a derivatei golului de material în raport cu timpul pentru a include efectele inelastice.

## 2.1 Ecuatiile de bază ale mediilor micropolare

Considerăm că la momentul  $t = 0$  un corp ocupă o anumită regiune din spațiul Euclidian tridimensional  $R^3$ , notată cu  $B$ . Deoarece se dorește aplicarea teoremei divergenței, vom considera că frontiera regiunii considerate, notată  $\partial B$ , este o suprafață suficient de netedă. Închiderea lui  $B$  este notată cu  $\bar{B}$ . Vom studia mișcarea mediului continuu generalizat într-un sistem de axe rectangular Cartezian  $Ox_i$ , ( $i = 1, 2, 3$ ) și vom folosi notația tensorială carteziană.

Indicii italici vor avea mereu valorile 1, 2, 3, în timp ce indicii grecești vor lua valorile 1 și 2.

Derivata în raport cu timpul este notată cu punct, iar derivatele parțiale în raport cu coordonatele spațiale sunt reprezentate cu virgulă.

Densitatea  $\varrho$  poate fi scrisă ca un produs de două câmpuri: câmpul de densitate a matricei materialului  $\gamma$  și fracțiunea de volum  $\nu$ :

$$\varrho = \gamma\nu,$$

unde  $\gamma_0$  și  $\nu_0$  sunt constante spațiale. Mișcarea corpului micropolar termoelastic este descrisă de următoarele variabile independente:

- $u_i(x, t)$ ,  $\varphi_i(x, t)$  - câmpurile de deplasare și microrotație;
- $\theta$  - schimbul de temperatură de la temperatura absolută din configurația de referință  $T_0$ , astfel încât  $\theta(x, t) = T(x, t) - T_0$ ;
- $\sigma$  - schimbul din fracțiunea de volum măsurată de la valoarea fracțiunii de volum din configurația de referință  $\nu_0$ , astfel încât  $\sigma(x, t) = \nu(x, t) - \nu_0$ .

În contextul teoriei liniare, vom considera că mediul este lipsit de tensiuni, nu există forțe care să acționeze asupra lui, iar fluxul este nul. În această situație, energia liberă se poate scrie sub forma:

$$\begin{aligned} \Psi = & \frac{1}{2}A_{ijmn}\varepsilon_{ij}\varepsilon_{mn} + B_{ijmn}\varepsilon_{ij}\gamma_{mn} + \frac{1}{2}C_{ijmn}\gamma_{ij}\gamma_{mn} + \\ & + B_{ij}\sigma\varepsilon_{ij} + C_{ij}\sigma\gamma_{ij} + D_{ijk}\phi_k\varepsilon_{ij} + E_{ijk}\phi_k\gamma_{ij} - \\ & - \alpha_{ij}\theta\varepsilon_{ij} - \beta_{ij}\theta\gamma_{ij} - m\theta\sigma + d_i\sigma\phi_i + \gamma_i\theta\phi_i - \\ & - \frac{1}{2}a\theta^2 + \frac{1}{2}\xi\sigma^2 + \frac{1}{2}A_{ij}\phi_i\phi_j - \frac{1}{2}\omega\dot{\sigma}^2. \end{aligned} \quad (2.1)$$

Conform [14],  $f = -\omega\dot{\sigma}$  este disiparea care ține cont de comportamentul inelastic al golurilor. De altfel,  $\omega$  este o constantă pozitivă.

Ținând cont de expresia energiei libere, s-au obținut următoarele ecuații constitutive:

$$\begin{aligned} t_{ij} &= C_{ijmn}\varepsilon_{mn} + B_{ijmn}\gamma_{mn} + B_{ij}\sigma + D_{ijk}\phi_k - \beta_{ij}\theta, \\ m_{ij} &= B_{mnij}\varepsilon_{mn} + C_{ijmn}\gamma_{mn} + C_{ij}\sigma + E_{ijk}\phi_k - \alpha_{ij}\theta, \\ h_i &= D_{mni}\varepsilon_{mn} + E_{mni}\gamma_{mn} + d_i\sigma + A_{ij}\phi_j - \gamma_i\theta, \\ g &= -B_{ij}\varepsilon_{ij} - C_{ij}\gamma_{ij} - \xi\sigma - d_i\phi_i + m\theta, \\ \varrho\eta &= \alpha_{ij}\varepsilon_{ij} + \beta_{ij}\gamma_{ij} + m\sigma + \gamma_i\phi_i + a\theta, \\ q_i &= k_{ij}\theta_{,j}, \end{aligned} \quad (2.2)$$

unde  $\varepsilon_{ij}$ ,  $\gamma_{ij}$  și  $\phi_i$  sunt caracteristicile cinematice ale tensiunii și sunt definite prin următoarele relații geometrice:

$$\varepsilon_{ij} = u_{j,i} + \varepsilon_{jik}\varphi_k, \quad \gamma_{ij} = \varphi_{j,i}, \quad \phi_i = \sigma_{,i}, \quad \theta = T - T_0, \quad \sigma = \nu - \nu_0. \quad (2.3)$$

Ținând cont de metoda utilizată de Nunziato and Cowin în [61], se obțin următoarele ecuații fundamentale (similar în [57])

- ecuațiile de mișcare:

$$\begin{aligned} t_{ij,j} + \rho F_i &= \rho \ddot{u}_i, \\ m_{ij,j} + \varepsilon_{ijk} t_{jk} + \rho M_i &= \bar{I}_{ij} \ddot{\phi}_j; \end{aligned} \quad (2.4)$$

- ecuațiile de echilibru ale forțelor aflate în echilibru:

$$h_{i,i} + g + \rho L = \rho \kappa \ddot{\sigma}; \quad (2.5)$$

- ecuația energiei:

$$\rho T_0 \dot{\eta} = q_{i,i} + \rho S. \quad (2.6)$$

Inegalitatea entropiei presupune că:

$$k_{ij} \theta_{,i} \theta_{,j} \geq 0. \quad (2.7)$$

Vom considera că, coeficienții funcțiilor  $\rho$ ,  $\kappa$ ,  $a$  și coeficienții constitutivi de mai sus sunt funcții continue diferentiabile pe închiderea  $\bar{B}$  lui  $B$ . Mai mult, vom presupune că  $\rho$ ,  $\kappa$  și  $a$  sunt funcții strict pozitive pe  $\bar{B}$ , și anume:

$$\begin{aligned} \rho(x) &\geq \rho_0 > 0, \quad \rho_0 = \text{const} \\ \kappa(x) &\geq \kappa_0 > 0, \quad \kappa_0 = \text{const} \\ a(x) &\geq a_0 > 0, \quad a_0 = \text{const} \end{aligned} \quad (2.8)$$

Tensorul de conductibilitate  $k_{ij}$  se presupune că este simetric, pozitiv definit și satisface inegalitățile:

$$k_m \theta_{,i} \theta_{,j} \leq k_{ij} \theta_{,i} \theta_{,j} \leq k_M \theta_{,i} \theta_{,j}. \quad (2.9)$$

Vom nota cu  $k_m$  și  $k_M$  minimul, respectiv maximul tensorului de conductibilitate. Presupunem că funcția de energie liberă  $\Psi$  definită în (2.1) este o formă pătratică pozitiv definită, atunci există constantele pozitive  $\mu_m$  și  $\mu_M$  astfel încât

$$\mu_m (\varepsilon_{ij} \varepsilon_{ij} + \gamma_{ij} \gamma_{ij} + \Phi_i \Phi_i + \sigma^2) \leq 2\Psi \leq \mu_M (\varepsilon_{ij} \varepsilon_{ij} + \gamma_{ij} \gamma_{ij} + \Phi_i \Phi_i + \sigma^2) \quad (2.10)$$

Alături de sistemul de ecuații (2.4)-(2.6) luăm în considerare următoarele condiții inițiale:

$$\begin{aligned} u_i(x, 0) &= u_i^0(x), \quad \dot{u}_i(x, 0) = u_i^1(x), \quad x \in \bar{B}, \\ \varphi_i(x, 0) &= \varphi_i^0(x), \quad \dot{\varphi}_i(x, 0) = \varphi_i^1(x), \quad x \in \bar{B}, \\ \theta(x, 0) &= \theta^0(x), \quad \sigma(x, 0) = \sigma^0(x), \quad \dot{\sigma}(x, 0) = \sigma^1(x), \quad x \in \bar{B}, \end{aligned} \quad (2.11)$$

și următoarele condiții la limită:

$$\begin{aligned} u_i &= \bar{u}_i \text{ on } \partial B_1 \times [0, \infty), \quad t_i \equiv t_{ij}n_j = \bar{t}_i \text{ on } \partial B_1^c \times [0, \infty), \\ \varphi_i &= \bar{\varphi}_i \text{ on } \partial B_2 \times [0, \infty), \quad m_i \equiv m_{ij}n_j = \bar{m}_i \text{ on } \partial B_2^c \times [0, \infty), \\ \sigma &= \bar{\sigma} \text{ on } \partial B_3 \times [0, \infty), \quad h \equiv h_i n_i = \bar{h} \text{ on } \partial B_3^c \times [0, \infty), \\ \theta &= \bar{\theta} \text{ on } \partial B_4 \times [0, \infty), \quad q \equiv q_i n_i = \bar{q} \text{ on } \partial B_4^c \times [0, \infty), \end{aligned} \quad (2.12)$$

unde  $\partial B_1, \partial B_2, \partial B_3$  și  $\partial B_4$  cu complementele  $\partial B_1^c, \partial B_2^c, \partial B_3^c$  și  $\partial B_4^c$  sunt submulțimi ale lui  $\partial B$ , iar  $n_i$  sunt componentele normalei exterioare la  $\partial B$ .

Notăm cu  $\mathcal{P}$  problema cu date inițiale și la limită ce constă în sistemul de ecuații (2.4)-(2.6), cu condițiile inițiale (2.11) și condițiile la limită (2.12).

Vom demonstra unele identități integrale care sunt importante pentru a dovedi rezultatele privind comportamentul temporal al soluțiilor problemei  $\mathcal{P}$ .

**Teorema 2.1.** *Pentru orice soluție  $(u_i, \varphi_i, \sigma, \theta)$  a problemei  $\mathcal{P}$  are loc următoarea lege de conservare a energiei totale*

$$\begin{aligned} & \int_B e^{-\lambda t} \left\{ \frac{1}{2} [\varrho \dot{u}_i(t) \dot{u}_i(t) + I_{ij} \dot{\varphi}_i(t) \dot{\varphi}_j(t) + \varrho \kappa \dot{\sigma}^2(t)] + \Psi(\mathbf{E}(t)) + \frac{1}{2} a \theta^2(t) \right\} dV + \\ & + \int_0^t \int_B e^{-\lambda s} \frac{\lambda}{2} [\varrho \dot{u}_i(s) \dot{u}_i(s) + I_{ij} \dot{\varphi}_i(s) \dot{\varphi}_j(s) + \varrho \kappa \dot{\sigma}^2(s)] dV ds + \\ & \quad + \int_0^t \int_B e^{-\lambda s} \left[ \lambda \Psi(\mathbf{E}(s)) + \frac{\lambda}{2} a \theta^2(s) + \frac{1}{T_0} k_{ij} \theta_{,i}(s) \theta_{,j}(s) \right] dV ds = \\ & = \int_B \left\{ \frac{1}{2} [\varrho \dot{u}_i(0) \dot{u}_i(0) + I_{ij} \dot{\varphi}_i(0) \dot{\varphi}_j(0) + \varrho \kappa \dot{\sigma}^2(0)] + \Psi(\mathbf{E}(0)) + \frac{1}{2} a \theta^2(0) \right\} dV + \\ & + \int_0^t \int_B e^{-\lambda s} \varrho \left[ \dot{u}_i(s) F_i(s) + \dot{\varphi}_i(s) M_i(s) + \dot{\sigma}(s) L(s) + \frac{1}{T_0} \theta(s) S(s) \right] dV ds + \\ & + \int_0^t \int_{\partial B} e^{-\lambda s} \left[ t_i(s) \dot{u}_i(s) + m_i(s) \dot{\varphi}_i(s) + h(s) \dot{\sigma}(s) + \frac{1}{T_0} q(s) \theta(s) \right] dAds, \end{aligned} \quad (2.13)$$

pentru  $t \in [0, \infty)$ . Aici  $\lambda$  este un parametru pozitiv dat.

**Teorema 2.2.** Fie  $(u_i, \varphi_i, \sigma, \theta)$  o soluție a problemei cu date mixte inițiale și pe frontieră ce constă în ecuațiile (2.4)-(2.6), condițiile la limită (2.12) și condițiile inițiale (2.11). Atunci avem următoarea identitate:

$$\begin{aligned}
& 2 \int_B \left[ \varrho u_i(t) \dot{u}_i(t) + I_{ij} \varphi_i(t) \dot{\varphi}_j(t) + \varrho \kappa \sigma(t) \dot{\sigma}(t) + \frac{1}{T_0} k_{ij} \left( \int_0^t \theta_{,i}(s) ds \right) \left( \int_0^t \theta_{,j}(s) ds \right) \right] dV = \\
& = 2 \int_0^t \int_B [\varrho \dot{u}_i(s) \dot{u}_i(s) + I_{ij} \dot{\varphi}_i(s) \dot{\varphi}_j(s) + \varrho \kappa \dot{\sigma}^2(s) - 2\Psi(\mathbf{E}(s)) - a\theta^2(s)] dV ds + \\
& \quad + 2 \int_0^t \int_B \varrho \eta(0) \theta(s) dV ds + 2 \int_B [\varrho u_i(0) \dot{u}_i(0) + I_{ij} \varphi_i(0) \dot{\varphi}_j(0) + \varrho \kappa \sigma(0) \dot{\sigma}(0)] dV + \\
& \quad + 2 \int_0^t \int_B \varrho \left[ F_i(s) u_i(s) + M_i(s) \varphi_i(s) + L(s) \sigma(s) + \frac{1}{T_0} \theta(s) \int_0^s S(z) dz \right] dV ds + \\
& \quad + 2 \int_0^t \int_B \varrho \eta(0) \theta(s) dV ds + 2 \int_B [\varrho u_i(0) \dot{u}_i(0) + I_{ij} \varphi_i(0) \dot{\varphi}_j(0) + \varrho \kappa \sigma(0) \dot{\sigma}(0)] dV + \\
& \quad + 2 \int_0^t \int_{\partial B} \left[ t_i(s) u_i(s) + m_i(s) \varphi_i(s) + h(s) \sigma(s) + \frac{1}{T_0} \theta(s) \int_0^s q(z) dz \right] dA ds
\end{aligned}$$

**Teorema 2.3.** Fie  $(u_i, \varphi_i, \sigma, \theta)$  o soluție a problemei mixte cu date inițiale și pe frontieră  $\mathcal{P}$ . Următoarea identitate are loc:

$$\begin{aligned}
& 2 \int_B \left[ \varrho u_i(t) \dot{u}_i(t) + I_{ij} \varphi_i(t) \dot{\varphi}_j(t) + \varrho \kappa \sigma(t) \dot{\sigma}(t) + \frac{1}{T_0} k_{ij} \left( \int_0^t \theta_{,i}(s) ds \right) \left( \int_0^t \theta_{,j}(s) ds \right) \right] dV = \\
& = \int_B \left\{ \varrho [u_i(0) \dot{u}_i(2t) + \dot{u}_i(0) u_i(2t)] + I_{ij} [\varphi_i(0) \dot{\varphi}_j(2t) + \dot{\varphi}_j(0) \varphi_i(2t)] \right\} dV + \\
& \quad + \int_B \varrho \kappa [\sigma(0) \dot{\sigma}(2t) + \dot{\sigma}(0) \sigma(2t)] dV + \int_0^t \int_B \varrho \eta(0) [\theta(t-s) - \theta(t+s)] dV ds +
\end{aligned}$$



$$\begin{aligned}
& + \int_0^t \int_B \varrho [u_i(t+s)F_i(t-s) - u_i(t-s)F_i(t+s)] dV ds + \\
& + \int_0^t \int_B I_{ij} [\varphi_i(t+s)M_i(t-s) - \varphi_i(t-s)M_i(t+s)] dV ds + \\
& + \int_0^t \int_B [\sigma(t+s)L(t-s) - \sigma(t-s)L(t+s)] dV ds + \tag{2.14} \\
& + \int_0^t \int_B \frac{1}{T_0} \left[ \theta(t-s) \int_0^{t+s} S(z) dz - \theta(t+s) \int_0^{t-s} S(z) dz \right] dV ds + \\
& + \int_0^t \int_{\partial B} [u_i(t+s)t_i(t-s) - u_i(t-s)t_i(t+s)] dA ds + \\
& + \int_0^t \int_{\partial B} [\varphi_i(t+s)m_i(t-s) - \varphi_i(t-s)m_i(t+s)] dA ds + \\
& + \int_0^t \int_{\partial B} [\sigma(t+s)h(t-s) - \sigma(t-s)h(t+s)] dA ds + \\
& + \int_0^t \int_{\partial B} \frac{1}{T_0} \left[ \theta(t-s) \int_0^{t+s} q(z) dz - \theta(t+s) \int_0^{t-s} q(z) dz \right] dA ds
\end{aligned}$$

## 2.2 Comportamentul temporal al soluțiilor

Pentru a demonstra rezultatele importante ale acestui studiu, și anume comportamentul temporal al soluțiilor problemei  $\mathcal{P}$ , definită în secțiunea anterioară, sunt necesare câteva rezultate suplimentare.

Considerăm problema  $\mathcal{P}_0$  definită de ecuațiile constitutive (2.2), ecuațiile geometrice (2.3) și ecuațiile de mișcare (2.4):

$$\begin{aligned}
t_{ij,j} &= \varrho \ddot{u}_i, \\
m_{ij,j} + \varepsilon_{ijk} t_{jk} &= I_{ij} \ddot{\varphi}_j; \\
h_{i,i} + g &= \varrho \kappa \ddot{\theta}; \\
\varrho T_0 \dot{\eta} &= q_{i,i}
\end{aligned} \tag{2.15}$$

condițiile pe frontieră:

$$\begin{aligned} u_i &= 0 \text{ on } \partial B_1 \times [0, \infty), \quad t_i \equiv t_{ij}n_j = 0 \text{ on } \partial B_1^c \times [0, \infty), \\ \varphi_i &= 0 \text{ on } \partial B_2 \times [0, \infty), \quad m_i \equiv m_{ij}n_j = 0 \text{ on } \partial B_2^c \times [0, \infty), \\ \sigma &= 0 \text{ on } \partial B_3 \times [0, \infty), \quad h \equiv h_i n_i = 0 \text{ on } \partial B_3^c \times [0, \infty), \\ \theta &= 0 \text{ on } \partial B_4 \times [0, \infty), \quad q \equiv q_i n_i = 0 \text{ on } \partial B_4^c \times [0, \infty), \end{aligned} \quad (2.16)$$

și condițiile inițiale din (2.11).

Considerăm  $(u_i, \varphi_i, \sigma, \theta)$  o soluție a problemei  $\mathcal{P}_0$  și introducem media Cesaro pentru toate componentele energiei:

1. Media Cesaro pentru energia cinetică este:

$$\mathcal{K} = \frac{1}{2t} \int_0^t \int_B [\rho \dot{u}_i(s) \dot{u}_i(s) + I_{ij} \dot{\varphi}_i(s) \dot{\varphi}_i(s) + \rho \kappa \dot{\sigma}^2(s)] dV ds \quad (2.17)$$

2. Media Cesaro pentru energia de deformație este:

$$\begin{aligned} \mathcal{S} &= \frac{1}{2t} \int_0^t \int_B [A_{ijmn} \varepsilon_{ij}(s) \varepsilon_{mn}(s) + 2B_{ijmn} \varepsilon_{ij}(s) \gamma_{mn}(s) + C_{ijmn} \gamma_{ij}(s) \gamma_{mn}(s) + \\ &+ 2B_{ij} \sigma(s) \varepsilon_{ij}(s) + 2C_{ij} \sigma(s) \gamma_{ij}(s) + 2D_{ijk} \phi_k(s) \varepsilon_{ij}(s) + 2E_{ijk} \phi_k(s) \gamma_{ij}(s) + \\ &+ 2d_i \sigma(s) \phi_i(s) + 2\xi \sigma^2(s) + A_{ij} \phi_i(s) \phi_j(s) - \omega \dot{\sigma}^2(s)] dV ds \end{aligned} \quad (2.18)$$

3. Media Cesaro a energiei termice este:

$$\mathcal{T} = \frac{1}{2t} \int_0^t \int_B a \theta^2(s) dV ds \quad (2.19)$$

4. Media Cesaro a energiei de difuzie este:

$$\mathcal{T} = \frac{1}{t} \int_0^t \int_0^s \int_B \frac{1}{T_0} k_{ij} \theta_{,i}(z) \theta_{,j}(z) dV dz ds \quad (2.20)$$

În cazul în care  $meas(\partial B_1) = 0$  atunci există o familie de deplasări rigide, microrotații rigide, temperatură nulă și schimb nul în volumul fracționar care satisfac ecuațiile (2.2), (2.3), (2.15) și condițiile pe frontieră (2.16). Astfel putem descompune condițiile inițiale după cum urmează:

$$\begin{aligned} u_i^0 &= u_i^* + U_i^0, \quad u_i^1 = \dot{u}_i^* + \dot{U}_i^0 \\ \varphi_i^0 &= \varphi_i^* + \Phi_i^0, \quad \varphi_i^1 = \dot{\varphi}_i^* + \dot{\Phi}_i^0 \end{aligned} \quad (2.21)$$

unde deplasările rigide  $u_i^*$  and  $\dot{u}_i^*$  și microrotațiile rigide  $\varphi_i^*$  and  $\dot{\varphi}_i^*$  sunt determinate astfel încât:

$$\int_B \rho U_i^0 dV = 0, \int_B \rho \varepsilon_{ijk} x_j U_k^0 dV = 0, \int_B \rho \dot{U}_i^0 dV = 0, \int_B \rho \varepsilon_{ijk} x_j \dot{U}_k^0 dV = 0, \\ \int_B I_{ij} \Phi_j^0 dV = 0, \int_B I_{ij} \dot{\Phi}_j^0 dV = 0, \quad (2.22)$$

unde, ca de obicei,  $\varepsilon_{ijk}$  este simbolul lui Ricci.

Pe baza ipotezei (2.10) obținem următoarea inegalitate de tip Korn, [34].

$$\frac{1}{2} \int_B [A_{ijmn} \varepsilon_{ij} \varepsilon_{mn} + 2B_{ijmn} \varepsilon_{ij} \gamma_{mn} + C_{ijmn} \gamma_{ij} \gamma_{mn}] dV \geq m_1 \int_B [u_i u_i + \varphi_i \varphi_i] dV \quad (2.23)$$

pentru orice  $\mathbf{v} \in \hat{\mathbf{W}}^1(B)$ . Aici,  $m_1$  este o constantă pozitivă.

De asemenea, luând în considerare ipoteza (2.17), deducem că există o constantă pozitivă astfel încât următoarea inegalitate de tip Poincare să aibă loc:

$$\frac{1}{2} \int_B k_{ij} \theta_{,i} \theta_{,j} dV \geq m_2 \int_B \theta^2 dV, \quad (2.24)$$

pentru orice  $\theta \in \hat{W}^1(B)$ .

în cazul în care  $meas(\partial B_1) = 0$  și  $meas(\partial B_2) = 0$  descompunem soluția  $(u_i, \varphi_i, \sigma, \theta)$  după cum urmează

$$u_i = u_i^* + t\dot{u}_i^* + v_i, \varphi_i = \varphi_i^* + t\dot{\varphi}_i^* + \chi_i, \sigma = \zeta, \theta = \gamma \quad (2.25)$$

unde  $(v_i, \chi_i, \zeta, \gamma) \in \hat{\mathbf{W}}^1(B) \times \hat{W}^1(B) \times \hat{W}^1(B)$  este soluția problemei  $\mathcal{P}_0$  care corespunde următoarelor condiții inițiale:

$$v_i = U_i^0, \dot{v}_i = \dot{U}_i^0, \chi_i = \Phi_i^0, \dot{\chi}_i = \dot{\Phi}_i^0, \zeta = \sigma^0, \gamma = \theta^0, \text{ at } t = 0 \quad (2.26)$$

în cele ce urmează vom folosi energia totală definită astfel:

$$\mathcal{E} = \frac{1}{2} \int_B \left[ \rho \dot{u}_i(t) \dot{u}_i(t) + I_{ij} \dot{\varphi}_i(t) \dot{\varphi}_j(t) + \rho \kappa \dot{\sigma}^2(t) + 2\Psi(\mathbf{E}(t)) + a\theta^2(t) \right] dV + \\ + \int_0^t \int_B \frac{1}{T_0} k_{ij} \theta_{,i}(z) \theta_{,j}(z) dV dz. \quad (2.27)$$

Pe baza rezultatelor preliminare, vom demonstra în cele ce urmează partiția asimptotică a energiei totale, utilizând media Cesaro. Acest lucru va fi făcut cu ajutorul următoarei teoreme:

**Teorema 2.4.** Considerăm o soluție  $(u_i, \varphi_i, \sigma, \theta)$  a problemei cu date inițiale și pe frontieră  $\mathcal{P}_0$ . Dacă presupunem că:

$$\begin{aligned} (u_i^0, \varphi_i^0) &\in \mathbf{W}_1(B), (u_i^1, \varphi_i^1) \in \mathbf{W}_0(B), \\ (\sigma^0, \theta^0) &\in W_1(B) \times W_1(B), \sigma^1 \in W_0(B), \end{aligned}$$

atunci are loc următoarea relație

$$\lim_{t \rightarrow \infty} \mathcal{T}(t) = 0. \quad (2.28)$$

De asemenea, avem următoarele:

i. Dacă  $meas(\partial B_1) \neq 0$  și  $meas(\partial B_2) \neq 0$ , atunci:

$$\lim_{t \rightarrow \infty} \mathcal{T}(t) = \lim_{t \rightarrow \infty} \mathcal{S}(t) \quad (2.29)$$

$$\lim_{t \rightarrow \infty} \mathcal{D}(t) = \mathcal{E}(0) - 2 \lim_{t \rightarrow \infty} \mathcal{K}(t) = \mathcal{E}(0) - 2 \lim_{t \rightarrow \infty} \mathcal{S}(t) \quad (2.30)$$

ii. Dacă  $meas(\partial B_1) = 0$  și  $meas(\partial B_2) = 0$ , atunci

$$\lim_{t \rightarrow \infty} \mathcal{K}(t) = \lim_{t \rightarrow \infty} \mathcal{S}(t) + \frac{1}{2} \int_B \left[ \rho \dot{u}_i^* \dot{u}_i^* + I_{ij} \dot{\varphi}_i^* \dot{\varphi}_j^* \right] dV \quad (2.31)$$

$$\begin{aligned} \lim_{t \rightarrow \infty} \mathcal{D}(t) &= \mathcal{E}(0) - 2 \lim_{t \rightarrow \infty} \mathcal{K}(t) + \frac{1}{2} \int_B \left[ \rho \dot{u}_i^* \dot{u}_i^* + I_{ij} \dot{\varphi}_i^* \dot{\varphi}_j^* \right] dV = \\ &= \mathcal{E}(0) - 2 \lim_{t \rightarrow \infty} \mathcal{S}(t) + \frac{1}{2} \int_B \left[ \rho \dot{u}_i^* \dot{u}_i^* + I_{ij} \dot{\varphi}_i^* \dot{\varphi}_j^* \right] dV \end{aligned} \quad (2.32)$$

**Concluzie.** Remarcăm că relațiile (2.29) și (2.31), restricționate la clasa de date inițiale pentru care  $u_i^* = \varphi_i^* = 0$ , demonstrează echipartiția asimptotică pentru energiile cinetică și de deformație.

## Capitolul 3

# Dislocări seismice în corpuri termoelastice cu microstructură

Teoria corpurilor solide termoelastice cu microstructură a fost elaborată pentru prima oară de către Eringen [18].

Această teorie include rotații intrinseci și extinderi și contracții microstructurale. Scopul acestei teorii este de a elimina discrepanțele dintre elasticitatea clasică și experimente, deoarece elasticitatea clasică nu a reușit să prezinte rezultate acceptabile atunci când efectele materialelor cu microstructură s-au dovedit a contribui semnificativ la deformările generale ale corpului, de exemplu, în cazul corpurilor granulare cu molecule mari (de exemplu, polimeri), grafit sau oase umane.

Aceste cazuri devin din ce în ce mai importante în proiectarea și fabricarea materialelor moderne, întrucât efectele acestei tehnologii devin esențiale în predicția comportamentului mecanic general al acestor materiale. Alte aplicații ale acestei teorii sunt materialele compozite și diverse materiale poroase.

Această teorie poate fi utilă în aplicațiile care se ocupă cu materialele poroase precum materiale geologice, materiale granulate solide și multe altele.

Acest capitol reprezintă un prim pas către o mai bună înțelegere a noțiunii de microstructură și tensiune termică în studiul materialelor enumerate mai sus.

Relațiile de reciprocitate care apar în acest studiu constituie un instrument teoretic puternic în studiile legate de propagarea undelor seismice. De asemenea, această abordare a mediilor cu microstructură este foarte utilă în înțelegerea problemelor cutremurelor.

Scopul acestui studiu este de a obține o relație de tip Hoop-Knopoff pentru câmpul deplasărilor în contextul mediilor termoelastice cu microstructură. Apoi, ca o consecință este obținută o expresie a încărcărilor mediului, echivalentă cu dislocarea seismică.

### 3.1 Ecuatii de bază

Considerăm  $u_i$  componentele vectorului deplasare și  $\varphi_i$  componentele vectorului micro rotație. Vom nota cu  $\omega$  funcția microstructură și cu  $\theta$  temperatura măsurată de la temperatura absolută din configurația de referință  $T_0$ :  $\theta = T - T_0$ .

Vom nota cu  $t_{ij}$  componentele tensorului tensiune și cu  $m_{ij}$  componentele tensorului cuplu tensiune care acționează asupra regiunii  $B$  a spațiului Euclidian tridimensional. De asemenea, cu  $\lambda_i$  vom nota componentele vectorului microtensiune.

Ecuatiile de bază din teoria dinamică a corpurilor termoelastice cu microstructură, [18], [19], [50], sunt:

- ecuațiile de mișcare:

$$\begin{aligned} t_{ji,j} + \rho F_i &= \rho \ddot{u}_i, \\ m_{ji,j} + \varepsilon_{ijk} t_{jk} + \rho G_i &= I_{ij} \ddot{\varphi}_j; \end{aligned} \quad (3.1)$$

- ecuațiile de echilibru ale forțelor care acționează asupra corpului

$$\lambda_{i,i} - s + \rho L = J \ddot{\omega}. \quad (3.2)$$

Ecuatia energiei este dată de:

$$\rho T_0 \dot{\eta} = q_{i,i} + \rho r. \quad (3.3)$$

Pentru un material termoelastic cu microstructură anizotropă și omogen, ecuațiile constitutive au următoarea formă:

$$\begin{aligned}
 t_{ij} &= A_{ijrs} \varepsilon_{rs} + B_{ijrs} \mu_{rs} + D_{ijr} \gamma_r + a_{ij} \omega - E_{ij} \theta, \\
 m_{ij} &= B_{rsij} \varepsilon_{rs} + C_{ijrs} \mu_{rs} + E_{ijr} \gamma_r + b_{ij} \omega - D_{ij} \theta, \\
 \lambda_i &= D_{rsi} \varepsilon_{rs} + E_{rsi} \mu_{rs} + C_{ij} \gamma_j + d_i \omega - L_i \theta, \\
 s &= a_{ij} \varepsilon_{ij} + b_{ij} \mu_{ij} + d_i \gamma_i + m \omega - \alpha \theta, \\
 \eta &= \eta_0 + E_{ij} \varepsilon_{ij} + D_{ij} \mu_{ij} + L_i \gamma_i + \alpha \omega + \frac{a}{T_0} \theta, \\
 q_i &= k_{ij} \theta_{,j}.
 \end{aligned} \tag{3.4}$$

unde  $A_{ijrs}, B_{ijrs}, C_{ijrs}, D_{ijr}, E_{ijr}, a_{ij}, b_{ij}, c_{ij}, d_i, E_{ij}, D_{ij}, L_i, m, \alpha, a$  și  $k_{ij}$  sunt coeficienții constitutivi caracteristici.

Componentele tensorului deformație  $\varepsilon_{ij}$ ,  $\mu_{ij}$  și  $\gamma_i$  sunt definiți de ecuațiile geometrice:

$$\varepsilon_{ij} = u_{j,i} + \varepsilon_{ijk} \varphi_k, \quad \mu_{ij} = \varphi_{j,i}, \quad \gamma_i = \omega_{,i}, \tag{3.5}$$

unde  $\varepsilon_{ijk}$  este simbolul alternant.

Coeficienții constitutivi respectă următoarele relații de simetrie:

$$A_{ijrs} = A_{rsij}, \quad C_{ijrs} = C_{rsij}, \quad C_{ij} = C_{ji}, \quad k_{ij} = k_{ji}. \tag{3.6}$$

Se poate considera o constantă pozitivă  $\lambda_0$  care există astfel încât:

$$I_{ij} \xi_i \xi_j \geq \lambda_0 \xi_i \xi_i, \quad \forall \xi_i.$$

De asemenea, legea a doua a termodinamicii implică că:

$$k_{ij} \xi_i \xi_j \geq 0, \quad \forall \xi_i. \tag{3.7}$$

Vom nota în continuare cu  $t_i$  componentele tracțiunii de suprafață,  $m_i$  componentele cuplului de suprafață,  $p$  tracțiunea de microsuprafață și  $q$  fluxul termic. Aceste cantități sunt definite de:

$$t_i = t_{ji} n_j, \quad m_i = m_{ji} n_j, \quad p = \lambda_i n_i, \quad q = q_i n_i,$$

în punctele regulate ale suprafeței  $\partial B$ .

Aici,  $n_i$  sunt componentele normalei exterioare la suprafața  $\partial B$ .

Împreună cu sistemul de ecuații (3.1)-(3.5) vom considera următoarele condiții inițiale:

$$\begin{aligned}
 u_i(x, 0) &= u_i^0(x), \quad \dot{u}_i(x, 0) = u_i^1(x), \\
 \varphi_i(x, 0) &= \varphi_i^0(x), \quad \dot{\varphi}_i(x, 0) = \varphi_i^1(x), \quad x \in \bar{B} \\
 \omega(x, 0) &= \omega^0(x), \quad \dot{\omega}(x, 0) = \omega^1(x) \\
 \theta(x, 0) &= \theta^0(x),
 \end{aligned} \tag{3.8}$$

și următoarele condiții pe frontieră:

$$\begin{aligned}
 u_i &= \bar{u}_i \text{ pe } \partial B_1 \times [0, t_0), \quad t_i = \bar{t}_i \text{ pe } \partial B_1^c \times [0, t_0), \\
 \varphi_i &= \bar{\varphi}_i \text{ pe } \partial B_2 \times [0, t_0), \quad m_i = \bar{m}_i \text{ pe } \partial B_2^c \times [0, t_0), \\
 \omega &= \bar{\omega} \text{ pe } \partial B_3 \times [0, t_0), \quad p = \bar{p} \text{ pe } \partial B_3^c \times [0, t_0), \\
 \theta &= \bar{\theta} \text{ on } \partial B_4 \times [0, t_0), \quad q = \bar{q} \text{ pe } \partial B_4^c \times [0, t_0),
 \end{aligned} \tag{3.9}$$

unde  $t_0$  este un moment de timp care poate fi infinit.

Prin soluție a problemei mixte cu date inițiale și pe frontieră pentru corpurile dipolare termoelastice cu goluri într-un cilindru  $\Omega_0 = B \times [0, t_0)$  se înțelege mulțimea ordonată  $(u_i, \varphi_i, \omega, \theta)$  care satisface ecuațiile (3.1), (3.2) și (3.3) pentru orice  $(x, t) \in \Omega_0$ , condițiile pe frontieră (3.9) și condițiile inițiale (3.8).

## 3.2 Rezultate principale

Fie  $u$  și  $v$  funcții definite pe  $\bar{B} \times [0, \infty)$  și continue pe  $[0, \infty)$  în raport cu variabila timp  $t$ , pentru fiecare variabilă spațială  $x \in \bar{B}$ .

Notăm cu  $u * v$  **produsul de convoluție** al lui  $u$  cu  $v$ , care este dat de relația de mai jos:

$$(u * v)(x, t) = \int_0^t u(x, t - \tau)v(x, \tau)d\tau. \tag{3.10}$$



Introducem în continuare notațiile:

$$\begin{aligned}
 g(t) &= t, \quad h(t) = 1, \\
 f_i &= \varrho g * F_i + \varrho [t u_i^1(x) + u_i^0(x)], \\
 g_i &= \varrho g * G_i + I_{ij} [t \varphi_j^1(x) + \varphi_j^0(x)], \\
 l &= \varrho g * L + J [t \omega^1(x) + \omega^0(x)], \\
 w &= \varrho h * r + \varrho T_0 \eta_0
 \end{aligned} \tag{3.11}$$

Urmând aceeași procedură folosită de leșan în [41], este ușor să se demonstreze următorul rezultat, care ne permite să oferim o formulare alternativă a problemei inițiale și cu date pe frontieră în care datele inițiale sunt încorporate în câmpul de ecuații. Teorema următoare are ca scop eliminarea factorilor de inerție.

**Teorema 3.1.** *Funcțiile  $u_i$ ,  $\varphi_{jk}$ ,  $\sigma$ ,  $\theta$ ,  $\tau_{ij}$ ,  $\eta_{ij}$ ,  $\mu_{ijk}$  și  $q_i$  satisfac ecuațiile (3.1), (3.2), (3.3) și condițiile inițiale (3.8) dacă și numai dacă satisfac următorul sistem de ecuații:*

$$\begin{aligned}
 g * t_{ji,j} + f_i &= \varrho u_i \\
 g * (m_{ji,j} + \varepsilon_{ijk} t_{jk}) + g_i &= I_{ij} \varphi_j \\
 g * (\lambda_{i,i} - s) + l &= J \omega \\
 h * q_{i,i} + w &= \varrho T_0 \eta
 \end{aligned} \tag{3.12}$$

În următoarele estimări, vom folosi formularea (3.12) a problemei mixte. Dorim să găsim comportamentul mediului considerat atunci când este inclus în  $B$  și există o suprafață discontinuă  $\Sigma$  pentru vectorii deplasări și microrotație, pentru funcția microstructură și temperatură. Părțile lui  $\Sigma$  sunt notate cu  $\Sigma^-$  și  $\Sigma^+$ .

Fie  $\nu_i$  componentele versorului normală la suprafața  $\Sigma$ , având sensul de parcurgere de la  $(-)$  către  $(+)$ .

În această situație, pe suprafața  $\Sigma$  avem condițiile

$$\begin{aligned}
 u_i^+ - u_i^- &= U_i, \quad t_{ji}^+ n_j = t_{ji}^- n_j \\
 \varphi_i^+ - \varphi_i^- &= \Phi_i, \quad m_{ij}^+ n_j = m_{ij}^- n_j \\
 \omega^+ - \omega^- &= \Psi, \quad \lambda_j^+ n_j = \lambda_j^- n_j \\
 \theta^+ - \theta^- &= \Theta, \quad q_j^+ n_j = q_j^- n_j
 \end{aligned} \tag{3.13}$$

unde  $f^+$  și  $f^-$  sunt limitele funcției  $f(x)$  când  $x$  atinge un punct al părții  $(+)$  sau  $(-)$  al suprafeței  $\Sigma$  și  $U_i$ ,  $\Phi_i$ ,  $\Psi$  și  $\Theta$  sunt funcții predefinite. În acest mod putem

considera ecuațiile (3.12) în domeniul  $B \setminus \Sigma$ .

Considerăm în continuare două sisteme diferite de încărcări ale corpului:

$$\mathcal{G}^{(\alpha)} = \left\{ F_i^{(\alpha)}, G_i^{(\alpha)}, L^{(\alpha)}, r^{(\alpha)}, \bar{u}_i^{(\alpha)}, \bar{\varphi}_i^{(\alpha)}, \bar{\omega}_i^{(\alpha)}, \bar{\theta}^{(\alpha)}, \right. \\ \left. \bar{t}_i^{(\alpha)}, \bar{m}_i^{(\alpha)}, \bar{h}^{(\alpha)}, \bar{q}^{(\alpha)}, U_i, \Phi_i, \Psi, \Theta \right\}, \alpha = 1, 2$$

și două soluții corespunzătoare:

$$\mathcal{S}^{(\alpha)} = \left\{ u_i^{(\alpha)}, \varphi_i^{(\alpha)}, \omega^{(\alpha)}, \theta^{(\alpha)}, \varepsilon_{ij}^{(\alpha)}, \mu_{ij}^{(\alpha)}, t_{ij}^{(\alpha)}, m_{ij}^{(\alpha)}, \lambda_i^{(\alpha)}, s^{(\alpha)}, q_i^{(\alpha)} \right\}, \alpha = 1, 2$$

Pentru ușurarea calculelor, introducem notațiile:

$$\begin{aligned} t_i &= t_{ij}n_j, T_i = t_{ij}^+n_j \\ m_i &= m_{ij}n_j, M_i = m_{ij}^+n_j \\ \lambda &= \lambda_i n_i, \Lambda = \lambda_i^+ n_i \\ q &= q_i n_i, Q = q_i^+ n_i \end{aligned} \quad (3.14)$$

În teorema următoare demonstrăm o relație de reciprocitate de tip Betti care constituie un rezultat teoretic puternic în evaluarea teoriei producerii cutremurelor și în studiile legate de propagarea undelor seismice. Acest rezultat poate fi interpretat astfel: un efect asupra unui mediu poate fi stabilit pe baza unui efect cunoscut deja.

**Teorema 3.2.** *Dacă un corp termoelastic cu microstructură este supus la două sisteme de încărcări  $\mathcal{G}^{(\alpha)}$  atunci între soluțiile corespunzătoare  $\mathcal{S}^{(\alpha)}$  există*

următoarea relație de reciprocitate:

$$\begin{aligned}
 & \int_B \left( f_i^{(1)} * u_i^{(2)} + g_i^{(1)} * \varphi_i^{(2)} + l^{(1)} * \omega^{(2)} - \frac{1}{T_0} g * w^{(1)} * \theta^{(2)} \right) dV + \\
 & + \int_{\partial B} g * \left( t_i^{(1)} * u_i^{(2)} + m_i^{(1)} * \varphi_i^{(2)} + \lambda^{(1)} * \omega^{(2)} - \frac{1}{T_0} h * q^{(1)} * \theta^{(2)} \right) dA - \\
 & - \int_{\Sigma} g * \left( T_i^{(1)} * U_i^{(2)} + M_i^{(1)} * \Phi_i^{(2)} + \Lambda^{(1)} * \Psi^{(2)} - \frac{1}{T_0} h * Q^{(1)} * \Theta^{(2)} \right) dA = (3.15) \\
 & = \int_B \left( f_i^{(2)} * u_i^{(1)} + g_i^{(2)} * \varphi_i^{(1)} + l^{(2)} * \omega^{(1)} - \frac{1}{T_0} g * w^{(2)} * \theta^{(1)} \right) dV + \\
 & + \int_{\partial B} g * \left( t_i^{(2)} * u_i^{(1)} + m_i^{(2)} * \varphi_i^{(1)} + \lambda^{(2)} * \omega^{(1)} - \frac{1}{T_0} h * q^{(2)} * \theta^{(1)} \right) dA - \\
 & - \int_{\Sigma} g * \left( T_i^{(2)} * U_i^{(1)} + M_i^{(2)} * \Phi_i^{(1)} + \Lambda^{(2)} * \Psi^{(1)} - \frac{1}{T_0} h * Q^{(2)} * \Theta^{(1)} \right) dA
 \end{aligned}$$

Pentru a ilustra rezultatele teoretice obținute în secțiunile anterioare, prezentăm câteva rezultate numerice luând în considerare condițiile inițiale date în relațiile (3.8).

Fig. 3.1 arată variația 3D a deplasării în raport cu timpul și spațiul. Deoarece noi suntem interesați doar de valorile pozitive ale timpului, se observă că deplasarea crește rapid.

Variația 3D a funcției microstructură în raport cu timpul și spațiul este prezentată în figura 3.2. Se observă că pentru o creștere a timpului funcția microstructură tinde să devină constantă și suprafața microstructură devine paralelă cu planul  $xOt$ .

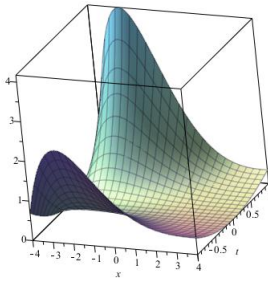


Figura 3.1: Variația deplasării  $u(x, t)$

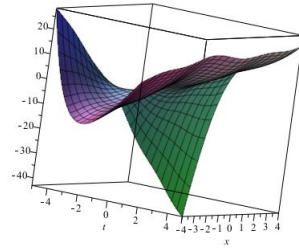


Figura 3.2: Variația lui  $\omega(x, t)$

În figura 3.3 este reprezentată variația funcției microrotație, iar în figura 3.4 este reprezentată variația temperaturii cu creșterea lui  $x$ .

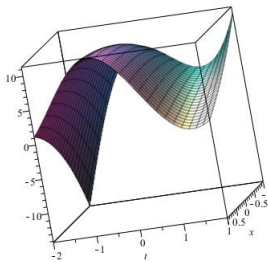


Figura 3.3: Variația lui  $\phi(x, t)$

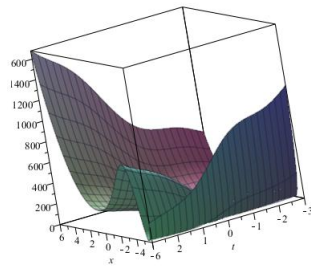


Figura 3.4: Variația lui  $\theta(x, t)$

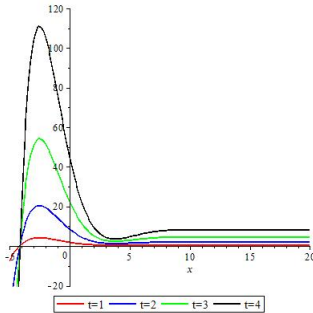


Figura 3.5: Comportamentul deplasării  $u(x, t)$  la diferite valori de timp

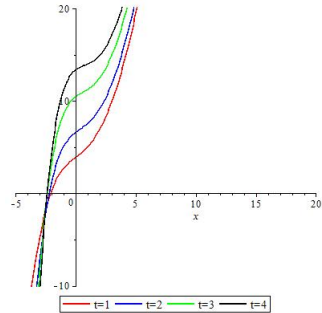


Figura 3.6: Comportamentul funcției microstructură  $\omega(x, t)$  la diferite valori de timp

Fig. 3.5 prezintă profilul deplasărilor  $u(x, t)$  pentru  $x$  la diferite valori de timp. Deplasarea atinge un maxim pentru toți timpii aleși pentru  $x \in (-2.5; -2.35)$ . Deplasarea este o funcție crescătoare în raport cu spațiul pentru  $x \in [-5; -2.5] \cup [3.4; 6.3]$ , și este o funcție descrescătoare pentru  $x \in (-2.5; 3.4)$  și tinde la o stare stabilă.

Fig. 3.6 prezintă profilul microstructurii  $\omega(x, t)$  în raport cu  $x$  la diferite momente de timp. Microstructura este o funcție crescătoare în raport cu timpul.

Profilul funcției microrotație  $\phi(x, t)$  este prezentat în figura 3.7 pentru patru momente de timp. Funcția microrotație este o funcție descrescătoare în raport cu timpul, așa cum se poate observa în figura 3.7.

Fig. 3.8 prezintă profilul temperaturilor  $\theta(x, t)$  pentru  $x$  la diferite momente de timp. Temperatura corpului este o funcție crescătoare în raport cu timpul pentru  $x > 0$ .

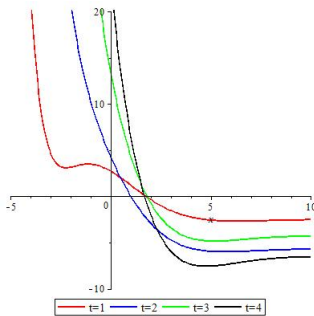


Figura 3.7: Profilul microrotației  $\phi(x, t)$  la diferite valori de timp

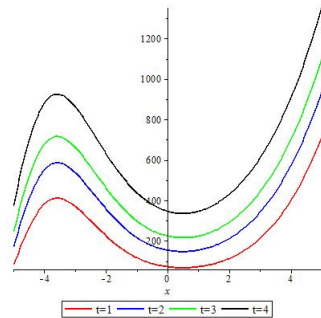


Figura 3.8: Profilul temperaturilor  $\theta(x, t)$  la diferite valori de timp

Se observă că pentru valori mai mari decât  $x = 3.2$  vectorul deplasare devine constant pentru un anumit timp considerat. Funcția microstructură crește asimptotic pentru  $x = 5$ . Vectorul microrotație se stabilizează pentru orice moment de timp când  $x$  este în intervalul  $(3.6, 3.85)$ . Temperatura crește pentru  $x \in (-5, -3.5)$ , descrește pentru  $x \in (-3.5, 0)$  și crește asimptotic pentru  $x = 5$ .

În absența discontinuităților obținem generalizarea în contextul termoelasticității corpurilor termoelastice cu microstructură, a rezultatelor anterioare stabilite în termoelastodinamica clasică.

Deducem că efectul discontinuităților de-a lungul suprafeței  $\Sigma$  poate fi reprezentat de sarcini suplimentare externe ale corpului și de alimentarea cu căldură.

Deși aceste discontinuități ar trebui să acționeze într-un mediu ideal și este evident că nu pot reprezenta forțe reale care acționează în mediul real, ele pot furniza totuși, așa cum s-a arătat în lucrările [35], [36] și [44], un instrument teoretic util deoarece dacă două dislocări au aceeași forță echivalentă, ele emit aceeași radiație.

## Capitolul 4

# Comportamentul spațial în termoelasto-dinamica corpurilor cu dublă porozitate

Mediile elastice poroase sunt un caz special de solide cu microstructură. Bazele studiilor privind materialele poroase sunt stabilite de Goodman și teoria granulară a lui Cowin, [33]. În această teorie, densitatea de masă este scrisă ca produsul dintre două funcții: densitatea materialului matrită și funcția porozitate (fracția volumetrică).

În cazul porozității duble a unui material, cele două tipuri de porozitate sunt date de: o macroporozitate legată de porii corpului și o microporozitate dată de golurile existente în corpul solid. Interesul față de materiale cu porozitate dublă datează cu mai mult de cincizeci de ani în urmă. Barenblatt și colaboratorii, [5], [4] au propus un model matematic pentru corpurile cu structură dublă de porozitate.

Imposibilitatea localizării în timp a soluțiilor este demonstrată de Quintanilla, [65] în cazul termoelasticității liniare cu goluri, însă, nu a fost încă tratată în cazul materialelor cu dublă porozitate.

Problema înapoi în timp a fost considerată prima dată de Serrin, [66], care a stabilit rezultate de unicitate pentru ecuațiile Navier-Stokes înapoi în timp. Criterii

de unicitate și stabilitate pentru ecuațiile Navier-Stokes înapoi în timp au fost demonstrate mai târziu de Knops și Payne, [45] și Galdi și Straughan, [31].

În contextul teoriei liniare a dinamicii termoelasticității, problema înapoi în timp pentru medii poroase este considerată a fi o problemă cu date pe frontieră, astfel încât datele finale sunt atribuite la momentul  $t = 0$ . Criterii de unicitate pentru soluția problemei înapoi în timp pentru medii poroase au fost obținute de Pasarella & co, [62].

Acest capitol este structurat astfel: secțiunea 2 descrie ecuațiile de bază pentru problema înapoi în timp în cazul materialelor cu structură dublă de porozitate și enumeră condițiile impuse parametrilor. Secțiunea 3 se referă la imposibilitatea localizării în timp a soluțiilor pentru problema înapoi în timp. În secțiunea 4 este obținută o alternativă Phragmen-Lindelof pentru cazul cilindrilor semi-infiniți. În finalul studiului se obține o limită superioară pentru amplitudine atunci când soluția descrește în timp. În secțiunile 5-7 este tratată problema înapoi în timp în cazul materialelor cu structură dublă de porozitate și micropemperaturi.

## 4.1 Ecuații de bază

Ecuațiile de evoluție care guvernează problema termoelasticității cu structura de porozitate dublă sunt:

$$\begin{aligned} t_{ji,j} &= \rho_0 \ddot{u}_i \\ \sigma_{j,j} + \xi &= k_1 \ddot{\phi} \\ \tau_{j,j} + \zeta &= k_2 \ddot{\psi} \end{aligned} \quad (4.1)$$

unde:  $\rho_0$  este densitatea de masă,  $k_1, k_2$  sunt coeficienții de inerție echilibrată,  $\sigma_j, \tau_j$  sunt vectorii tensiune echilibrați,  $\xi, \zeta$  sunt forțele intrinseci echilibrate ale corpului,  $t_{ij}$  sunt tensorii tensiune,  $u_i$  este deplasarea și  $\phi, \psi$  sunt câmpurile de volum fracțional din configurația de referință.

Ecuația energiei are forma:

$$\rho_0 T_0 \dot{\eta} = Q_{j,j} \quad (4.2)$$

unde  $T_0$  este temperatura constantă absolută a corpului din configurația de referință,  $\eta$  este entropia,  $Q_j$  este fluxul de căldură.



Considerăm următoarele ecuații constitutive ale teoriei liniare pentru materiile centrosimetrice:

$$\begin{aligned}
 t_{ij} &= C_{ijkl}u_{k,l} + B_{ij}\phi + D_{ij}\psi - \beta_{ij}\theta \\
 \sigma_i &= \alpha_{ij}\phi_{,j} + b_{ij}\psi_{,j} \\
 \tau_i &= \bar{b}_{ji}\phi_{,j} + \gamma_{ij}\psi_{,j} \\
 \xi &= -B_{ij}u_{i,j} - \alpha_1\phi - \alpha_3\psi + \gamma_1\theta \\
 \zeta &= -D_{ij}u_{i,j} - \alpha_3\phi - \alpha_2\psi + \gamma_2\theta \\
 \rho_0\eta &= \beta_{ij}u_{i,j} + \gamma_1\phi + \gamma_2\psi + a\theta \\
 Q_i &= \kappa_{ij}\theta_{,j}
 \end{aligned} \tag{4.3}$$

unde  $\kappa_{ij}$  este tensorul de conductivitate termică,  $\beta_{ij}$  este tensorul dilatării termice,  $C_{ijkl}$  este tensorul de elasticitate,  $B_{ij}$ ,  $D_{ij}$ ,  $\alpha_{ij}$ ,  $b_{ij}$ ,  $\gamma_{ij}$ ,  $\alpha_1$ ,  $\alpha_2$ ,  $\alpha_3$ ,  $\gamma_1$ ,  $\gamma_2$ ,  $a$  sunt funcții care sunt tipice în această teorie.

Introducem ecuațiile constitutive în ecuațiile de evoluție. Obținem sistemul de ecuații pentru termoelasticitatea cu porozitate dublă:

$$\rho_0\ddot{u}_i = (C_{jikl}u_{k,l} + B_{ji}\phi + D_{ji}\psi - \beta_{ji}\theta)_{,j} \tag{4.4a}$$

$$k_1\ddot{\phi} = (\alpha_{ij}\phi_{,i} + b_{ij}\psi_{,i})_{,j} - B_{ij}u_{i,j} - \alpha_1\phi - \alpha_3\psi + \gamma_1\theta \tag{4.4b}$$

$$k_2\ddot{\psi} = (b_{ij}\phi_{,i} + \gamma_{ij}\psi_{,i})_{,j} - D_{ij}u_{i,j} - \alpha_3\phi - \alpha_2\psi + \gamma_2\theta \tag{4.4c}$$

$$a\dot{\theta} = \frac{(\kappa_{ij}\theta_{,i})_{,j}}{T_0} - \beta_{ij}\dot{u}_{i,j} - \gamma_1\dot{\phi} - \gamma_2\dot{\psi} \tag{4d*}$$

Imposibilitatea localizării soluțiilor sistemului de mai sus constă în demonstrarea unicității soluțiilor problemei înapoi în timp. Sistemul de ecuații care guvernează problema întoarcerii înapoi în timp este descris de același set de ecuații (4.4a)-(4.4c) în timp ce (4d\*) devine

$$a\dot{\theta} = -\frac{(\kappa_{ij}\theta_{,i})_{,j}}{T_0} - \beta_{ij}\dot{u}_{i,j} - \gamma_1\dot{\phi} - \gamma_2\dot{\psi} \tag{4d}$$

deoarece problema cu datele finale s-a transformat într-o problemă cu date inițiale. Coeficienții constitutivi sunt simetrici:

$$C_{ijkl} = C_{klij}; \quad \alpha_{ij} = \alpha_{ji}; \quad b_{ij} = b_{ji}; \quad \gamma_{ij} = \gamma_{ji}; \quad \kappa_{ik} = \kappa_{ji}$$

În cele ce urmează trebuie să impunem pozitivitatea tensorului de conductivitate termică  $\kappa_{ij}$ :

$$\kappa_{ij}\eta_i\eta_j \geq k_0\eta_i\eta_i \quad (\text{a.1})$$

pentru fiecare vector  $\eta_i$ , unde  $k_0 > 0$ .

Vom lua în considerare următoarele ipoteze privind densitatea de masă  $\rho$ , coeficienții de inerție  $k_1$  și  $k_2$  și capacitatea termică  $a$ :

$$\rho(x) \geq \rho_0 > 0; \quad k_1(x) \geq k_0^1 > 0; \quad k_2(x) \geq k_0^2 > 0; \quad a(x) \geq a_0 > 0 \quad (\text{a.2})$$

Vom considera  $a > 0$  deoarece energia trebuie să fie pozitivă. Astfel, avem următoarea inegalitate

$$\begin{aligned} C_{ijkl}u_{i,j}u_{k,l} + \alpha_{ij}\phi_{,i}\phi_{,j} + \gamma_{ij}\psi_{,i}\psi_{,j} + 2b_{ij}\phi_{,i}\psi_{,j} + 2B_{ij}u_{i,j}\phi + \\ + 2D_{ij}u_{i,j}\psi + \alpha_1\phi^2 + \alpha_2\psi^2 + 2\alpha_3\phi\psi > \\ > C^*(u_{i,j}u_{i,j} + \phi_{,i}\phi_{,i} + \psi_{,i}\psi_{,i} + \phi^2 + \psi^2) \end{aligned} \quad (\text{a.3})$$

Ipoteza (a.1) este legată de inegalitatea produsului de entropie care se ia în considerare la efectul termic. Presupunerea (a.2) este legată de pozitivitatea funcțiilor specifice, iar presupunerea (a.3) ne dă informația că energia internă este pozitiv definită.

## 4.2 Imposibilitatea localizării în timp

În această secțiune demonstrăm, pentru un domeniu mărginit  $B$  cu frontiera  $\partial B$ , imposibilitatea localizării în timp a soluției care constă în demonstrarea unicității soluției pentru problema înotărcerii temporale. Presupunem că frontiera  $\partial B$  a domeniului  $B$  este suficient de netedă pentru a aplica teorema divergenței. Propunem condițiile inițiale:

$$\begin{aligned} u_i(\mathbf{X}, 0) = \dot{u}_i(\mathbf{X}, 0) = \phi(\mathbf{X}, 0) = \dot{\phi}(\mathbf{X}, 0) = 0 \\ \psi(\mathbf{X}, 0) = \dot{\psi}(\mathbf{X}, 0) = \theta(\mathbf{X}, 0) = 0, \quad \mathbf{X} \in B \end{aligned} \quad (\text{4.5})$$

și condițiile pe frontieră:

$$u_i(\mathbf{X}, t) = \phi(\mathbf{X}, t) = \psi(\mathbf{X}, t) = \theta(\mathbf{X}, t) = 0, \quad \mathbf{X} \in \partial B, t \geq 0 \quad (\text{4.6})$$

În următoarele calcule vrem să obținem expresia energiei interne. Folosind principiul conservării energiei, avem următoarea egalitate:

$$\begin{aligned}
 E_1(t) = & \frac{1}{2} \int_B \left( \rho_0 \dot{u}_i \dot{u}_i + k_1 \dot{\phi}^2 + k_2 \dot{\psi}^2 + a\theta^2 + C_{ijkl} u_{i,j} u_{k,l} + \alpha_{ij} \phi_{,i} \phi_{,j} \right) dV + \\
 & + \int_B \left( \gamma_{ij} \psi_{,i} \psi_{,j} + 2b_{ij} \phi_{,i} \psi_{,j} + 2B_{ij} u_{i,j} \phi + 2D_{ij} u_{i,j} \psi + \right. \\
 & \left. + \alpha_1 \phi^2 + \alpha_2 + \psi^2 + 2\alpha_3 \phi \psi \right) dV = \int_0^t \int_B \kappa_{ij} \theta_{,i} \theta_{,j} dV ds
 \end{aligned} \tag{4.7}$$

respectiv:

$$\begin{aligned}
 E_2(t) = & \frac{1}{2} \int_B \left( \rho_0 \dot{u}_i \dot{u}_i + k_1 \dot{\phi}^2 + k_2 \dot{\psi}^2 - a\theta^2 + C_{ijkl} u_{i,j} u_{k,l} + \alpha_{ij} \phi_{,i} \phi_{,j} \right) dV + \\
 & + \int_B \left( \gamma_{ij} \psi_{,i} \psi_{,j} + 2b_{ij} \phi_{,i} \psi_{,j} + 2B_{ij} u_{i,j} \phi + 2D_{ij} u_{i,j} \psi + \right. \\
 & \left. + \alpha_1 \phi^2 + \alpha_2 + \psi^2 + 2\alpha_3 \phi \psi \right) dV = \\
 = & - \int_0^t \int_B \left( \kappa_{ij} \theta_{,i} \theta_{,j} - 2\gamma_1 \theta \dot{\phi} - 2\gamma_2 \theta \dot{\psi} - 2\dot{u}_i (\beta_{ij} \theta)_{,j} \right) dV ds
 \end{aligned} \tag{4.8}$$

Luând în considerare ecuațiile de bază (4.4a)-(4d), condițiile inițiale (4.5) și condițiile pe frontieră (4.6) obținem egalitatea:

$$\begin{aligned}
 \int_B \left( \rho \dot{u}_i \dot{u}_i + k_1 \dot{\phi}^2 + k_2 \dot{\psi}^2 - a\theta^2 \right) dV = & \int_B \left( C_{ijkl} u_{i,j} u_{k,l} + \alpha_{ij} \phi_{,i} \phi_{,j} + \right. \\
 & + \gamma_{ij} \psi_{,i} \psi_{,j} + 2b_{ij} \phi_{,i} \psi_{,j} + 2B_{ij} u_{i,j} \phi + 2D_{ij} u_{i,j} \psi + \\
 & \left. + \alpha_1 \phi^2 + \alpha_2 \psi^2 + 2\alpha_3 \phi \psi \right) dV
 \end{aligned} \tag{4.9}$$

În următoarele calcule vrem să demonstrăm imposibilitatea localizării soluțiilor în teoria cu dublă porozitate.

Din (4.8) și (4.9) avem următoarea expresie pentru  $E_2(t)$ :

$$\begin{aligned} E_2(t) &= \int_B (C_{ijkl} u_{i,j} u_{k,l} + \alpha_{ij} \phi_{,i} \phi_{,j} + \gamma_{ij} \psi_{,i} \psi_{,j} + 2b_{ij} \phi_{,i} \psi_{,j} + 2B_{ij} u_{i,j} \phi + \\ &\quad + 2D_{ij} u_{i,j} \psi + \alpha_1 \phi^2 + \alpha_2 \psi^2 + 2\alpha_3 \phi \psi) DV = \\ &= - \int_0^t \int_B \left( \kappa_{ij} \theta_{,i} \theta_{,j} - 2\gamma_1 \theta \dot{\phi} - 2\gamma_2 \theta \dot{\psi} - 2\dot{u}_i (\beta_{ij} \theta)_{,j} \right) dV ds \end{aligned}$$

Dacă considerăm  $\varepsilon$  o constantă pozitivă destul de mică, putem scrie expresia energiei sub forma:

$$E(t) = E_2(t) + \varepsilon E_1(t), \quad \varepsilon \in (0, 1)$$

Pentru  $\varepsilon \in (0, 1)$  avem următoarea relație:

$$\begin{aligned} E(t) &= -(1 - \varepsilon) \int_0^t \int_B \kappa_{ij} \theta_{,i} \theta_{,j} dV ds + 2 \int_0^t \int_B \gamma_1 \theta \dot{\phi} dV ds + \\ &\quad + 2 \int_0^t \int_B \gamma_2 \theta \dot{\psi} dV ds + 2 \int_0^t \int_B \dot{u}_i (\beta_{ij} \theta)_{,j} dV ds \end{aligned}$$

de unde:

$$\frac{dE(t)}{dt} = -(1 - \varepsilon) \int_B \kappa_{ij} \theta_{,i} \theta_{,j} dV ds + 2 \int_B \gamma_1 \theta \dot{\phi} dV ds + 2 \int_B \gamma_2 \theta \dot{\psi} dV ds + 2 \int_B \dot{u}_i (\beta_{ij} \theta)_{,j} dV ds$$

Folosind inegalitatea mediilor aritmetică și geometrică pentru integralele de mai sus, există o constantă pozitivă  $C$  astfel încât:

$$\frac{dE}{dt} \leq C \int_B \left( \rho \dot{u}_i \dot{u}_i + k_1 \dot{\phi}^2 + k_2 \dot{\psi}^2 + a \theta^2 \right) dV$$

care este echivalentă cu estimarea:  $E(t) \leq C e^{C^* t}$ . Pentru  $t = 0$  vom avea estimarea:  $E(t) \leq E(0) e^{C^* t}$ . Dar, condițiile inițiale conduc la  $E(t) = 0$  pentru fiecare  $t \geq 0$  care este echivalent cu:

$$\dot{u}_i = 0; \dot{\phi} = 0; \dot{\psi} = 0; \theta = 0 \Leftrightarrow u_i = C_1; \phi = C_2; \psi = C_3; \theta = 0$$

Ținând cont de condițiile inițiale (4.5) obținem că soluția pentru problema noastră este soluția nulă:

$$u_i = 0; \phi = 0; \psi = 0; \theta = 0$$

Acum, putem trage concluzia că dacă  $(u_i, \phi, \psi, \theta)$  este o soluție a problemei înapoi în timp (4.4a)-(4d) cu condițiile inițiale (4.5) și condițiile pe frontieră (4.6), atunci singura soluție a problemei reduse la o problemă cu date inițiale este soluția nulă  $u_i = \phi = \psi = \theta = 0$ .

### 4.3 Alternativa Phragmen-Lindelof

Considerăm că solidul ocupă un cilindru prismatic semi-infinit  $B = D \times [0, \infty)$  unde am notat cu  $D$  o secțiune transversală în acest cilindru. Presupunem că frontiera acestei secțiuni este o curbă continuu diferențiabilă pe porțiuni notată cu  $\partial D$  suficient de netedă pentru a aplica teorema divergenței. Notăm cu  $\Pi$  suprafața laterală a cilindrului:  $\Pi = \partial D \times (0, \infty)$ .

Cilindrul este considerat a fi liber de sarcini pe suprafața laterală a frontierei. Condițiile pe frontiera laterală sunt:

$$u_i(\mathbf{X}, t) = 0; \phi(\mathbf{X}, t) = 0; \psi(\mathbf{X}, t) = 0; \theta(\mathbf{X}, t) = 0, (\mathbf{X}, t) \in \Pi \times (0, \infty) \quad (4.10)$$

Pe baza cilindrului sunt considerate următoarele condiții la limită:

$$\begin{aligned} u_i(x_1, x_2, 0, t) &= \tilde{u}_i; \phi(x_1, x_2, 0, t) = \tilde{\phi}; \\ \psi(x_1, x_2, 0, t) &= \tilde{\psi}; \theta(x_1, x_2, 0, t) = \tilde{\theta} \end{aligned} \quad (4.11)$$

În această secțiune vom obține o alternativă Phragmén-Lindelöf, (5.15), pentru soluția dintr-o anumită clasă a problemei determinată de sistemul (4.4a)-(4d) cu condițiile pe frontieră (4.11) și cu condițiile inițiale nule (4.10). Propunem să estimăm valoarea absolută a unei funcții considerate,  $H_\omega(z, t)$  prin intermediul derivatelor sale spațiale.

Definim funcția:

$$\begin{aligned}
 H_\omega(z, t) = & \int_0^t \int_{D(z)} e^{-2\omega s} [C_{i3kl}u_{k,l} + B_{i3}\phi + D_{i3}\psi - \beta_{i3}\theta] \dot{u}_i dads + \\
 & + \int_0^t \int_{D(z)} e^{-2\omega s} [\alpha_{i3}\phi_{,i} + b_{i3}\psi_{,i}] \dot{\phi} dads + \\
 & + \int_0^t \int_{D(z)} e^{-2\omega s} [b_{3i}\phi_{,i} + \gamma_{i3}\psi_{,i}] \dot{\psi} dads + \\
 & + \int_0^t \int_{D(z)} e^{-2\omega s} [K_{i3}\theta_{,i}] \dot{\theta} dads
 \end{aligned} \tag{4.12}$$

unde  $K_{ij} = \frac{\kappa_{ij}}{T_0}$ .

Aici, notăm cu  $D(z)$  secțiunea transversală a cilindrului la o distanță  $z$  de bază, care este:

$$D(z) = \{\mathbf{x} \in B | x_3 = z\}$$

Mai mult, vrem să estimăm valoarea absolută a lui  $H_\omega$  în funcție de derivata sa spațială, pentru a obține o inegalitate diferențială, astfel încât:

$$|H_\omega| \leq C_\omega \frac{\partial H_\omega}{\partial z} \tag{4.13}$$

Această inegalitate este cunoscută în studiul estimării spațiale și reprezintă o alternativă Phragmén-Lindelöf.

Pentru următoarele calcule este necesar să se ia în considerare ipoteza (a.3), în această situație, energia internă ne conduce la următoarea inegalitate:

$$\Phi \geq \rho \dot{u}_i \dot{u}_i + k_1 \dot{\phi}^2 + k_2 \dot{\psi}^2 + a\theta^2 + C^* (u_{i,j}u_{i,i} + \phi_{,i}\phi_{,i} + \psi_{,i}\psi_{,i} + \phi^2 + \psi^2)$$

Din inegalitatea (4.13) obținem dubla inegalitate:

$$-C_\omega \frac{\partial H_\omega}{\partial z} \leq H_\omega \leq C_\omega \frac{\partial H_\omega}{\partial z}$$

care este echivalentă cu următoarele inegalități:

$$-\frac{\partial H_\omega}{\partial z} \leq \frac{1}{C_\omega} H_\omega \quad (4.14)$$

$$\frac{\partial H_\omega}{\partial z} \geq \frac{1}{C_\omega} H_\omega \quad (4.15)$$

Daca exista  $z_0 \geq 0$  astfel încât  $H_\omega(z_0, t) > 0$  atunci  $H_\omega(z, t) > 0$  pentru  $z \geq z_0$ . Cu ajutorul lui Flavin, [22], din (4.15) obținem:

$$H_\omega(z, t) \geq H_\omega(z_0, t) e^{\frac{z-z_0}{C_\omega}} \quad (4.16)$$

Această estimare oferă informații în ceea ce privește măsura definită în cilindru. Pe baza acestei considerente, observăm că termenul de mai jos:

$$\frac{e^{-2\omega t}}{2} \int_{R(0,z)} \Phi(t) dz + \int_0^t \int_{R(0,z)} e^{-2\omega s} [\omega \Phi(s) + K_{ij} \theta_{,i} \theta_{,j}] dads$$

cu  $R(0, z) = \{\mathbf{X} \in B | x_3 < z\}$  tinde exponențial spre infinit. În caz contrar,  $H_\omega(z, t) \leq 0$  pentru orice  $z \geq 0$ .

Conform cu Flavin, [22], o cuadratură pe (4.14) conduce la inegalitatea:

$$-H_\omega(z, t) \leq H_\omega(0, t) e^{-\frac{z}{C_\omega}} \quad (4.17)$$

Ultima inegalitate implică că  $H_\omega(z, t) \rightarrow 0$  pentru  $z \rightarrow \infty$ . Pe baza acestei estimări observăm că:

$$E_\omega(z, t) \leq E_\omega(0, t) e^{-\frac{z}{C_\omega}}, z \geq 0 \quad (4.18)$$

unde

$$E_\omega(z, t) = \frac{e^{-2\omega t}}{2} \int_{R(z)} \Phi(t) dz + \int_0^t \int_{R(z)} e^{-2\omega s} [\omega \Phi(s) + K_{ij} \theta_{,i} \theta_{,j}] dads$$

și  $R(z) = \{\mathbf{X} \in B | z < x_3\}$ .

## 4.4 Limita superioară a lui $E_\omega$ în ceea ce privește condițiile la limită

Pentru a avea o descriere completă a estimării (4.17) trebuie să obținem o limită superioară pentru  $E_\omega(0, t)$  în ceea ce privește condițiile la limită(4.10). Considerăm în cele ce urmează funcțiile  $v_i(x, t), \mu(x, t), \nu(x, t), \xi(x, t)$  astfel încât acestea să îndeplinească condițiile la limită și să tindă către zero atunci când  $x_3$  tinde către  $\infty$ :

$$\begin{aligned}
 -H_\omega(z, t) = & - \int_0^t \int_{D(0)} e^{-2\omega s} [C_{i3kl}u_{k,l} + B_{i3}\phi + D_{i3}\psi - \beta_{3i}\theta] \dot{v}_i dads + \\
 & + \int_0^t \int_{D(0)} e^{-2\omega s} [\alpha_{i3}\phi_{,i} + b_{i3}\psi_{,i}] \dot{\mu} dads + \tag{4.19} \\
 & + \int_0^t \int_{D(0)} e^{-2\omega s} [b_{3i}\phi_{,i} + \gamma_{i3}\psi_{,i}] \dot{\nu} dads + \\
 & + \int_0^t \int_{D(0)} e^{-2\omega s} K_{i3}\theta_{,i}\xi dads
 \end{aligned}$$

Aplicând teorema divergenței și luând în considerare sistemul de ecuații (4.4a)-(4d), ecuația (4.19) va avea următoarea formă:

$$\begin{aligned}
 -H_\omega(z, t) = & \int_0^t \int_R e^{-2\omega s} \left[ \rho_0 \ddot{u}_i \dot{v}_i + \left( k_1 \ddot{\phi} + B_{ij}u_{i,j} + \alpha_1 \phi + \alpha_3 \psi - \gamma_1 \theta \right) \dot{\nu} + \right. \\
 & + \left( k_2 \ddot{\psi} + D_{ij}u_{i,j} + \alpha_3 \phi + \alpha_2 \psi - \gamma_2 \theta \right) \dot{\mu} + \\
 & \left. + \left( a \dot{\theta} + \beta_{ij} \dot{u}_{i,j} + \gamma_1 \dot{\phi} + \gamma_2 \dot{\psi} \right) \xi \right] dads + \tag{4.20} \\
 & + \int_0^t \int_R e^{-2\omega s} [C_{ijkl}u_{k,l} \dot{v}_{i,j} + B_{ij}\phi \dot{v}_{i,j} + D_{ij}\psi \dot{v}_{i,j} - \\
 & - \beta_{ij}\theta \dot{v}_{i,j} + \alpha_{ij}\phi_{,i}\dot{\nu}_{,j} + b_{ij}\psi_{,i}\dot{\nu}_{,j} + b_{ij}\phi_{,i}\dot{\nu}_{,j} + \\
 & + \gamma_{ij}\psi_{,i}\dot{\nu}_{,j} + K_{ij}\theta_{,i}\xi_{,j}] dads
 \end{aligned}$$



Luând în considerare inegalitățile mediilor aritmetice și geometrice, noua formă pentru  $-H_\omega(0, t)$  va fi:

$$\begin{aligned}
 -H_\omega(0, t) \leq & -\varepsilon^* - H_\omega(0, t) + \varepsilon_1^* \int_0^t \int_R e^{-2\omega s} \dot{v}_i \dot{v}_i \, dads + \varepsilon_2^* \int_0^t \int_R e^{-2\omega s} \ddot{v}_i \ddot{v}_i \, dads + \\
 & + \varepsilon_3^* e^{-2\omega t} \int_R \dot{v}_i \dot{v}_i \, da + \varepsilon_4^* \int_0^t \int_R e^{-2\omega s} \dot{v}^2 \, dads + \varepsilon_5^* \int_0^t \int_R e^{-2\omega s} \dot{v}^2 \, dads + \\
 & + \varepsilon_6^* e^{-2\omega t} \int_R \dot{v}^2 \, da + \varepsilon_7^* \int_0^t \int_R e^{-2\omega s} \dot{\mu}^2 \, dads + \varepsilon_8^* \int_0^t \int_R e^{-2\omega s} \dot{v}^2 \, dads + \\
 & + \varepsilon_9^* e^{-2\omega t} \int_R \dot{v}^2 \, da + \varepsilon_{10}^* \int_0^t \int_R e^{-2\omega s} \xi^2 \, dads + \varepsilon_{11}^* \int_0^t \int_R e^{-2\omega s} \xi^2 \, dads + \\
 & + \varepsilon_{12}^* e^{-2\omega t} \int_R \xi^2 \, da + \varepsilon_{13}^* \int_0^t \int_R e^{-2\omega s} \dot{v}_{i,j} \dot{v}_{i,j} \, dads + \varepsilon_{14}^* \int_0^t \int_R e^{-2\omega s} \dot{\mu}_{,i} \dot{\mu}_{,i} \, dads + \\
 & + \varepsilon_{15}^* \int_0^t \int_R e^{-2\omega s} \dot{v}_{,i} \dot{v}_{,i} \, dads + \varepsilon_{14}^* \int_0^t \int_R e^{-2\omega s} \dot{\xi}_{,i} \dot{\xi}_{,i} \, dads
 \end{aligned}$$

unde  $\varepsilon^*$  depinde de coeficienții descriși mai sus. În continuare trebuie să luăm în considerare condițiile pe frontieră:

$$\begin{aligned}
 v_i &= \tilde{u}_i(x_1, x_2, t) e^{-mx_3}, \mu = \tilde{\phi}(x_1, x_2, t) e^{-mx_3}; \\
 v &= \tilde{\psi}(x_1, x_2, t) e^{-mx_3}; \xi = \tilde{\theta}(x_1, x_2, t) e^{-mx_3}; m > 0
 \end{aligned} \tag{4.21}$$

Vom considera  $\varepsilon^*$  suficient de mic. Alegem  $\tilde{\varepsilon}_i$  suficient de mic, în mod particular

considerăm  $\varepsilon^* = \frac{1}{2}$ . Astfel vom obține estimarea:

$$\begin{aligned}
-H_\omega(0, t) \leq & \frac{1}{m} \{ \varepsilon_1^* \int_0^t \int_{D(0)} e^{-2\omega s} \dot{\dot{u}}_i(x_1, x_2, t) \dot{\dot{u}}_i(x_1, x_2, t) dads + \varepsilon_{12}^* e^{-2\omega t} \int_{D(0)} \tilde{\theta}^2(x_1, x_2, t) dads + \\
& + \varepsilon_2^* \int_0^t \int_{D(0)} e^{-2\omega s} \ddot{\dot{u}}_i(x_1, x_2, t) \ddot{\dot{u}}_i(x_1, x_2, t) dads + \varepsilon_3^* e^{-2\omega t} \int_{D(0)} \dot{\dot{u}}_i(x_1, x_2, t) \dot{\dot{u}}_i(x_1, x_2, t) dads + \\
& + \varepsilon_4^* \int_0^t \int_{D(0)} e^{-2\omega s} \dot{\dot{\phi}}^2(x_1, x_2, t) dads + \varepsilon_5^* \int_0^t \int_{D(0)} e^{-2\omega s} \ddot{\dot{\phi}}^2(x_1, x_2, t) dads + \\
& + \varepsilon_6^* e^{-2\omega t} \int_{D(0)} \dot{\dot{\phi}}^2(x_1, x_2, t) dads + \varepsilon_7^* \int_0^t \int_{D(0)} e^{-2\omega s} \dot{\dot{\psi}}^2(x_1, x_2, t) dads + \\
& + \varepsilon_8^* \int_0^t \int_{D(0)} e^{-2\omega s} \ddot{\dot{\psi}}^2(x_1, x_2, t) dads + \varepsilon_9^* e^{-2\omega t} \int_{D(0)} \dot{\dot{\psi}}^2(x_1, x_2, t) dads + \\
& + \varepsilon_{10}^* \int_0^t \int_{D(0)} e^{-2\omega s} \tilde{\theta}^2(x_1, x_2, t) dads + \varepsilon_{11}^* \int_0^t \int_{D(0)} e^{-2\omega s} \dot{\dot{\theta}}^2(x_1, x_2, t) dads + \\
& + \varepsilon_{13}^* \int_0^t \int_{D(0)} e^{-2\omega s} [\dot{\dot{u}}_{i,\alpha}(x_1, x_2, t) \dot{\dot{u}}_{i,\alpha}(x_1, x_2, t) + m^2 \dot{\dot{u}}_i(x_1, x_2, t) \dot{\dot{u}}_i(x_1, x_2, t)] dads + \\
& + \varepsilon_{14}^* \int_0^t \int_{D(0)} e^{-2\omega s} [\dot{\dot{\phi}}_{,\alpha}(x_1, x_2, t) \dot{\dot{\phi}}_{,\alpha}(x_1, x_2, t) + m^2 \dot{\dot{\phi}}^2(x_1, x_2, t)] dads + \\
& + \varepsilon_{15}^* \int_0^t \int_{D(0)} e^{-2\omega s} [\dot{\dot{\psi}}_{,\alpha}(x_1, x_2, t) \dot{\dot{\psi}}_{,\alpha}(x_1, x_2, t) + m^2 \dot{\dot{\psi}}^2(x_1, x_2, t)] dads + \\
& + \varepsilon_{16}^* \int_0^t \int_{D(0)} e^{-2\omega s} [\dot{\dot{\phi}}_{,\alpha}(x_1, x_2, t) \tilde{\theta}_{,\alpha}(x_1, x_2, t) + m^2 \tilde{\theta}^2(x_1, x_2, t)] dads \}
\end{aligned}$$

Prin urmare, am obținut o estimare pentru  $-H_\omega(0, t)$  care va conduce la estimarea  $E_\omega(z, t)$  pentru (4.17).

## 4.5 Ecuații de bază pentru materiale cu dublă porozitate și microtemperaturi

Scopul acestui studiu este de a arăta că în cazul termoelasticității cu structură dublă de porozitate și microtemperaturi singura soluție care descrește după un

#### 4.5. ECUAȚII DE BAZĂ PENTRU MATERIALE CU DUBLĂ POROZITATE ȘI MICROTEMPERATURA 149

timp finit este soluția nulă. În rezultatele anterioare, [7], [8], [47], [48], autorii au demonstrat că după o mică perioadă de timp deformările termomecanice sunt foarte mici și pot fi neglijate. Prezentul studiu reprezintă o continuare a cercetării privind imposibilitatea localizării în elasticitatea termoporoasă cu microtemperaturi realizată de Quintanilla [64].

Ecuțiile de evoluție care guvernează problema termoelasticității cu structura dublă de porozitate pentru materialele cu microtemperatură în absența termenilor de alimentare sunt, [7], [8]:

$$t_{ji,j} = \rho \ddot{u}_i; \quad \sigma_{j,j} + \xi = k_1 \ddot{\phi}; \quad \tau_{j,j} + \zeta = k_2 \ddot{\psi}; \quad (4.22)$$

unde:  $\rho$  este densitatea de masă,  $k_1, k_2$  sunt coeficienții de inerție echilibrată,  $\sigma_j, \tau_j$  sunt vectorii de tensiune echilibrați,  $\xi, \zeta$  sunt forțele echilibrate intrinseci ale corpului,  $t_{ji}$  sunt tensorii de tensiune,  $u_i$  este deplasarea,  $\phi, \psi$  sunt câmpurile fracțiunii de volum din configurația de referință.

Ecuția energiei are următoarea formă:

$$\rho T_0 \dot{\eta} = Q_{j,j} \quad (4.23)$$

unde  $T_0$  este temperatura absolută a corpului din configurația de referință considerată constantă,  $\eta$  este entropia,  $Q_j$  este fluxul de căldură.

Ecuția energiei poate fi exprimată ca:

$$\rho \dot{\varepsilon}_i = Q_{ji,j} + Q_i - q_i \quad (4.24)$$

unde  $\varepsilon_i$  reprezintă componentele gradientului de temperatură și  $q_i$  este media fluxului de micro-căldură,  $Q_{ji}$  este primul tensor al momentului fluxului de căldură.

Introducând ecuațiile constitutive în ecuațiile de evoluție, se obține sistemul de ecuații pentru termoelasticitatea cu porozitate dublă și microtemperaturi:

$$\rho \ddot{u}_i = (C_{jikl} u_{k,l} + B_{ji} \phi + D_{ij} \psi - \beta_{ij} \theta)_{,j} \quad (4.56.a)$$

$$k_1 \ddot{\phi} = (\alpha_{ij} \phi_{,i} + b_{ij} \psi_{,i} - N_{ij} T_j)_{,j} - B_{ij} u_{i,j} - \alpha_1 \phi - \alpha_3 \psi + \gamma_1 \theta \quad (4.56.b)$$

$$k_2 \ddot{\psi} = (b_{ij} \phi_{,i} + \gamma_{ij} \psi_{,i} - M_{ij} T_j)_{,j} - D_{ij} u_{i,j} - \alpha_3 \phi - \alpha_2 \psi + \gamma_2 \theta \quad (4.56.c)$$

$$a \dot{\theta} = -\beta_{ij} \dot{u}_{i,j} - \gamma_1 \dot{\phi} - \gamma_2 \dot{\psi} + \frac{1}{T_0} (\kappa_{ij} \theta_{,j} + L_{ij} T_j)_{,j} \quad (4.56.d^*)$$

$$P_{ij} \dot{T}_j = (A_{ijrs} T_{s,r})_{,j} - R_{ij} T_j - \lambda_{ij} \theta_{,j} - N_{ij} \dot{\phi}_{,j} - M_{ij} \dot{\psi}_{,j} \quad (4.56.e^*)$$

Imposibilitatea localizării în timp a soluțiilor sistemului de mai sus constă în demonstrarea unicității soluției problemei înapoi în timp. Sistemul de ecuații care descrie problema înapoi în timp este dat de același set de ecuații ca (4.56.a)-(4.56.c) în timp ce (4.56.d\*) și (4.56.e\*) se transformă în:

$$a\dot{\theta} = -\beta_{ij}\dot{u}_{i,j} - \gamma_1\dot{\phi} - \gamma_2\dot{\psi} - \frac{1}{T_0}(\kappa_{ij}\theta_{,j} + L_{ij}T_{j,}),_j \quad (4.5.d)$$

$$P_{ij}\dot{T}_j = -(A_{ijrs}T_{s,r}),_j + R_{ij}T_j + \lambda_{ij}\theta_{,j} - N_{ij}\dot{\phi}_{,j} - M_{ij}\dot{\psi}_{,j} \quad (4.5.e)$$

Deoarece coeficienții constitutivi sunt simetrici, au loc relațiile:

$$C_{ijkl} = C_{klji}; \alpha_{ij} = \alpha_{ji}; b_{ij} = b_{ji}; B_{ij} = B_{ji}, D_{ij} = D_{ji}.$$

Pentru cazul materialelor anizotrope și omogene putem face presupunerea că tensorii  $A_{ijrs}, P_{ij}, N_{ij}, M_{ij}, L_{ij}, R_{ij}, \lambda_{ij}$  sunt de asemenea simetrici:

$$A_{ijkl} = A_{lkij}, P_{ij} = P_{ji}, M_{ij} = M_{ji}, L_{ij} = L_{ji}, N_{ij} = N_{ji}, R_{ij} = R_{ji}, \lambda_{ij} = \lambda_{ji}.$$

În contextul teoriilor cu microtemperatură ca o consecință a inegalității lui Clausius-Duhem, avem următoarea presupunere, [7]:

$$\kappa_{ij}\theta_{,i} + (L_{ij} + T_0\lambda_{ij})\theta_{,j}T_i + T_0R_{ij}T_iT_j + T_0A_{jirs}T_{i,j}T_{s,r} \geq 0 \quad (4.25)$$

În cele ce urmează este necesară impunerea unor condiții pentru unele funcții și tensori:

$$\rho(X) \geq \rho_0 > 0; \quad k_1(X) \geq k_0^1 > 0; \quad k_2(x) \geq k_0^2 > 0; \quad a(x) \geq a_0 > 0; \quad P_{ij}\xi_i\xi_j \geq p_0\xi_i\xi_i, p_0 > 0 \quad (a.1)$$

$$\kappa_{ij}\xi_i\xi_j + (L_{ij} + T_0\lambda_{ij})\xi_j\zeta_i + T_0R_{ij}\zeta_i\zeta_j \geq C_0(\xi_i\xi_i + \zeta_i\zeta_i), C_0 > 0, \quad (\forall)\xi_i\zeta_i \quad (a.2)$$

$$C_{ijkl}u_{i,j}u_{k,l} + \alpha_{ij}\phi_{,i}\phi_{,j} + \gamma_{ij}\psi_{,i}\psi_{,j} + 2b_{ij}\phi_{,i}\psi_{,j} + 2B_{ij}u_{i,j}\phi + 2D_{ij}u_{i,j}\psi + \alpha_1\phi^2 + \alpha_2\psi^2 + 2\alpha_3\phi\psi \geq C^* \left( u_{i,j}u_{i,j} + \phi_{,i}\phi_{,i} + \psi_{,i}\psi_{,i} + \phi^2 + \psi^2 \right), \quad \alpha_{ij}\xi_i\xi_j \geq 0; \quad b_{ij}\xi_i\xi_j \geq 0, \quad (\forall)\xi_i \quad (a.3)$$

$$A_{jirs}\xi_{ij}\xi_{sr} \geq C_1\xi_{ij}\xi_{ij}, C_1 > 0, (\forall)\xi_{ij} \quad (a.4)$$

Presupunerea (a.1) este legată de caracteristicile termomecanice, (a.2) și (a.4) sunt consecințe ale inegalității Clausius-Duhem, iar (a.3) dă informația că energia internă este pozitiv definită.

## 4.6 Rezultate principale pentru medii dublu poroase cu microtemperaturi

Să considerăm un domeniu mărginit  $B$  cu frontiera  $\partial B$ . Studiul imposibilității localizării în timp a soluțiilor problemei întoarcerii în timp este echivalent cu studiul unicității soluțiilor pentru problema menționată dată de sistemul de ecuații (4.56.a) - (4.56.e). Pentru a dovedi unicitatea soluțiilor pentru problema înapoi în timp, este suficient să arătăm că numai soluția nulă satisface problema noastră cu condiții inițiale și la limită nule. În următoarele calcule presupunem că domeniul  $B$  este suficient de neted pentru a aplica teorema divergenței.

Condițiile inițiale sunt:

$$\begin{aligned} u_i(\mathbf{X}, 0) = \dot{u}_i(\mathbf{X}, 0) = \phi(\mathbf{X}, 0) = \dot{\phi}(\mathbf{X}, 0) = 0 \quad (4.26) \\ \psi(\mathbf{X}, 0) = \dot{\psi}(\mathbf{X}, 0) = \theta(\mathbf{X}, 0) = 0, \quad T_i(\mathbf{X}, 0) = 0 \quad \mathbf{X} \in B \end{aligned}$$

și condițiile pe frontieră:

$$u_i(\mathbf{X}, t) = \phi(\mathbf{X}, t) = \psi(\mathbf{X}, t) = \theta(\mathbf{X}, t) = T_i(\mathbf{X}, 0) = 0, \quad \mathbf{X} \in \partial B, t \geq 0 \quad (4.27)$$

Folosind teorema divergenței și ținând seama de condițiile la limită, pe baza principiului conservării energiei, avem:

$$\begin{aligned} E_1(t) &= \frac{1}{2} \int_B \left( \rho \dot{u}_i \dot{u}_i + k_1 \dot{\phi}^2 + k_2 \dot{\psi}^2 + a \theta^2 + P_{ij} T_j T_j + C_{ijkl} u_{i,j} u_{k,l} + 2B_{ij} \phi u_{i,j} + \right. \\ &\quad \left. + 2D_{ij} \psi u_{i,j} + \alpha_{ij} \phi_{,j} \phi_{,j} + \gamma_{ij} \psi_{,j} \psi_{,j} + 2b_{ij} \psi_{,j} \phi_{,j} + \alpha_1 \phi^2 + 2\alpha_3 \phi \psi + \alpha_2 \psi^2 \right) dV = \\ &= \int_0^t \int_B \left[ \frac{1}{T_0} (\kappa_{ij} \theta_{,i} \theta_{,j} + L_{ij} T_i \theta_{,j}) + A_{ijrs} T_{s,r} T_{i,j} + R_{ij} T_i T_j + \lambda_{ij} \theta_{,j} T_i \right] dV ds \quad (4.28) \end{aligned}$$

$$\begin{aligned}
E_2(t) &= \frac{1}{2} \int_B (\rho \dot{u}_i \dot{u}_i + k_1 \phi^2 + k_2 \psi^2 - a \theta^2 - P_{ij} T_j T_j + C_{ijkl} u_{k,l} u_{i,j} + 2B_{ij} \phi u_{i,j} + 2D_{ij} \psi u_{i,j} + \\
&\quad + \alpha_{ij} \phi_{,j} \phi_{,j} + 2b_{ij} \psi_{,j} \phi_{,j} + \alpha_1 \phi^2 2\alpha_3 \phi \psi + \gamma_{ij} \psi_{,j} \psi_{,j} + \alpha_2 \psi^2) dV = \\
&\quad (4.29) \\
&= - \int_0^t \left[ \frac{1}{T_0} \int_B (\kappa_{ij} \theta_{,j} \theta_{,j} + L_{ij} T_j \theta_{,j} + A_{ijrs} T_{s,r} T_{j,i} + R_{ij} T_j T_j + \lambda_{ij} \theta_{,j} T_j) dV \right] ds + \\
&\quad + \int_0^t \int_B [(\beta_{ij} \theta)_{,j} \dot{u}_i - (M_{ij} T_j) \dot{\psi} - (N_{ij} T_j) \dot{\phi} + \gamma_1 \theta \dot{\phi} + \gamma_2 \theta \dot{\psi}] dV ds
\end{aligned}$$

În următoarea teoremă dorim să demonstrăm imposibilitatea localizării soluțiilor în teoria cu dublă porozitate și microtemperaturi.

**Teorema 4.1.** *Fie  $(u_i, \phi, \psi, \theta, T_i)$  o soluție a problemei înapoi în timp (4.56.a) - (4.56.e) redusă la o problemă cu date inițiale, cu condițiile inițiale (4.26) și condițiile pe frontieră (4.27). Singura soluție a problemei considerate este soluția nulă  $u_i = \phi = \psi = \theta = T_i = 0$ .*

## 4.7 Estimarea spațială a mediilor cu dublă porozitate și microtemperaturi

Considerăm un cilindru prismatic semi-infinit  $B = D \times [0, \infty)$  care este ocupat de un corp cu structură de porozitate dublă și cu microtemperaturi. Cu  $D$  notăm secțiunea transversală în cilindru. Frontiera secțiunii este o curbă continuu diferențiabilă pe porțiuni notată cu  $\partial D$  pentru a permite aplicarea teoremei divergenței. Suprafața laterală a cilindrului este  $\Pi = \partial D \times (0, \infty)$ . Cilindrul este considerat a fi liber de sarcini pe suprafața laterală a frontierei.

Condițiile inițiale sunt:

$$u_i(\mathbf{x}, t) = 0; \phi(\mathbf{x}, t) = 0; \psi(\mathbf{x}, t) = 0; \theta(\mathbf{x}, t) = 0; T_i(\mathbf{x}, T) = 0; \quad (\mathbf{x}, t) \in \Pi \times (0, \infty) \quad (4.30)$$

#### 4.7. ESTIMAREA SPAȚIALĂ A MEDIILOR CU DUBLĂ POROZITATE ȘI MICROTEMPERATURIS3

Pe baza cilindrului se presupun următoarele condiții pe frontieră:

$$\begin{aligned} u_i(x_1, x_2, 0, t) &= \tilde{u}_i; \phi(x_1, x_2, 0, t) = \tilde{\phi}; \\ \psi(x_1, x_2, 0, t) &= \tilde{\psi}; \theta(x_1, x_2, 0, t) = \tilde{\theta}; T_i(x_1, x_2, 0, t) = \tilde{T}_i \end{aligned} \quad (4.31)$$

Pentru problema determinată de sistemul (4.5.a) - (4.5.e) cu condițiile inițiale (4.30) și condițiile pe frontieră (4.31) vom obține o alternativă Phragmen-Lindelof necesară pentru interpretarea comportamentului soluției problemei cu date pe frontieră. Scopul nostru în această secțiune este de a estima valoarea absolută a funcției definite  $H_\omega$  din (4.32) prin intermediul derivatelor spațiale.

Definim funcția:

$$\begin{aligned} H_\omega(z, t) &= \int_0^t \int_{D(z)} e^{-2\omega s} [C_{i3kl}u_{k,l} + B_{i3}\phi + D_{i3}\psi - \beta_{3i}\theta] \dot{u}_i dads + \\ &+ \int_0^t \int_{D(z)} e^{-2\omega s} [\alpha_{i3}\phi_{,i} + b_{i3}\psi_{,i} - N_{i3}T_i] \dot{\phi} dads + \\ &\int_0^t \int_{D(z)} e^{-2\omega s} [b_{3i}\phi_{,i} + \gamma_{i3}\psi_{,i} - M_{i3}T_i] \dot{\psi} dads + \\ &+ \int_0^t \int_{D(z)} e^{-2\omega s} \frac{1}{T_0} [\kappa_{i3}\theta_{,i} + L_{i3}T_i] \dot{\theta} dads + \\ &\int_0^t \int_{D(z)} e^{-2\omega s} (A_{3irs}T_{s,r} + R_{i3}T_i + \lambda_{ij}\theta_{,i}) T_i dads \end{aligned} \quad (4.32)$$

unde  $D(z) = \{\mathbf{X} \in B | x_3 = z\}$  reprezintă secțiunea transversală a cilindrului la o distanță  $z$  de la bază. Prin intermediul teoremei divergenței și prin utilizarea ecuațiilor de câmp, a condițiilor inițiale și pe frontieră, obținem:

$$H_\omega(z+h, t) - H_\omega(z, t) = \frac{1}{2} \int_{R(z+h, z)} \chi_\omega(t) dV, (\forall) h > 0 \quad (4.33)$$

unde  $R(z+h, z) = \{\mathbf{X} \in B | z < x_3 < z+h\}$ .

Energia internă este:

$$\begin{aligned} \Phi = & \rho \dot{u}_i \dot{u}_i + k_1 \dot{\phi}^2 + k_2 \dot{\psi}^2 + a\theta^2 + P_{ij} T_j T_j + C_{ijkl} u_{i,j} u_{k,l} + + 2B_{ij} u_{i,j} \phi + 2D_{ij} u_{i,j} \psi + \\ & + \alpha_{ij} \phi_{,i} \phi_{,j} + \gamma_{ij} \psi_{,i} \psi_{,j} + 2b_{ij} \phi_{,i} \phi_{,j} + \alpha_1 \phi^2 + \alpha_2 \psi^2 + 2\alpha_3 \phi \psi \end{aligned} \quad (4.34)$$

astfel încât

$$\begin{aligned} \chi_\omega(t) = & e^{-2\omega t} \Phi(t) + \int_0^t e^{-2\omega s} \left[ 2\omega \Phi(s) + 2 \frac{\kappa_{ij}}{T_0} \theta_{,i}(s) \theta_{,j}(s) + 2 \frac{L_{ij}}{T_0} \theta_{,i} T_j(s) \right. \\ & \left. + 2A_{ijrs} T_{s,r}(s) T_{i,j}(s) + 2R_{ij} T_i(s) T_j(s) + 2\lambda_{ij} \theta_{,i} T_j(s) \right] ds \end{aligned} \quad (4.35)$$

În continuare vom introduce următoarea estimare:

$$\begin{aligned} E_\omega(z, t) = & \frac{e^{-2\omega t}}{2} \int_{R(z)} \Phi(t) dz + \int_0^t \int_{R(z)} e^{-2\omega s} \left[ \omega \Phi(s) + \frac{1}{T_0} (\kappa_{ij} \theta_{,i} \theta_{,j} + L_{ij} T_i \theta_{,j}) \right. \\ & \left. + A_{ijrs} T_{i,j} T_{r,s} + R_{ij} T_i T_j + \lambda_{ij} T_i \theta_{,j} \right] dads \end{aligned} \quad (4.36)$$

unde  $R(z) = \{\mathbf{X} \in B \mid z < x_3\}$ . Observăm că:

$$E_\omega(z, t) \leq E_\omega(0, t) e^{-\frac{z}{c_\omega}}, z \geq 0 \quad (4.37)$$

Acum, putem trage următoarele concluzii: dacă  $(u_i, \phi, \psi, \theta, T_i)$  este o soluție a problemei înapoi în timp definită de sistemul (4.56.a)-(4.56.e) cu condiții inițiale nule (4.26) și condițiile pe frontieră (4.27) atunci există două situații: soluția satisface condiția asimptotică  $\lim_{z \rightarrow \infty} e^{-\frac{z}{c_\omega}} \int_{R(z)} \chi_\omega(t) dv > 0$  sau satisface estimarea descreșterii.



## Capitolul 5

# Vibrații armonice în dinamica termoelastică cu dublă porozitate

Comportamentul spațial al vibrațiilor armonice în timp în termoelasticitatea liniară clasică a fost studiat de Chirita în [9], evoluția spațială a vibrațiilor în contextul termoelasticității fără disiparea energiei pentru corpurile dipolare a fost studiată de Marin în [52], evoluția amplitudinii în cazul vibrațiilor armonice ale corpurilor micropolare a fost studiată de Marin în [53]. Comportarea în spațiu a soluțiilor problemei cu structură dublă de porozitate din punctul de vedere al imposibilității de localizare în timp a soluțiilor și al unei alternative Phragmen-Lindelof pentru un cilindru semi-infinit a fost studiat în [26].

În acest capitol vom considera un material termoelastic cu structură dublă de porozitate care este supus unei vibrații armonice în timp. Rezultatul principal constă în obținerea unei relații între amplitudine și distanța axială de la capătul stimulat al cilindrului. Deducem estimări apriori pentru amplitudinea unei vibrații armonice prin intermediul unor identități auxiliare, [10], [11]. Aceste estimări prezic o anumită descreștere în timp sau proprietăți de creștere pentru amplitudinea vibrațiilor armonice. Există clase de vibrații armonice pentru care descreșterea spațială în timp sau proprietățile de creștere sunt de tip exponențial.

Acest capitol este structurat după cum urmează. În secțiunea 2 sunt reamintite ecuațiile de bază și stabilim sistemul general pe care vrem să îl analizăm. În secțiunea 3 este considerat un cilindru prismatic format dintr-un material termo-elastic dublu poros care este supus unei vibrații armonice în timp. Sunt obținute unele identități auxiliare necesare pentru a dovedi rezultatul principal. În secțiunea 4 sunt demonstrate două legi de conservare care vor conduce la ultima teoremă privind estimarea amplitudinii vibrațiilor în starea de echilibru.

## 5.1 Ecuații de bază

Considerăm un corp care ocupă la un moment dat de timp o regiune regulată  $B$  a spațiului Euclidian tridimensional și care este delimitat de suprafața  $\partial B$ . Sistemul de axe cartezian este  $Ox_i$ , ( $i = 1, 2, 3$ ). Indicii latini urmați de virgulă reprezintă derivarea parțială în raport cu coordonatele carteziene și punctul deasupra literei reprezintă derivarea parțială în raport cu timpul.

În absența termenilor de alimentare, ecuația de evoluție care guvernează problema termoelasticității cu structură de porozitate dublă, este [54]:

$$\begin{aligned} t_{ji,j} &= \rho_0 \ddot{u}_i \\ \sigma_{j,j} + \xi &= k_1 \ddot{\phi} \\ \tau_{j,j} + \zeta &= k_2 \ddot{\psi} \end{aligned} \quad (5.1)$$

unde:  $\rho_0$  este densitatea de masă,  $k_1, k_2$  sunt coeficienții inerției echilibrate,  $\sigma_j, \tau_j$  sunt vectorii tensiune de echilibru,  $\xi, \zeta$  sunt forțele intrinseci de echilibru care acționează asupra corpului,  $t_{ij}$  sunt tensorii tensiune,  $u_i$  este deplasarea și  $\phi, \psi$  sunt câmpurile de volum fracționar din configurația de referință.

Ecuația energiei are forma, [54]:

$$\rho_0 T_0 \dot{\eta} = Q_{j,j} \quad (5.2)$$

unde  $T_0$  este temperatura absolută constantă a corpului din configurația de referință,  $\eta$  este entropia,  $Q_j$  este fluxul de căldură.

Considerăm ecuațiile constitutive ale teoriei liniare a materialelor centro-simetrice,

[54]:

$$\begin{aligned}
t_{ij} &= C_{ijkl}u_{k,l} + B_{ij}\phi + D_{ij}\psi - \beta_{ij}\theta \\
\sigma_i &= \alpha_{ij}\phi_{,j} + b_{ij}\psi_{,j} \\
\tau_i &= b_{ji}\phi_{,j} + \gamma_{ij}\psi_{,j} \\
\xi &= -B_{ij}u_{i,j} - \alpha_1\phi - \alpha_3\psi + \gamma_1\theta \\
\zeta &= -D_{ij}u_{i,j} - \alpha_3\phi - \alpha_2\psi + \gamma_2\theta \\
\rho_0\eta &= \beta_{ij}u_{i,j} + \gamma_1\phi + \gamma_2\psi + a\theta \\
Q_i &= \kappa_{ij}\theta_{,j}
\end{aligned} \tag{5.3}$$

unde  $\theta$  este diferența de temperatură în raport cu configurația de referință,  $\kappa_{ij}$  este tensorul de conductivitate termică,  $\beta_{ij}$  este tensorul de dilatație termică,  $C_{ijkl}$  este tensorul de elasticitate,  $B_{ij}$ ,  $D_{ij}$ ,  $\alpha_{ij}$ ,  $b_{ij}$ ,  $\gamma_{ij}$ ,  $\alpha_1$ ,  $\alpha_2$ ,  $\alpha_3$ ,  $\gamma_1$ ,  $\gamma_2$ ,  $a$  sunt coeficienții constitutivi care sunt funcții caracteristice pentru materialul considerat.

Ecuatiile constitutive sunt introduse în ecuațiile de evoluție. Sistemul de ecuații pentru termoelasticitatea cu porozitate dublă se obține prin introducerea ecuațiilor constitutive (5.3) în ecuațiile de evoluție (5.1):

$$\rho_0\ddot{u}_i = (C_{jikl}u_{k,l} + B_{ji}\phi + D_{ji}\psi - \beta_{ji}\theta)_{,j} \tag{5.4.a}$$

$$k_1\ddot{\phi} = (\alpha_{ij}\phi_{,i} + b_{ij}\psi_{,i})_{,j} - B_{ij}u_{i,j} - \alpha_1\phi - \alpha_3\psi + \gamma_1\theta \tag{5.4.b}$$

$$k_2\ddot{\psi} = (b_{ij}\phi_{,i} + \gamma_{ij}\psi_{,i})_{,j} - D_{ij}u_{i,j} - \alpha_3\phi - \alpha_2\psi + \gamma_2\theta \tag{5.4.c}$$

$$a\dot{\theta} = \frac{(\kappa_{ij}\theta_{,i})_{,j}}{T_0} - \beta_{ij}\dot{u}_{i,j} - \gamma_1\dot{\phi} - \gamma_2\dot{\psi} \tag{5.4.d*}$$

Considerăm o secțiune transversală  $B$  a unui cilindru prismatic și frontiera secțiunii  $\partial B$  presupusă a fi continuu deferențiabilă pe porțiuni. Centrul sistemului de coordonate este ales astfel încât să fie în centrul bazei cilindrului și vom considera că axa pozitivă  $x_3$  este de-a lungul cilindrului. Vom nota cu  $l$  lungimea cilindrului, în acest caz frontiera laterală a cilindrului este  $S = \partial B \times [0, l]$ . În interiorul cilindrului prismatic se află un mediu termoelastic care are o structură de porozitate dublă, omogenă și anizotropă. Forțele externe care acționează pe frontiera laterală a cilindrului sunt neglijate. Problema cu date pe frontieră care guvernează problema înapoi în timp, în cazul termoelasticității cu dublă porozitate este formată din sistemul de ecuații (5.4.a)-(5.4.d), unde ecuația (5.4.d\*) devine:

$$a\dot{\theta} = -\frac{(\kappa_{ij}\theta_{,i})_{,j}}{T_0} - \beta_{ij}\dot{u}_{i,j} - \gamma_1\dot{\phi} - \gamma_2\dot{\psi} \tag{5.4.d}$$

Completăm problema cu date pe frontieră pentru cilindrul considerat cu următoarele condiții pe frontieră  $\forall(x, t) \in S \times (0, \infty)$

$$u_i(x, t) = 0; \quad \phi(x, t) = 0; \quad \psi(x, t) = 0; \quad \theta(x, t) = 0 \quad (5.5)$$

Condițiile pe baza cilindrilor sunt considerate a fi armonice în timp  $\forall(x_1, x_2) \in B(0), t > 0$ :

$$\begin{aligned} u_i(x_1, x_2, 0, t) &= \tilde{u}_i(x_1, x_2)e^{i\omega t}; & \phi(x_1, x_2, 0, t) &= \tilde{\phi}(x_1, x_2)e^{i\omega t}; \\ \psi(x_1, x_2, 0, t) &= \tilde{\psi}(x_1, x_2)e^{i\omega t}; & \theta(x_1, x_2, 0, t) &= \tilde{\theta}(x_1, x_2)e^{i\omega t} \end{aligned} \quad (5.6)$$

unde  $\tilde{u}_i, \tilde{\phi}, \tilde{\psi}, \tilde{\theta}$  sunt funcții neede,  $i$  este unitatea complexă și  $\omega$  este o constantă pozitivă.

Se presupune că încărcările din (5.6) produc în interiorul cilindrilor vibrații armonice în timp având forma:

$$u_i(x_1, x_2, x_3, t) = U_i(x_1, x_2, x_3)e^{i\omega t}; \quad \phi(x_1, x_2, x_3, t) = \Phi(x_1, x_2, x_3)e^{i\omega t}; \quad (5.7)$$

$$\psi(x_1, x_2, x_3, t) = \Psi(x_1, x_2, x_3)e^{i\omega t}; \quad \theta(x_1, x_2, x_3, t) = T(x_1, x_2, x_3)e^{i\omega t};$$

unde  $(x_1, x_2, x_3, t) \in B \times (0, \infty)$ .

Amplitudinea vibrațiilor  $(U_i, \Phi, \Psi, T)$  satisface următorul sistem de ecuații diferențiale corespunzător problemei întoarcerii în timp, (5.4.q)-(5.4.d):

$$(C_{jikl}U_{k,l} + B_{ji}\Phi + D_{ji}\Psi - \beta_{ji}T)_{,j} + \rho_0 U_i \omega^2 = 0 \quad (5.8.a)$$

$$(\alpha_{ij}\Phi_{,i} + b_{ij}\Psi_{,i})_{,j} - B_{ij}U_{i,j} - \alpha_1\Phi - \alpha_3\Psi + \gamma_1 T + k_1\Phi\omega^2 = 0 \quad (5.8.b)$$

$$(b_{ij}\Phi_{,i} + \gamma_{ij}\Psi_{,i})_{,j} - D_{ij}U_{i,j} - \alpha_3\Phi - \alpha_2\Psi + \gamma_2 T + k_2\Psi\omega^2 = 0 \quad (5.8.c)$$

$$\frac{(\kappa_{ij}T_{,i})_{,j}}{T_0} + [\beta_{ij}U_{i,j} + \gamma_1\Phi + \gamma_2\Psi + aT]i\omega = 0 \quad (5.8.d)$$

Condițiile frontierei lateale pentru  $x \in S$  devin:

$$U_i(x) = \Phi(x) = \Psi(x) = T(x) = 0 \quad (5.9)$$

și condițiile pe baza cilindrilor când  $x_3 = 0$  și  $(x_1, x_2) \in B(0)$  devin:

$$\begin{aligned} U_i(x_1, x_2, 0) &= \tilde{U}_i(x_1, x_2); & \Phi(x_1, x_2, 0) &= \tilde{\Phi}(x_1, x_2); \\ \Psi(x_1, x_2, 0) &= \tilde{\Psi}(x_1, x_2); & T(x_1, x_2, 0) &= \tilde{T}(x_1, x_2); \end{aligned} \quad (5.10)$$

În continuare vom demonstra câteva estimări asupra soluției sistemului de ecuații (5.8.a)-(5.8.d) cu condițiile pe frontiera laterală (5.9) și condițiile pe baza cilindricului (5.10).

Complex conjugatele funcțiilor  $U_i, \Phi, \Psi, T$  se notează cu  $\overline{U}_i, \overline{\Phi}, \overline{\Psi}, \overline{T}$ .

## 5.2 Identități auxiliare și estimări a priori

În această secțiune vom deduce câteva rezultate necesare obținerii a două identități auxiliare care vor conduce la rezultatul principal al acestui capitol și anume estimarea amplitudinii vibrațiilor.

**Teorema 5.1.** *Fie  $(U_i, \Phi, \Psi, T)$  o soluție a problemei cu date pe frontieră determinată de sistemul de ecuații (5.8) cu condițiile pe frontieră (5.9). Atunci sunt îndeplinite relațiile :*

$$\begin{aligned}
 2 \int_{D(x_3)} [C_{ijkl} U_{k,l} \overline{U}_{i,j} + B_{ji} (\Phi \overline{U}_{i,j} + \overline{\Phi} U_{i,j}) + D_{ji} (\Psi \overline{U}_{i,j} + \overline{\Psi} U_{i,j}) - \rho_0 \omega^2 U_i \overline{U}_i \\
 + \left( \alpha_1 - \frac{1}{2} k_1 \omega^2 \right) \Phi \overline{\Phi} + \left( \alpha_2 - \frac{1}{2} k_2 \omega^2 \right) \Psi \overline{\Psi} + \alpha_{ij} \Phi_{,i} \overline{\Phi}_{,j} + b_{ij} \Psi_{,i} \overline{\Psi}_{,j} + \\
 + b_{ij} \overline{\Psi}_{,i} \Phi_{,j} + \gamma_{ij} \Psi_{,i} \overline{\Psi}_{,j} - \frac{1}{2} \beta_{ij} (T \overline{U}_{i,j} + \overline{T} U_{i,j}) + \alpha_3 (\Phi \overline{\Psi} + \overline{\Phi} \Psi) \\
 - \frac{1}{2} \gamma_1 (T \overline{\Phi} + \overline{T} \Phi) - \frac{1}{2} \gamma_2 (T \overline{\Psi} + \overline{T} \Psi) ] dA
 \end{aligned} \tag{5.11}$$

$$\begin{aligned}
&= \frac{d}{dx_3} \int_{D(x_3)} [(C_{j3kl}U_{k,l} + B_{j3}\Phi + D_{j3}\Psi - \beta_{j3}T)\bar{U}_j] dA \\
&\quad + \frac{d}{dx_3} \int_{D(x_3)} [(C_{j3kl}\bar{U}_{k,l} + B_{j3}\bar{\Phi} + D_{j3}\bar{\Psi} - \beta_{j3}\bar{T})U_j] dA \\
&+ \frac{d}{dx_3} \int_{D(x_3)} [(\alpha_{3j}\Phi_{,j} + b_{3j}\Psi_{,j})\bar{\Phi}] dA + \frac{d}{dx_3} \int_{D(x_3)} [(\alpha_{3j}\bar{\Phi}_{,j} + b_{3j}\bar{\Psi}_{,j})\Phi] dA \\
&+ \frac{d}{dx_3} \int_{D(x_3)} [(b_{3j}\Phi_{,j} + \gamma_{3j}\Psi_{,j})\bar{\Psi}] dA + \frac{d}{dx_3} \int_{D(x_3)} [(b_{3j}\bar{\Phi}_{,j} + \gamma_{3j}\bar{\Psi}_{,j})\Psi] dA \\
&\int_{D(x_3)} [\beta_{ji}(\bar{T}U_{i,j} - T\bar{U}_{i,j}) + \gamma_1(T\bar{\Phi} - \bar{T}\Phi) + \gamma_2(T\bar{\Psi} - \bar{T}\Psi)] dA \\
&= \frac{d}{dx_3} \int_{D(x_3)} [(C_{j3kl}U_{k,l} + B_{j3}\Phi + D_{j3}\Psi - \beta_{j3}T)\bar{U}_j] dA \quad (5.12)
\end{aligned}$$

$$\begin{aligned}
&\quad - \frac{d}{dx_3} \int_{D(x_3)} [(C_{j3kl}\bar{U}_{k,l} + B_{j3}\bar{\Phi} + D_{j3}\bar{\Psi} - \beta_{j3}\bar{T})U_j] dA \\
&+ \frac{d}{dx_3} \int_{D(x_3)} [(\alpha_{3j}\Phi_{,j} + b_{3j}\Psi_{,j})\bar{\Phi}] dA - \frac{d}{dx_3} \int_{D(x_3)} [(\alpha_{3j}\bar{\Phi}_{,j} + b_{3j}\bar{\Psi}_{,j})\Phi] dA \\
&+ \frac{d}{dx_3} \int_{D(x_3)} [(b_{3j}\Phi_{,j} + \gamma_{3j}\Psi_{,j})\bar{\Psi}] dA - \frac{d}{dx_3} \int_{D(x_3)} [(b_{3j}\bar{\Phi}_{,j} + \gamma_{3j}\bar{\Psi}_{,j})\Psi] dA
\end{aligned}$$

$$\begin{aligned}
&\int_{D(x_3)} \left[ 2\frac{\kappa_{ij}}{T_0}T_i\bar{T}_{,j} + i\omega\beta_{ij}(T\bar{U}_{i,j} - \bar{T}U_{i,j}) + i\omega\gamma_1(T\bar{\Phi} - \bar{\Phi}\bar{T}) + i\omega\gamma_2(T\bar{\Psi} - \bar{\Psi}\bar{T}) \right] dA \\
&= \frac{d}{dx_3} \int_{D(x_3)} \frac{\kappa_{3j}}{T_0}(T_{,j}\bar{T} + \bar{T}_{,j}T) dA \quad (5.13)
\end{aligned}$$

$$\begin{aligned}
& \int_{D(x_3)} [i\omega\beta_{ij}(T\bar{U}_{i,j} + \bar{T}U_{i,j}) + i\omega\gamma_1(T\bar{\Phi} + \bar{\Phi}T) + i\omega\gamma_2(T\bar{\Psi} + \bar{\Psi}T) + 2ai\omega T\bar{T}] dA \\
& = \frac{d}{dx_3} \int_{D(x_3)} \frac{\kappa_{3j}}{T_0} (\bar{T}_{,j}T - T_{,j}\bar{T}) dA
\end{aligned} \tag{5.14}$$

**Teorema 5.2.** Fie  $(U_i, \Phi, \Psi, T)$  o soluție a problemei cu date pe frontieră determinată de sistemul de ecuații (5.8), (5.9), (5.10). Atunci sunt satisfăcute identitățile auxiliare (5.15) și (5.16).

$$\begin{aligned}
& \int_{D(x_3)} \frac{1}{T_0} \kappa_{ij} T_{,i} \bar{T}_{,j} + i\omega x_m [\beta_{ij} (U_{i,j} \bar{T}_{,m} + \bar{U}_{i,j} T_{,m}) + \gamma_1 (\Phi \bar{T}_{,m} + \bar{\Phi} T_{,m})] + \\
& + i\omega x_m [\gamma_2 (\Psi \bar{T}_{,m} + \bar{\Psi} T_{,m}) + a (T \bar{T}_{,m} + \bar{T} T_{,m})] dA = \\
& = -\frac{d}{dx_3} \int_{D(x_3)} \frac{1}{T_0} [x_m \kappa_{3j} (T_{,j} \bar{T}_{,m} + \bar{T}_{,j} T_{,m}) - \kappa_{ij} x_3 T_{,i} \bar{T}_{,j}] dA + \\
& + \int_{\partial D(x_3)} \kappa_{\delta\lambda} x_m \frac{1}{T_0} \frac{\partial T}{\partial n} \frac{\partial \bar{T}}{\partial n} n_\delta n_\lambda ds
\end{aligned} \tag{5.15}$$

$$\begin{aligned}
& \int_{D(x_3)} (C_{jikl} U_{k,l} + B_{ij} \Phi + D_{ij} \Psi - \beta_{ji} T) \bar{U}_{i,j} + (\alpha_{ij} \Phi_{,i} + b_{ij} \Psi_{,i}) \bar{\Phi}_{,j} \\
& + (B_{ij} U_{i,j} + \alpha_1 \Phi + \alpha_3 \Psi + \gamma_1 T - k_2 \omega^2 \Phi) \bar{\Phi} + (b_{ij} \Phi_{,i} + \gamma_{ij} \Psi_{,i}) \bar{\Psi}_{,j} \\
& + (D_{ij} U_{i,j} + \alpha_3 \Phi + \alpha_2 \Psi - \gamma_2 T - k_2 \omega^2 \Psi) \bar{\Psi} + \beta_{ji} \bar{T} U_{i,j} dA \\
& + \int_{D(x_3)} x_m [\beta_{ji} (\bar{T}_{,m} U_{i,j} - T_{,m} \bar{U}_{i,j}) + \gamma_1 (T_{,m} \bar{\Phi} + \bar{T} \Phi_{,m}) \\
& + \gamma_2 (\bar{T} \Psi_{,m} - T_{,m} \bar{\Psi}) - \rho_0 \omega^2 (U_{i,m} \bar{U}_i + \bar{U}_{i,m} U_i)] dA \\
& = -\frac{d}{dx_3} \int_{D(x_3)} [(C_{j3kl} U_{k,l} + B_{j3} \Phi + D_{j3} \Psi - \beta_{j3} T) x_m \bar{U}_{j,m}
\end{aligned}$$

(5.16)

$$\begin{aligned}
& + (C_{j3kl}\bar{U}_{k,l} + B_{j3}\bar{\Phi} + D_{j3}\bar{\Psi} - \beta_{j3}T)x_m U_{j,m}]dA \\
& - \frac{d}{dx_3} \int_{D(x_3)} [(\alpha_{3j}\bar{\Phi}_{,j} + b_{3j}\bar{\Psi}_{,j})x_m \bar{\Phi}_{,m} + (\alpha_{3j}\bar{\Phi}_{,j} + b_{3j}\bar{\Psi}_{,j})x_m \bar{\Phi}_{,m}]dA \\
& - \frac{d}{dx_3} \int_{D(x_3)} [(b_{3j}\bar{\Phi}_{,j} + \gamma_{3j}\bar{\Psi}_{,j})x_m \bar{\Psi}_{,m} + (b_{3j}\bar{\Phi}_{,j} + \gamma_{3j}\bar{\Psi}_{,j})x_m \bar{\Psi}_{,m}]dA \\
& + \frac{d}{dx_3} \int_{D(x_3)} x_3 [(C_{jikl}U_{k,l} + B_{ij}\bar{\Phi} + D_{ij}\bar{\Psi} - \beta_{ji}T)\bar{U}_{i,j} - 2\rho_0\omega^2 U_i \bar{U}_i \\
& \quad + (B_{ij}U_{i,j} + \alpha_1\bar{\Phi} + \alpha_3\bar{\Psi} + \gamma_1 T + k_1\omega^2\bar{\Phi})\bar{\Phi} \\
& \quad + (D_{ij}U_{i,j} + \alpha_3\bar{\Phi} + \alpha_2\bar{\Psi} - \gamma_2 T - k_2\omega^2\bar{\Psi})\bar{\Psi} \\
& \quad + (\alpha_{ij}\bar{\Phi}_{,i} + b_{ij}\bar{\Psi}_{,i})\bar{\Phi}_{,j} + (b_{ij}\bar{\Phi}_{,i} + \gamma_{ij}\bar{\Psi}_{,i})\bar{\Psi}_{,j} + \beta_{ji}T U_{i,j}]dA \\
& + \int_{\partial D(x_3)} x_m n_m \left[ C_{\delta i \lambda l} \frac{\partial U_k}{\partial n} \frac{\partial \bar{U}_i}{\partial n} + \alpha_{\delta \lambda} \frac{\partial \Phi}{\partial n} \frac{\partial \bar{\Phi}}{\partial n} + b_{\delta \lambda} \left( \frac{\partial \Psi}{\partial n} \frac{\partial \bar{\Phi}}{\partial n} + \frac{\partial \Phi}{\partial n} \frac{\partial \bar{\Psi}}{\partial n} \right) + \right. \\
& \quad \left. + \gamma_{\delta \lambda} \frac{\partial \Psi}{\partial n} \frac{\partial \bar{\Psi}}{\partial n} \right] n_\delta n_\lambda ds
\end{aligned}$$

### 5.3 Estimarea amplitudinii

În această secțiune sunt demonstrate două legi de conservare necesare ultimelor rezultate ale acestui capitol privind estimarea amplitudinii vibrațiilor în starea de echilibru.

**Teorema 5.3.** *Fie  $(U_i, \Phi, \Psi, T)$  o soluție a problemei cu date pe frontieră (5.8.a)-(5.8.d), (5.9), (5.10). Următoarele legi de conservare sunt obținute:*



$$\begin{aligned}
& \frac{d}{dx_3} \int_{D(x_3)} [\rho_0 \omega^2 U_i \bar{U}_i + (k_1 \omega^2 - \alpha_1) \Phi \bar{\Phi} + (k_2 \omega^2 - \alpha_2) \Psi \bar{\Psi} + \alpha_3 (\Phi \bar{\Psi} + \bar{\Phi} \Psi) \\
& + \gamma_2 (T \bar{\Psi} + \bar{T} \Psi) - \gamma_1 (T \bar{\Phi} + \bar{T} \Phi) + \frac{i}{\omega} \frac{1}{T_0} (\kappa_{33} T_{,3} \bar{T}_{,3} - \kappa_{\alpha\beta} T_{,\alpha} \bar{T}_{,\beta} + i \omega a T \bar{T}) \\
& + C_{i3k3} U_{i,3} \bar{U}_{k,3} - C_{i\delta k\lambda} U_{i,\delta} \bar{U}_{k,\lambda} + \beta_{i\delta} (T \bar{U}_{i,\delta} + \bar{T} U_{i,\delta} - B_{i\delta} (\Phi \bar{U}_{i,\delta} + \bar{\Phi} U_{i,\delta}) \\
& - D_{i\delta} (\Psi \bar{U}_{i,\delta} + \bar{\Psi} U_{i,\delta}) + \alpha_{33} \Phi_{,3} \bar{\Phi}_{,3} - \alpha_{a\lambda} \Phi_{,a} \bar{\Phi}_{,\lambda} + \gamma_{33} \Psi_{,3} \bar{\Psi}_{,3} - \gamma_{a\lambda} \Psi_{,a} \bar{\Psi}_{,\lambda} \\
& - b_{33} (\Psi_{,3} \bar{\Phi}_{,3} + \bar{\Psi}_{,3} \Phi_{,3}) - b_{i\delta} (\Psi_{,i} \bar{\Phi}_{,\delta} + \bar{\Psi}_{,i} \Phi_{,\delta})] dA \\
& \qquad \qquad \qquad (5.17) \\
& = -2 \int_{D(x_3)} (\beta_{ij} \bar{T}_{,3} U_{i,j} + \gamma_1 \bar{T}_{,3} \Phi + \gamma_2 \bar{T}_{,3} \Psi) dA - \int_{D(x_3)} b_{ij} (\Psi_{,3} \bar{\Phi}_{,i} + \bar{\Psi}_{,3} \Phi_{,i}) dA \\
& \qquad \qquad \qquad 2 \int_{D(x_3)} T (\beta_{ij} \bar{U}_{i,j} + \gamma_1 \bar{\Phi} + \gamma_2 \bar{\Psi} + a \omega \bar{T}) dA = \\
& = \frac{d}{dx_3} \int_{D(x_3)} [(C_{j3kl} U_{k,l} + B_{j3} \Phi + D_{j3} \Psi - \beta_{j3} T) \bar{U}_j] dA \\
& \qquad \qquad \qquad + \frac{d}{dx_3} \int_{D(x_3)} [(\alpha_{3j} \Phi_{,j} + b_{3j} \Psi_{,j}) \bar{\Phi}] dA - \\
& \qquad \qquad \qquad - \frac{d}{dx_3} \int_{D(x_3)} [(\alpha_{3j} \bar{\Phi}_{,j} + b_{3j} \bar{\Psi}_{,j}) \Phi] dA \\
& \qquad \qquad \qquad + \frac{d}{dx_3} \int_{D(x_3)} [(b_{3j} \Phi_{,j} + \gamma_{3j} \Psi_{,j}) \bar{\Psi}] dA - \\
& \qquad \qquad \qquad - \frac{d}{dx_3} \int_{D(x_3)} [(b_{3j} \bar{\Phi}_{,j} + \gamma_{3j} \bar{\Psi}_{,j}) \Psi] dA \\
& - \frac{d}{dx_3} \int_{D(x_3)} [(C_{j3ki} \bar{U}_{k,l} + B_{j3} \bar{\Phi} + D_{j3} \bar{\Psi} - \beta_{j3} \bar{T}) U_j] dA + \\
& \qquad \qquad \qquad + \frac{1}{i\omega} \frac{d}{dx_3} \int_{D(x_3)} \frac{\kappa_{3j}}{T_0} (\bar{T}_{,j} T - T_{,j} \bar{T}) dA \\
& \qquad \qquad \qquad (5.18)
\end{aligned}$$

Pentru a obține o anumită măsură asociată soluției  $(U_i, \Phi, \Psi, T)$  a problemei întoarcerii în timp (5.8.a)-(5.8.d) cu condițiile pe frontiera laterală (5.9) și condițiile

pe baza cilindrului (5.10), necesară pentru obținerea unei estimări adecvate care să descrie evoluția spațială a amplitudinii  $(U_i, \Phi, \Psi, T)$ , următoarea teoremă va fi demonstrată.

**Teorema 5.4.** *Dacă se consideră că soluția problemei întoarcerii în timp cu date pe frontieră (5.8.a)-(5.8.d), (5.9) și (5.10) este  $(U_i, \Phi, \Psi, T)$  atunci următoarea egalitate este îndeplinită:*

$$\begin{aligned}
& \int_{D(x_3)} [\beta_{ji}(T\bar{U}_{i,j} - \bar{T}U_{i,j}) - \gamma_1 T\bar{\Phi} + \gamma_2 T\bar{\Psi} + k_2\omega^2(\Phi\bar{\Phi} + \Psi\bar{\Psi}) - \\
& \quad - \omega^2(\rho_0 U_i\bar{U}_i + \frac{k_1}{2}\Phi\bar{\Phi} + \frac{k_2}{2}\Psi\bar{\Psi}) + 2aT\bar{T}] dA \\
& - \int_{D(x_3)} x_m [\beta_{ji}(\bar{T}_{,m}U_{i,j} - T_{,m}\bar{U}_{i,j}) + \gamma_1(T_{,m}\bar{\Phi} + \bar{T}\Phi_{,m}) + \gamma_2(\bar{T}\Psi_{,m} - T_{,m}\bar{\Psi}) - \\
& \quad - \rho_0\omega^2(U_{i,m}\bar{U}_i + \bar{U}_{i,m}U_i)] dA \\
& - \int_{\partial D(x_3)} x_m n_m \left[ C_{\delta i \lambda l} \frac{\partial U_l}{\partial n} \frac{\partial \bar{U}_i}{\partial n} + \alpha_{\delta \lambda} \frac{\partial \Phi}{\partial n} \frac{\partial \bar{\Phi}}{\partial n} + b_{\delta \lambda} \left( \frac{\partial \Psi}{\partial n} \frac{\partial \bar{\Phi}}{\partial n} + \right. \right. \\
& \quad \left. \left. + \frac{\partial \Phi}{\partial n} \frac{\partial \bar{\Psi}}{\partial n} \right) + \gamma_{\delta \lambda} \frac{\partial \Psi}{\partial n} \frac{\partial \bar{\Psi}}{\partial n} \right] n_{\delta} n_{\lambda} ds \\
& = -\frac{d}{dx_3} \int_{D(x_3)} [(C_{j3ki}U_{k,l} + B_{j3}\bar{\Phi} + D_{j3}\bar{\Psi} - \beta_{j3}T)x_m\bar{U}_{j,m} + (C_{j3kl}\bar{U}_{k,l} + \\
& \quad + B_{j3}\bar{\Phi} + D_{j3}\bar{\Psi} - \beta_{j3}T)x_m U_{j,m}] dA - \\
& - \frac{d}{dx_3} \int_{D(x_3)} [(\alpha_{3j}\bar{\Phi}_{,j} + b_{3j}\bar{\Psi}_{,j})x_m\bar{\Phi}_{,m} + (\alpha_{3j}\bar{\Phi}_{,j} + b_{3j}\bar{\Psi}_{,j})x_m\bar{\Phi}_{,m}] dA \\
& - \frac{d}{dx_3} \int_{D(x_3)} [(b_{3j}\bar{\Phi}_{,j} + \gamma_{3j}\bar{\Psi}_{,j})x_m\bar{\Psi}_{,m} + (b_{3j}\bar{\Phi}_{,j} + \gamma_{3j}\bar{\Psi}_{,j})x_m\bar{\Psi}_{,m}] dA \\
& + \frac{d}{dx_3} \int_{D(x_3)} x_3 [(C_{j i k l} U_{k,l} + B_{ij}\bar{\Phi} + D_{ij}\bar{\Psi} - \beta_{ij}T)\bar{U}_{i,j} - \\
& - 2\rho_0\omega^2 U_i\bar{U}_i + (B_{ij}U_{i,j} + \alpha_1\bar{\Phi} + \alpha_3\bar{\Psi} + \gamma_1 T + k_1\omega^2\bar{\Phi})\bar{\Phi} \\
& + (D_{ij}U_{i,j} + \alpha_3\bar{\Phi} + \alpha_2\bar{\Psi} - \gamma_2 T - k_2\omega^2\bar{\Psi})\bar{\Psi} + (\alpha_{ij}\bar{\Phi}_{,i} + \\
& + b_{ij}\bar{\Psi}_{,i})\bar{\Phi}_{,j} + (b_{ij}\bar{\Phi}_{,i} + \gamma_{ij}\bar{\Psi}_{,i})\bar{\Psi}_{,j} + \beta_{ji}\bar{T}U_{i,j}] dA
\end{aligned} \tag{5.19}$$

$$\begin{aligned}
& + \frac{d}{dx_3} \int_{D(x_3)} [(C_{ijkl}U_{k,l} + B_{j3}\Phi + D_{j3}\Psi - \beta_{j3}T)\bar{U}_j] dA + \\
& + \frac{d}{dx_3} \int_{D(x_3)} [(C_{ijkl}\bar{U}_{k,l} + B_{j3}\bar{\Phi} + D_{j3}\bar{\Psi} - \beta_{j3}\bar{T})U_j] dA \\
& + \frac{d}{dx_3} \int_{D(x_3)} [(\alpha_{3j}\Phi_{,j} + b_{3j}\Psi_{,j})\bar{\Phi}] dA + \\
& + \frac{d}{dx_3} \int_{D(x_3)} [(\alpha_{3j}\bar{\Phi}_{,j} + b_{3j}\bar{\Psi}_{,j})\Phi] dA \\
& + \frac{d}{dx_3} \int_{D(x_3)} [(b_{3j}\Phi_{,j} + \gamma_{3j}\Psi_{,j})\bar{\Psi}] dA + \\
& + \frac{d}{dx_3} \int_{D(x_3)} [(b_{3j}\bar{\Phi}_{,j} + \gamma_{3j}\bar{\Psi}_{,j})\Psi] dA - \frac{i}{\omega} \frac{d}{dx_3} \int_{D(x_3)} \frac{\kappa_{3j}}{T_0} (\bar{T}_{,j}T - T_{,j}\bar{T}) dA
\end{aligned}$$

Din estimarea obținută în teorema 4, evoluția spațială a problemei mixte poate fi demonstrată. Prin urmare, se poate deduce următoarea inegalitate:

$$\begin{aligned}
0 \leq \int_{\partial D(x_3)} x_m n_m \left[ C_{\delta i \lambda l} \frac{\partial U_l}{\partial n} \frac{\partial \bar{U}_i}{\partial n} + \alpha_{\delta \lambda} \frac{\partial \Phi}{\partial n} \frac{\partial \bar{\Phi}}{\partial n} + b_{\delta \lambda} \left( \frac{\partial \Psi}{\partial n} \frac{\partial \bar{\Phi}}{\partial n} + \frac{\partial \Phi}{\partial n} \frac{\partial \bar{\Psi}}{\partial n} \right) + \right. \\
\left. + \gamma_{\delta \lambda} \frac{\partial \Psi}{\partial n} \frac{\partial \bar{\Psi}}{\partial n} \right] n_\delta n_\lambda ds \\
\leq A \cdot B \int_{\partial D(x_3)} \left( \frac{\partial U_l}{\partial n} \frac{\partial \bar{U}_i}{\partial n} + \frac{\partial \Phi}{\partial n} \frac{\partial \bar{\Phi}}{\partial n} + \frac{\partial \Psi}{\partial n} \frac{\partial \bar{\Psi}}{\partial n} \right) ds
\end{aligned}$$

$$\text{unde } A = \sup_{(x_1, x_2) \in \partial D} \sqrt{x_1^2 + x_2^2},$$

$B = \sqrt{C_{\delta i \lambda l} \cdot C_{\delta i \lambda l} + \alpha_{\delta \lambda} \cdot \alpha_{\delta \lambda} + b_{\delta \lambda} \cdot b_{\delta \lambda} + \gamma_{\delta \lambda} \cdot \gamma_{\delta \lambda}}$ . Valoarea critică pentru frecvența vibrațiilor este dată de inegalitatea  $\omega > \omega^*$ , unde

$$\omega^* = \frac{1}{\rho_0} A \cdot B \max_{x_3 \in [0, l]} \frac{\int_{\partial D(x_3)} \left( \frac{\partial U_l}{\partial n} \frac{\partial \bar{U}_i}{\partial n} + \frac{\partial \Phi}{\partial n} \frac{\partial \bar{\Phi}}{\partial n} + \frac{\partial \Psi}{\partial n} \frac{\partial \bar{\Psi}}{\partial n} \right) ds}{\int_{D(x_3)} (U_l \bar{U}_l + \Phi \bar{\Phi} + \Psi \bar{\Psi}) ds}$$



## Capitolul 6

# Aplicații ale mediilor poroase în medicină

### 6.1 Comportamentul mecanic și modelarea matematică a unui disc intervertebral

Considerăm  $(r, \theta, z)$  coordonatele cilindrice ale unui punct specific din corpul vertebral. Vom nota cu  $(\varepsilon_{rr}, \varepsilon_{\theta\theta}, \varepsilon_{zz}, \varepsilon_{\theta z}, \varepsilon_{rz}, \varepsilon_{r\theta})$  componentele tensorului de deformare și cu  $(\tau_{rr}, \tau_{\theta\theta}, \tau_{zz}, \tau_{\theta z}, \tau_{rz}, \tau_{r\theta})$  componentele tensorului tensiune. Dacă corpul vertebral este în echilibru, atunci  $\tau_{ij} = \tau_{ji}$ .

### 6.1.1 Ecuții de bază

Luând în considerare proprietățile anizotrope și materialul de amortizare a țesutului, ecuațiile constitutive ale corpului vertebral sunt [60]:

$$\begin{aligned}
 \tau_{rr} &= C_{11} \frac{\partial \varepsilon_{rr}}{\partial t} + C_{12} \frac{\partial \varepsilon_{\theta\theta}}{\partial t} + C_{13} \frac{\partial \varepsilon_{zz}}{\partial t} \\
 \tau_{\theta\theta} &= C_{12} \frac{\partial \varepsilon_{rr}}{\partial t} + C_{11} \frac{\partial \varepsilon_{\theta\theta}}{\partial t} + C_{13} \frac{\partial \varepsilon_{zz}}{\partial t} \\
 \tau_{zz} &= C_{13} \frac{\partial \varepsilon_{rr}}{\partial t} + C_{13} \frac{\partial \varepsilon_{\theta\theta}}{\partial t} + C_{33} \frac{\partial \varepsilon_{zz}}{\partial t} \\
 \tau_{\theta z} &= C_{55} \frac{\partial \varepsilon_{\theta z}}{\partial t} \\
 \tau_{rz} &= C_{55} \frac{\partial \varepsilon_{rz}}{\partial t} \\
 \tau_{r\theta} &= C_{66} \frac{\partial \varepsilon_{r\theta}}{\partial t} = \frac{C_{11} - C_{12}}{6} \frac{\partial \varepsilon_{r\theta}}{\partial t}.
 \end{aligned} \tag{6.1}$$

Considerăm că inelul intervertebral se află sub acțiunea unui moment  $M = e^{i\omega t}$ . Astfel, componentele deplasărilor elastice vor fi:

$$\begin{aligned}
 U_m(r, \theta, t) &= [u_1(r) + u_2(\theta)]e^{i\omega t} \\
 V_m(r, \theta, t) &= [v_1(r) + v_2(\theta)]e^{i\omega t} \\
 W_m(r, \theta, t) &= [w_1(r) + w_2(\theta)]e^{i\omega t}
 \end{aligned} \tag{6.2}$$

unde,  $U_m$  este componenta deplasării elastice de-a lungul direcției radiale,  $V_m$  este componenta deplasării elastice de-a lungul direcției transversale și  $W_m$  este componenta deplasării elastice de-a lungul direcției axiale.

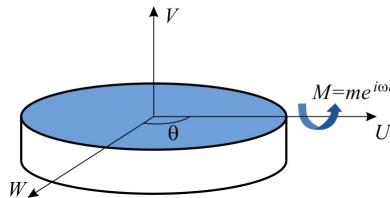


Figura 6.1: Modelul unui disc intervertebral acționat de un moment

Ecuțiile de mișcare în coordonate polare vor avea acum următoarea formă:

$$\left[ C_{11} \frac{\partial^2 u_1}{\partial r^2} - \frac{C_{12}}{r^2} \left( \frac{\partial v_2}{\partial \theta} + u_1(r) + u_2(\theta) \right) + \frac{C_{12}}{r} \frac{\partial u_1}{\partial r} + \frac{C_{12}}{2r^2} \left( \frac{\partial^2 u_2}{\partial \theta^2} - \frac{\partial v_2}{\partial \theta} \right) + \right. \\ \left. + \frac{C_{12} - C_{11}}{r^2} \left( \frac{\partial v_2}{\partial \theta} + u_1(r) + u_2(\theta) \right) \right] i\omega = -\rho\omega^2 (u_1(r) + u_2(\theta)) \quad (6.3)$$

$$\left\{ \frac{C_{11} - C_{12}}{2} \left[ -\frac{1}{r^2} \left( \frac{\partial u_2}{\partial \theta} - v_1(r) - v_2(\theta) \right) - \frac{1}{r} \frac{\partial v_1}{\partial r} + \frac{\partial^2 v_1}{\partial r^2} \right] + \frac{1}{r} \left[ C_{11} \frac{1}{r} \left( \frac{\partial^2 v_2}{\partial \theta^2} + \frac{\partial u_2}{\partial \theta} \right) + \right. \right. \\ \left. \left. + (C_{11} - C_{12}) \left[ \frac{1}{r} \left( \frac{\partial u_2}{\partial \theta} - v_1(r) - v_2(\theta) \right) + \frac{\partial v_1}{\partial r} \right] \right] \right\} i\omega = -\rho\omega^2 (v_1(r) + v_2(\theta)) \quad (6.4)$$

$$\left[ C_{55} \frac{\partial^2 w_1}{\partial r^2} + \frac{1}{r} \left( C_{55} \frac{1}{r} \frac{\partial^2 w_2}{\partial \theta^2} + C_{55} \frac{\partial w_1}{\partial r} \right) \right] i\omega = -\rho\omega^2 (w_1(r) + w_2(\theta)) \quad (6.5)$$

### 6.1.2 Modelul matematic al comportării dinamice a discului intervertebral

În sistemul format de ecuațiile (6.3), (6.4), (6.5) vom considera că:  $u_1(r) = A \cdot e^\theta$ ,  $v_1(r) = B \cdot e^\theta$ ;  $w_1(r) = C \cdot e^\theta$  cu  $A, B, C$  parametrii reali. Noua formă a sistemului va fi:

$$\begin{aligned} & -\frac{C_{12}}{r^2} \left( \frac{\partial v_2}{\partial \theta} + Ae^\theta + u_2(\theta) \right) + \frac{C_{11} - C_{12}}{2r^2} \\ & \left( \frac{\partial^2 u_2}{\partial \theta^2} - \frac{\partial v_2}{\partial \theta} \right) + \frac{C_{12} - C_{11}}{r^2} \left( \frac{\partial v_2}{\partial \theta} + Ae^\theta + u_2(\theta) \right) - \rho i\omega \left( Ae^\theta + u_2(\theta) \right) = 0 \\ & -\frac{C_{11} - C_{12}}{2r^2} \left( \frac{\partial u_2}{\partial \theta} - Be^\theta - v_2(\theta) \right) + \\ & (6.6) \\ & + \frac{1}{r} \left[ \frac{C_{11}}{r} \left( \frac{\partial^2 v_2}{\partial \theta^2} + \frac{\partial u_2}{\partial \theta} \right) + \frac{C_{11} - C_{12}}{r} \left( \frac{\partial u_2}{\partial \theta} - Be^\theta - v_2(\theta) \right) \right] - \rho i\omega \left( Be^\theta + v_2(\theta) \right) = 0 \\ & \frac{C_{55}}{r^2} \frac{\partial^2 w_2}{\partial \theta^2} - \rho i\omega \left[ Ce^\theta + w_2(\theta) \right] = 0. \end{aligned}$$

Componenta deplasării elastice de-a lungul direcției axiale este:

$$W_m(r, \theta, t) = \left( C e^{\theta} - \frac{\beta}{1 + \alpha^2} \cos \alpha \theta - \frac{\beta}{\alpha(1 + \alpha^2)} \sin \alpha \theta + \sin \alpha \theta + \frac{\beta}{1 + \alpha^2} e^{\theta} \right) e^{i\omega t}. \quad (6.7)$$

Primele două ecuații conduc la următorul sistem:

$$\begin{aligned} \frac{C_{12} - 3C_{11}}{2r^2} \frac{\partial v_2}{\partial \theta} + \frac{C_{11} - C_{12}}{2r^2} \frac{\partial^2 u_2}{\partial \theta^2} + u_2(\theta) \left( \frac{C_{11} - 2C_{12}}{r^2} - \rho i\omega \right) + A e^{\theta} \left( -\frac{C_{11}}{r^2} - \rho i\omega \right) &= 0 \\ -\frac{C_{12} - 3C_{11}}{2r^2} \frac{\partial u_2}{\partial \theta} + \frac{C_{11}}{r^2} \frac{\partial^2 v_2}{\partial \theta^2} + v_2(\theta) \left( \frac{-C_{11} + C_{12}}{r^2} - \rho i\omega \right) + B e^{\theta} \left( \frac{-C_{11} + C_{12}}{2r^2} - \rho i\omega \right) &= 0. \end{aligned} \quad (6.8)$$

Sistemul de mai sus va fi rezolvat utilizând transformata Laplace cu condițiile inițiale nule:

$$v_2(0) = v_2'(0) = 0; u_2(0) = u_2'(0) = 0.$$

Folosind inversa transformatei Laplace obținem soluția generală a componentei elastice de-a lungul direcției radiale și transversale.

### 6.1.3 Rezultate numerice

Coefficienții de rigiditate  $C_{\alpha\beta}$  (în GPa) pentru oasele umane au fost obținuți de Van Buskirk & Asman, [71] prin măsurarea proprietăților elastice ale osului anizotrop, folosind tehnici de propagare a undelor ultrasonice:

$$C_{11} = 20, C_{22} = 21.7, C_{33} = 30, C_{44} = 6.56, C_{55} = 5.85, C_{66} = 4.74, \\ C_{12} = 10.9, C_{13} = 11.5, C_{23} = 11.5.$$

Folosind analiza numerică în Matlab și a mediului Simulink au fost obținute profilele deplasării elastice de-a lungul direcției axiale, respectiv radiale.



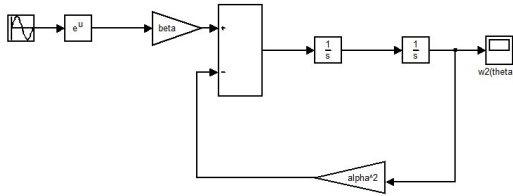


Figura 6.2: Schema Simulink pentru deplasarea elastică de-a lungul direcției axiale  $w_m$

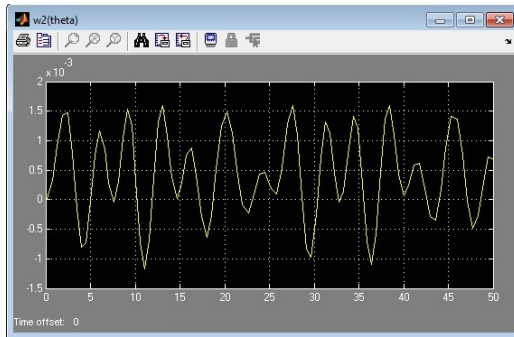


Figura 6.3: Variația deplasării elastice de-a lungul direcției axiale  $w_m$ .

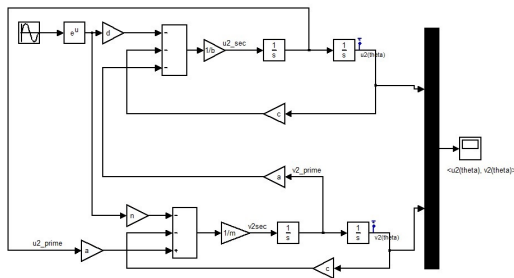


Figura 6.4: Schema Simulink pentru  $u_m$  și  $w_m$

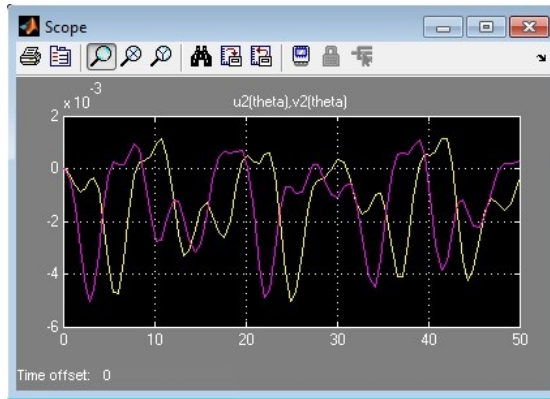


Figura 6.5: Variația deplasării elastice de-a lungul direcției radiale  $w_m$

În această secțiune a fost dezvoltat un studiu asupra dinamicii discurilor intervertebrale. Principalele trei proprietăți ale osului, precum rezistența materialului, anizotropia și neomogenitatea au fost luate în considerare. A fost abordată vibrația torsională a unui inel intervertebral sub acțiunea unui moment. Utilizând metoda transformatei Laplace s-a obținut soluția generală a componentelor deplasărilor elastice de-a lungul direcțiilor radiale, transversale și axiale. Utilizând mediul Simulink din cadrul pachetului de simulare numerică Matlab au fost reprezentate grafic soluțiile sistemului.

## 6.2 Modelarea matematică a micro deplasărilor interfragmentare într-o fractură de femur

Încă din 1960, s-a arătat că apariția structurilor osoase de vindecare a fracturilor depinde de sarcina mecanică, [63]. Există studii importante privind direcția micilor mișcări în fracturi care prezintă avantajele direcției axiale. De asemenea, este prezentată influența negativă a microdeplasărilor de torsiune și de forfecare în focalizarea fracturilor, chiar dacă există o corelație cu amplitudinile lor în raport cu cele care favorizează vindecarea, [2], [3], [67].

### 6.2.1 Modelări ale microrotațiilor și microdeplasărilor în fractură

Pe baza [46] osul poate fi considerat ca un material elastic micropolar. Ecuatiile constitutive [17] în cazul izotrop sunt:

$$\begin{aligned} t_{kl} &= \lambda \varepsilon_{rr} \delta_{kl} + (2\mu + \kappa) \varepsilon_{kl} + \kappa \varepsilon_{klm} (r_m - \phi_m) \\ m_{kl} &= \alpha \phi_{r,r} \delta_{kl} + \beta \phi_{k,l} + \gamma \phi_{l,k} \\ \varepsilon_{kl} &= \frac{1}{2} (u_{k,l} + u_{l,k}) \\ r_k &= \frac{1}{2} \varepsilon_{klm} u_{m,k} \end{aligned} \quad (6.9)$$

unde:  $t_{kl}$  este tensorul de tensiune asimetric,  $m_{kl}$  este tensiunea de cuplu,  $\varepsilon_{kl}$  este deformarea mică,  $u$  este deplasarea,  $\phi$  este microrotația,  $r$  este macrorotația,  $\varepsilon_{klm}$  este tensorul Ricci.

Pentru studiul solidelor elastice în trei dimensiuni, sunt necesare câteva constante elastice:  $\lambda, \mu, \alpha, \beta, \gamma, \kappa$ .

Ecuatiile de mișcare sunt, [17]:

$$\begin{aligned} (\lambda + \mu) u_{l,lk} + (\mu + \kappa) u_{k,ll} + \kappa \varepsilon_{klm} \phi_{m,l} + \rho f_k &= \rho \ddot{u}_k \\ (\alpha + \beta) \phi_{l,lk} + \gamma \phi_{k,ll} + \kappa \varepsilon_{klm} u_{m,l} - 2\kappa \phi_k + \rho l_k &= \rho j \ddot{\phi}_k \end{aligned} \quad (6.10)$$

În teoria liniară  $\rho$  și  $j$  sunt considerate constante, iar accelerațiile  $\ddot{u}_k$  și  $\ddot{\phi}_k$  reprezintă derivatele de ordinul al doilea ale deplasării și microrotației în raport cu timpul,  $f_k$  este forța ce acționează asupra corpului, iar  $l_k$  este momentul.

Vom considera în cele ce urmează un corp omogen izotrop care ocupă regiunea finită  $0 \leq x \leq l$  unde  $l$  este lungimea părții superioare a osului fracturat.

Vom studia cazul unu dimensional, în care  $u = u(x, t)$ ,  $\phi = \phi(x, t)$ ,  $x = (x_1, 0, 0)$ . Ecuatiile de mișcare (6.10) în cazul unu dimensional vor fi:

$$\begin{aligned} \frac{\partial^2 u}{\partial x^2} + \frac{\rho}{\lambda + 2\mu + \kappa} f_x &= \frac{\rho}{\lambda + 2\mu + \kappa} \frac{\partial^2 u}{\partial t^2} \\ \frac{\partial^2 \phi}{\partial x^2} - \frac{2\kappa}{\alpha + \beta + \gamma} \phi + \frac{\rho}{\alpha + \beta + \gamma} l_x &= \frac{\rho j}{\alpha + \beta + \gamma} \frac{\partial^2 \phi}{\partial t^2} \end{aligned} \quad (6.11)$$

Condițiile inițiale sunt:

$$\begin{aligned} u(x, 0) &= u_0(x); & \dot{u}(x, 0) &= v_0(x) \\ \phi(x, 0) &= \phi_0(x), & \dot{\phi}(x, 0) &= \nu_0(x) \end{aligned} \quad (6.12)$$

unde  $u_0, v_0, \phi_0, \nu_0$  sunt funcții definite în domeniul considerat la momentul  $t = 0$ . Condițiile pe frontieră sunt:

$$u(l, t) = 0; \quad \phi(l, t) = 0, l \in S \quad (6.13)$$

Utilizând transformata Laplace inversă vom obține soluția generală pentru deplasarea osului:

$$u(x, t) = \sin \frac{x}{2} \cos \left( \frac{\omega}{2} t \right) + \frac{2}{3\omega} \sin \frac{3x}{2} \sin \left( \frac{3\omega}{2} t \right) + \frac{4}{25\omega^2} \sin \frac{5x}{2} \left[ 1 - \cos \left( \frac{5\omega}{2} t \right) \right] \quad (6.14)$$

Pentru simplificarea calculelor vom nota cu:

$$A = \frac{\alpha + \beta + \gamma}{\rho j}; B = \frac{2\kappa}{\rho j}; C = \frac{1}{j}$$

Astfel, cea de-a doua ecuație din devine:

$$\frac{\partial^2 \phi}{\partial t^2} = A \frac{\partial^2 \phi}{\partial x^2} - B\phi + Cl_x \quad (6.15)$$

Deoarece  $l_x$  reprezintă momentul, vom considera că:

$$l_x = x \cdot f_x \sin \phi; \text{ unde } f_x = \sin \frac{5x}{2}$$

Astfel, vom avea următoarea ecuație:

$$\frac{\partial^2 \phi}{\partial t^2} = A \frac{\partial^2 \phi}{\partial x^2} - B\phi + C \cdot x \cdot \sin \frac{5x}{2} \sin \phi \quad (6.16)$$

cu condițiile inițiale și pe frontieră:

$$\begin{aligned} \phi(x, 0) &= x \sin \frac{x}{2}, & \frac{\partial \phi}{\partial t} &= x \sin \frac{3x}{2} \\ \phi(0, t) &= 0; & \frac{\partial \phi}{\partial t}(\pi, t) &= 0 \end{aligned} \quad (6.17)$$

Funcția microrotație va fi:

$$\begin{aligned}
 \phi(x, t) = & x \sin \frac{x}{2} \cos \left( \sqrt{\frac{A+4B}{4}} t \right) + \cos \frac{x}{2} \frac{1}{\sqrt{A+4B}} \sin \left( \frac{\sqrt{A+4B}}{2} t \right) + \quad (6.18) \\
 & + \frac{2}{\sqrt{9A+4B}} x \sin \frac{3x}{2} \sin \left( \sqrt{\frac{9A+4B}{4}} t \right) + \\
 & + \frac{3A}{4} \cos \frac{3x}{2} \left[ \sqrt{\frac{9A+4B}{4}} \sin \left( \sqrt{\frac{9A+4B}{4}} t \right) - t \frac{9A+4B}{4} \cos \left( \sqrt{\frac{9A+4B}{4}} t \right) \right] + \\
 & + \frac{4C}{25A+4B-4} \left[ \sin t - \frac{2}{\sqrt{25A+4B}} \sin \left( \frac{\sqrt{25A+4B}}{2} t \right) \right] x \sin \frac{5x}{2} + \\
 & + \frac{20AC}{25A+4B-4} \left[ \frac{4}{25A+4B-4} \left( \sin t - \frac{2}{\sqrt{25A+4B}} \sin \left( \frac{\sqrt{25A+4B}}{2} t \right) \right) - \right. \\
 & \left. - \frac{1}{4} \left( \frac{\sqrt{25A+4B}}{2} \sin \left( \frac{\sqrt{25A+4B}}{2} t \right) - t \frac{25A+4B}{4} \cos \left( \frac{\sqrt{25A+4B}}{2} t \right) \right) \right] \cos \frac{5x}{2}
 \end{aligned}$$

În figurile de mai jos sunt reprezentate variațiile deplasărilor și microrotațiilor pentru diferite valori de timp în cazul în care lungimea osului fracturat este  $l = \pi = 3.14$ .

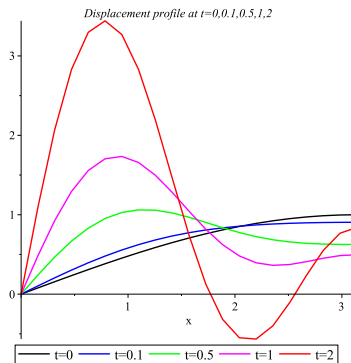


Figura 6.6: Profilul deplasării pentru valori de timp:  $t = 0; 0.1; 0.5; 1.0$

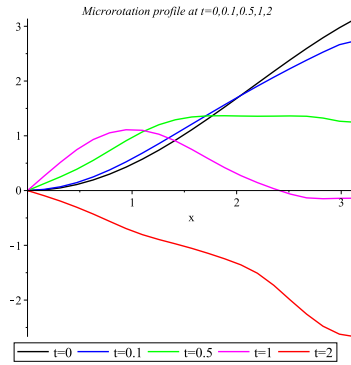


Figura 6.7: Profilul microrotației pentru valori de timp:  $t = 0; 0.1; 0.5; 1.0$

Având în vedere parametrii neomogeni cu structură armonică și dependentă de timp și având în vedere și deplasarea pe direcția considerată  $x$ , putem observa o variație ca în figurile de mai sus. Luând în considerare condițiile pe frontieră (??) impuse pentru deplasare și (6.17) pentru microrotație, putem explica variația reprezentată grafic că deplasarea și rotația se condiționează reciproc.

Când deplasarea atinge limita impusă, apare rotația și produce schimbarea direcției sale, ceea ce duce la o variație periodică.

# Capitolul 7

## Concluzii finale

Prezenta teză de doctorat intitulată *Probleme mixte cu date la limită și inițiale pentru medii continue generalizate* este structurată în 7 capitole propriu-zise și conține o listă bibliografică cu 115 titluri.

Capitolul întâi reprezintă o scurtă introducere în termoelasticitatea clasică, noțiuni generale preluate din cartea domnului academician Dorin Ieșan. Lucrarea de față conține rezultate originale prezentate în capitolele 2, 3, 4, 5 și 6 care au fost publicate sau care au fost trimise spre recenzie în reviste indexate ISI. În continuare voi enumera rezultatele originale, însoțite și de jurnalul în care au fost publicate.

Rezultate originale publicate:

1. studiul realizat în capitolul 2 cu privire la comportamentul temporal al soluțiilor în cazul corpurilor poroase micropolare a fost publicat în lucrarea: M. Marin, **O. Florea**, On temporal behavior of solutions in Thermoelasticity of porous micropolar bodies, *Analele Stiintifice ale Universitatii Ovidius Constanta*, Vol. 22(1), 2014, pp. 169-188 - jurnal indexat ISI cu Factor de Impact 0.452 și SRI: 0.272
2. studiul realizat în capitolul 3 cu privire la dislocările seismice care apar în corpurile termoelastice cu microstructură a fost publicat în lucrarea: M. Marin, **O. Florea**, S.R. Mahmoud, A Result regarding the Seismic Dislocations in Microstretch Thermoelastic Bodies, *Mathematical Problems in Engineering*,

Volume 2015, Article ID 850261, 8 pages - jurnal indexat ISI cu Factor de Impact: 1.145 și SRI: 0.784

3. studiul realizat în capitolul 4 cu privire la comportamentul spațial în cazul termoelasticității corpurilor cu porozitate dublă a fost publicat în lucrarea: **O. Florea**, Spatial behavior in thermoelastodynamics with double porosity structure, International Journal of Applied Mechanics, 9(7), 2017 - jurnal indexat ISI cu Factor de Impact 1.954 și SRI 0.84
4. studiul realizat în capitolul 5 cu privire la vibrațiile armonice în termoleasticitatea corpurilor cu porozitate dublă a fost publicat în lucrarea: **O. Florea**, Harmonic vibrations in thermoelastic dynamics with double porosity structure, Mathematics and Mechanics of Solids 1–15, 2018(online) - jurnal indexat ISI cu Factor de Impact 2.545 și SRI: 1.324
5. studiul realizat în secțiunea 6.1 cu privire la comportamentul mecanic și modelarea matematică a unui disc intervertebral a fost publicat în lucrarea: **O. Florea**, I. Rosca, The mechanical behavior and the mathematical modeling of an intervertebral disc, Acta Technica Napocensis, Series: Applied Mathematics, Mechanics and Engineering Vol. 58, Issue II, June, 2015 - jurnal indexat în WOS însă fără factor de impact

Rezultate originale trimise spre publicare:

1. studiul din capitolul 4, secțiunile 4.5-4.7, privind abordarea problemei înapoi în timp pentru medii dublu poroase cu microtemperatură se regăsește în lucrarea: **O. Florea**, Backward in time problem of a double porosity material with microtemperature - lucrare încărcată pe platforma arXiv.org și trimisă spre recenzie
2. studiul din secțiunea 6.2 cu privire la studiul microdeplasărilor într-o fractură de femur se regăsește în lucrarea: **O. Florea**, I. Roșca, R. Necula, Mathematical modeling of inter-fragmental microdisplacements in femoral fracture - lucrare trimisă spre recenzie

Alte studii realizate de-a lungul studiilor doctorale sunt:

1. Un studiu al mișcării de rostogolire a unei sfere pe o suprafață rugoasă a fost publicat în **O. Florea**, I.C. Rosca, Analytic study of a rolling sphere on a rough surface, AIP Advances, 6(11), 2016 - jurnal indexat cu Factor de Impact 1.653 și SRI 1.061



2. Studiul curgerii unui fluid newtonian între doi cilindrii concentrici a fost publicat în articolul **O. Florea**, A novel approach of the conformal mappings with applications in biotribology, Universitatea Ovidius – Constanța, România, Analele Științifice ale Universității Ovidius Constanța, Seria Matematică, volumul 23, fascicula 1, 2015, pp. 99-114 - jurnal indexat ISI cu Factor de Impact 0.452 și SRI: 0.272
3. Modelarea matematică a ecuației lui Reynold a unui fluid compresibil a fost publicată în M. Marin, R.P. Agarwal, **O. Florea**, A nonlinear equation for fluids in multiconnected domain, Boundary Value Problems 2015, 2015:198 doi:10.1186/s13661-015-0461-y - jurnal indexat ISI cu factor de impact 1.156 și SRI 0.541
4. Un studiu cu privire la modelarea curgerii unui fluid micropolar incompresibil cu alunecare utilizând condiții inițiale și pe frontieră atunci când viteza la perete depinde de frecvența vibrației a fost publicat în articolul **O. Florea**, Rosca IC, Stokes' Second Problem for a Micropolar Fluid with Slip. PLoS ONE 10(7): e0131860, 2015 - jurnal indexat ISI cu Factor de Impact 2.766 și SRI: 1.819
5. Un studiu cu privire la interpretarea bosonului composit, prin construirea soluției generale Dirac - Kahler pentru cazul spațiului sferic Riemann cu curbura constantă a fost publicat în articolul A. Ishkhanyan, **O. Florea**, E. Ovsyuk, V. Red'kov, Dirac–Kähler particle in Riemann spherical space: boson interpretation, Canadian Journal Physics, Volume 92, 2015 -jurnal indexat ISI cu factor de impact 0.983 și SRI 0.56

#### Dirjeciile viitoare de cercetare:

- studiul curgerii sângelui prin arterele elastice
- studiul vibrațiilor armonice în dinamica termoelastică cu structură triplă a porozității
- studiul microdeplasărilor și al microrotațiilor în fracturile de șold și umăr.



# Bibliografie

- [1] Adams, R.A., Sobolev Spaces, Academic Press, New York, 1975.
- [2] Aro HT, Chao EY. Bone-healing patterns affected by loading, fracture fragment stability, fracture type, and fracture site compression. *Clin Orthop Relat Res.* 1993 Aug;(293):8-17.
- [3] Augat P, Burger J, Schorlemmer S, Henke T, Peraus M, Claes L. Shear movement at the fracture site delays healing in a diaphysal fracture model, *J Orthop Res.* 2003 Nov;21(6):1011-7.
- [4] Barrenblatt, GI, Zheltov, IP, Kockina, IN. Basic Concepts in the Theory of Seepage of Homogeneous Liquids in Fissured Rocks (Strata), *Prikl.Mat. Mekh.* (English Translation) 1960; 24: 1286-1303.
- [5] Barenblatt, GI, Zheltov, IP. On the Basic Equations of Seepage of Homogeneous Liquids in Fissured Rock, *Akad. Nauk SSSR* (English Translation) 1960; 132: 545-548.
- [6] Berryman, JG, Wang, HF. Elastic Wave Propagation and Attenuation in a Double porosity Dual permeability Medium. *Int. J. Rock Mechanics and Mining Sciences* 2000; 37: 63-78.
- [7] Casas, P.S.; Quintanilla, R. Exponential decay in one-dimensional porous thermoelasticity, *Mech. Res. Commun*, 2005, 32, 625-658
- [8] Casas, P.S.; Quintanilla, R. Exponential stability in thermoelasticity with microtemperatures, *Int. J. Eng.*, 2005, 43, 33-47.

- [9] Chitita, S. Spatial decay estimates for solutions describing harmonic vibrations in a thermoelastic cylinder. *Journal of Thermal Stresses* 1995; 18(4): 421-436
- [10] S. Chirita, M. Ciarletta, and B. Straughan, Structural Stability in Porous Elasticity, *Proc. R. Soc. Lond. A* 2006; 462: 2593–2605.
- [11] S. Chirita and M. Ciarletta, On the Structural Stability of Thermoelastic Model of Porous Media, *Math. Methods Appl. Sci.* 2008; 31: 19–34.
- [12] S. Chirita and M. Ciarletta, Time-weighted Surface Power Function Method for the Study of Spatial Behaviour in Dynamics of Continua, *Eur. J. Mech. A/Solids*, vol. 18(1999), 915-933
- [13] E. Cosserat, F. Cosserat, Théorie des corps déformables, Herman et Fils, Paris, 1909
- [14] Cowin, SC. and Nunziato, JW. Linear elastic materials with voids, *Journal of Elasticity* 1983; 13: 125-147.
- [15] Cowin, SC. Bone Poroelasticity, *J. Biomech.* 1999; 32: 217-238.
- [16] Cowin, S. C., The viscoelastic behavior of linear elastic materials with voids, *Journal of Elasticity*, 15, 185–191, 1985 Solids, Springer-Verlag, New York, Berlin, Heidelberg, 1999
- [17] A.C. Eringen, Theory of micropolar elasticity, Princeton University, 1967
- [18] A.C. Eringen, Theory of thermo-microstretch elastic solids, *Int. J. Engng. Sci.*, vol. 28, pp. 1291-1301, 1990
- [19] A.C. Eringen, Microcontinuum Field Theories I: Foundations and Solids, Springer-Verlag, New York, Berlin, Heidelberg, 1999
- [20] Flavin, J.N, Knops, R.J, Payne, L. E, Decay estimates for the constrained elastic cylinder of variable cross-sections, *Quarterly of Applied Mathematics*, 1989 47(2), 325-350.
- [21] Flavin, J.N.; Knops, R.J.; Payne, L.E. Energy bounds in dynamical problem for a semi-infinite elastic beam, *Elasticity: Math Met & Appl*, 1989, 101-111.
- [22] Flavin, JN., Knops RJ. and Payne LE. Decay estimates for the constrained elastic cylinder of variable cross section. *Quart. Appl. Math.* 1989; 47: 325-350.

- [23] **O. Florea**, I.C. Rosca, Analytic study of a rolling sphere on a rough surface, *AIP Advances*, 6(11), 2016
- [24] **O. Florea**, A novel approach of the conformal mappings with applications in biotribology, Universitatea Ovidius – Constanța, România, *Analele Științifice ale Universității Ovidius Constanța, Seria Matematică*, volumul 23, fascicola 1, 2015, pp. 99-114
- [25] **O. Florea**, Harmonic vibrations in thermoelastic dynamics with double porosity structure, *Mathematics and Mechanics of Solids 1–15*, 2018 (online), DOI: 10.1177/1081286518761181
- [26] **O. Florea**, Spatial Behavior in Thermoelastodynamics with Double Porosity Structure, *International Journal of Applied Mechanics* 2017; 9(7): 1750097.
- [27] **O. Florea**, Backward in time problem of a double porosity material with microtemperature, arXiv:1808.07562v1 [physics.class-ph], Aug 2018
- [28] **O. Florea**, Mathematical Modeling of Some Physical Phenomena Through Dynamical Systems, chapter book in C. Flaut et al. (eds.), *Models and Theories in Social Systems, Studies in Systems, Decision and Control* 179, 77-93, Springer Nature Switzerland AG 2019
- [29] **O. Florea**, I.C. Rosca, The mechanical behavior and the mathematical modeling of an intervertebral disc, *ACTA TECHNICA NAPOCENSIS, Series: Applied Mathematics, Mechanics and Engineering*, Vol. 58, Issue III, 2015
- [30] **O. Florea**, Roșca IC, Stokes' Second Problem for a Micropolar Fluid with Slip. *PLoS ONE* 10(7): e0131860, 2015
- [31] G.P. Galdi, B. Straughan, Stability of solutions of the Navier-Stokes equations backward in time, *Arch. Rat. Mech. Anal.*, vol. 101, 107-114, 1988
- [32] Ghiba I.D, Linear thermoelastic model in R. Hetnarski (ed.), *Encyclopedia of Thermal Stresses*, pp. 2785-2794, Springer, 2014
- [33] Goodman, MA and Cowin, SC. A continuum theory for granular materials, *Archive for Rational Mechanics and Analysis* 1972; **44**: 249-266.
- [34] I. Hlavacek and J. Necas, On Inequalities of Korn's Type, *Arch. Rational Mech. Anal.*, vol. 36(1970), 305-334
- [35] A. T. De Hoop, "A domain of influence in Elasticity", *Appl. Sci. Res.*, vol. 16, pp. 39-45, 1966

- [36] A.T. De Hoop, Handbook of Radiation, Academic Press, London, New York, 1995
- [37] Huang, Z., Chen, Y. and Bai, S. L. [2013] "An elastoplastic constitutive model for porous materials", *International Journal of applied Mechanics*, **5**(3), 1350035.
- [38] Ieșan, D., Mecanica generalizată a solidelor, Universitatea Al. I. Cuza, Iași, 1980
- [39] Ieșan, D. and Quintanilla, R. On a theory of thermoelastic materials with a double porosity structure, *Journal of Thermal Stress* 2014; **37**: 1017 - 1036.
- [40] D. Ieșan, A Theory of Thermoelastic Materials with Voids, *Acta Mechanica*, vol. 60(1986), 67-89
- [41] D. Ieșan, "Some applications of micropolar mechanics to earthquake problems", *Int. J. Engng. Sci.*, vol. 19, pp. 855- 864, 1981
- [42] D. Ieșan, R. Quintanilla, Non-linear deformations of porous elastic solids, *International Journal of Non-Linear Mechanics*, 49(2013), 57-65.
- [43] A. Ishkhanyan, **O. Florea**, E. Ovsyuk, V. Red'kov, Dirac-Kähler particle in Riemann spherical space: boson interpretation, *Canadian Journal Physics*, Volume 92, 2015
- [44] L. Knopoff, A. K. Chatterjee, "Crack breakout dynamics", *Bull. Seism. Soc. Am.*, vol. 72, pp. 1571-1579, 1990
- [45] R.J. Knops, L. E. Payne, On the stability of solutions of the Navier - Stokes equations backward in time, *Arch. Rat. Mech. Anal.*, vol. 29, 321-335, 1968
- [46] Lakes RS, Nakamura S. et al. Fracture mechanics of bone with short cracks. *J. of Biomechanics*, 1990; **23**(10): 967-975
- [47] Magana, A.; Quintanilla, R. On the exponential decay of solutions in one-dimensional generalized porous-thermo-elasticity, *Assymptot. Anal*, 2006, **49**, 173-187.
- [48] Magana, A.; Quintanilla, R. On the time decay of solutions in one-dimensional theories of porous materials, *Int. J. Solids. Structure*, 2006, **43**, 3414-3427

- [49] M. Marin, R.P. Agarwal, **O. Florea**, A nonlinear equation for fluids in multiconnected domain, *Boundary Value Problems* 2015, 2015:198 doi:10.1186/s13661-015-0461-y
- [50] Marin, M, **Florea, O.** On temporal behaviour of solutions in thermoelasticity of porous micropolar bodies, *An. St. Univ. Ovidius Constanta* 2014; 22: 69-188.
- [51] Marin, M, **Florea, O.** and Mahmoud, SR. A Result regarding the Seismic Dislocations in Microstretch Thermoelastic Bodies, *Mathematical Problems in Engineering* 2015; 2015: 850261.
- [52] Marin, M, and Abbas, I. Evolution of solutions for dipolar bodies in thermoelasticity without energy dissipation, *An. St. Univ. Ovidius Constanta* 2016, 24: 57-82.
- [53] Marin, M, and Baleanu, D. On vibrations in thermoelasticity without energy dissipation for micropolar bodies, *Boundary Value Problems* 2016; 2016: 111.
- [54] Marin, M., Vlase, S. and Paun, M. Considerations on double porosity structure for micropolar bodies, *AIP Advances* 2015; 5: 037113
- [55] M. Marin, A partition of energy in Thermoelasticity of microstretch bodies *Nonlinear Analysis: R. W. A.*, Vol. 11, 4(2010), 2436-2447
- [56] M. Marin, Lagrange identity method for microstretch thermoelastic materials, *Journal of Math. Analysis and Appl.*, Vol. 363, 1(2010), 275-286
- [57] M. Marin, On harmonic vibrations in thermoelasticity of micropolar bodies *Journal of Vibration and Control*, 5(1998), 507-518.
- [58] M. Marin, R.P. Agarwal, S.R. Mahmoud, "Nonsimple material problems addressed by the Lagrange identity", *Boundary Value Problems*, vol. 2013, pp. 1-14, 2013, doi:10.1186/1687-2770-2013-135
- [59] M. Marin, G. Stan, "Weak solutions in Elasticity of dipolar bodies with stretch", *Carpathian J. Math.*, vol. 29, no. 1, pp. 33-40, 2013
- [60] Misra JC, Samanta S, A Mathematical Model for the Biomechanics of the Body of a Vertebra, *Comput. Math. Applic.*, 5:2, 1988
- [61] J. W. Nunziato and S. C. Cowin, A Nonlinear Theory of Elastic Materials with Voids, *Arch. Rational Mech. Anal.*, vol. 72(1979), 175-201

- [62] F. Passarella, V. Tibullo, V. Zampoli, On the uniqueness in dynamical thermoelasticity backward in time for porous media, *J. of Thermal Stresses*, vol. 36, 501-515, 2013.
- [63] Pauwels F. A new theory of the influence of mechanical stimuli on the differentiation of supporting tissue. The tenth contribution to the functional anatomy and causal morphology of the supporting structure. *Z Anat Entwicklungsgesch.* 1960;121:478-515.
- [64] Quintanilla, R. Impossibility of localization in thermo-porous-elasticity with microtemperatures, *Acta Mecanica*, 2009, 207(145), 145-151.
- [65] Quintanilla, R. Impossibility of localization in linear thermoelasticity with voids, *Mechanics Research Communications* 2007; 34: 522–527.
- [66] Serrin, J., The initial value problem for Navier-Stokes equations, *Proc. Symp. Non-Linear Problems*, 69-98, Univ. Wisconsin Press, Madison, 1963
- [67] Shefelbine Sandra J. et al. Intact fibula improves fracture healing in a rat tibia osteotomy model, *Clim. Orthop. Relat. Res.*, 2005, 23(2), 489-493
- [68] Svanadze, M. Plane waves and boundary value problems in the theory of elasticity for solids with double porosity. *Acta Applicandae Mathematicae* 2012; 122: 461-471.
- [69] C. Truesdell, W. Noll, *Handbuch der Physik*, vol.III/3, Springer, Berlin, 1965
- [70] Zhao, Y. and Chen, M. [2006] Fully Coupled Dual-porosity Model for Anisotropic For- mations, *Int. J. Rock Mech. Min. Sci.*, **43**, 1128-1133.
- [71] Van Buskirk WC, Ashman RB, The elastic moduli of bone. in: *Mechanical Properties of Bone*, Joint ASME-ASCE Bioengineering Conference. American Society of Mechanical Engineers, New York; 1981.



# Anexe

## Anexa1. Scurt rezumat al tezei

Teza de doctorat intitulată *Probleme mixte cu date la limită și inițiale pentru medii continue generalizate*, este structurată în 7 capitole, un capitol introductiv, 5 capitole care conțin rezultate originale și un capitol cu concluzii și direcții viitoare de cercetare. În primul capitol sunt prezentate noțiuni introductive din termoelasticitatea clasică. În capitolul 2 a fost considerat un corp poros termoelastic cu date inițiale și pe frontieră, pentru care s-a analizat comportamentul temporal al soluțiilor. Au fost utilizate mediile Caesaro pentru componentele energiei și a fost demonstrată echipartiția asimptotică a energiilor cinetică și de deformare. În capitolul 3 este obținută o relație de tip De Hoop - Knopoff pentru câmpul deplasărilor, în contextul termoelasticității corpurilor cu microstructură, având aplicații în studiul dislocărilor seismice. Capitolul 4 prezintă studiul comportamentului spațial al soluțiilor în cazul termoelasticității corpurilor cu porozitate dublă. Au fost abordate două situații: pentru domeniile mărginite a fost obținută imposibilitatea localizării în timp a soluțiilor, prin demonstrarea unicității soluțiilor pentru problema înapoi în timp, iar cel de-al doilea studiu a constat în obținerea alternativei Phragmen–Lindelof în cazul cilindrilor semi-infiniți și aflarea limitei superioare a amplitudinii. Capitolul este continuat cu un studiu al problemei înapoi în timp privind materialele dublu poroase cu microtemperaturi. Studiul vibrațiilor armonice în dinamica termoelastică a corpurilor cu structură dublă poroasă este prezentat în capitolul 5. A fost studiată amplitudinea vibrațiilor pentru problema înapoi în timp obținând legile de conservare. Capitolul 6 prezintă două aplicații ale mediilor poroase în medicină. A fost dezvoltat un studiu asupra dinamicii discurilor intervertebrale. Principalele trei proprietăți ale osului, precum rezistența

materialului, anizotropia și neomogenitatea au fost luate în considerare. Cel de-al doilea studiu se ocupă de studiul unei fracturi femurale din punctul de vedere al modelării matematice. Scopul principal al autorilor este de a găsi o expresie analitică pentru microdeplasările și microrotațiile în fractura diafizală femurală. Ultimul capitol conține concluziile finale fiind prezentate contribuțiile originale și direcțiile viitoare de cercetare. Rezultatele cuprinse în această teză pot fi extinse în teoria mediilor poroase cu tripla structură de porozitate. Teoriile prezentate în prezenta teză se pot aplica pentru analiza comportamentului soluțiilor mediilor poroase când sunt luate în considerare microtemperatura și microconcentrațiile.

\*                      \*

\*

The PhD thesis, entitled, *Mixt problems with boundary and initial data for generalized continua* is structured into 7 chapters: an introductory chapter, 5 chapters that contain original results and a chapter with conclusions and further research. In the first chapter are presented introductory notions regarding the classical thermoelasticity. In the second chapter it was considered a porous material with initial and boundary data, for which it was analyzed the temporal behavior of the solutions. The Caesaro means for the energy components were used and it was proved the asymptotic equipartition of the kinetic and strain energies. In the third chapter it is obtained a De Hoop-Knopoff relation for the displacements field, in the frame of the themoleasticity bodies with microstructure, having applications in the seismic dislocations. Chapter 4 presents the study of the spatial behavior of the solutions in the case of materials with double porosity. There were approached two situations: for the boundary domains it was obtained the impossibility of localisation in time of solutions, using the unicity of solutions for the backward in time problem, and the second study consists in the obtaining of the Phragmen-Lindlof alternative in the case of semi-infinite cylinders and finding the upper limit for the amplitude. The chapter is ended with the study of the backward in time problem for the materials with double porosity and microtemperatures. The study of harmonical vibrations in the frame of the termoleasticity of materials with double porosity is presented in chapter 5. For the backward in time problem there were obtained some conservation laws. Chapter 6 presents two applications for the porous bodies in medicine. It was developed a study on the inter-vertebral discs. The main properties of the bone were taken into consideration: the resistance, anisotropy and non homogeneity of the bone. The second study deals with the femoral fracture form the point of view of mathematical modeling. The main aim is to find an analytic expression for the microdisplacements and microrotations from

the diaphisal femoral fracture. The last chapter contains the final conclusions, being presented the original contributions and further research. The results encountered in the present thesis may be extended into the theory of materials with triple porosity structure. The presented theories can be applied to analyse the behavior of the solutions for porous continua when are taken into consideration the microtemperatures and microconcentrations.



## Anexa 2. Curriculum Vitae

**Informații personale**      **Olivia - Ana PETCU (căs. FLOREA)**  
E-mail: olivia.florea@unitbv.ro

---

**Experiența profesională**

**2016-prezent** – Prodecan cu activitatea cu studenții în cadrul Facultății de Matematică și Informatică a Universității *Transilvania* din Brașov

**2016-prezent** – Conferențiar universitar în cadrul Departamentului de Matematică și Informatică al Facultății de Matematică și Informatică a Universității *Transilvania* din Brașov

**2011-2016** – Lector universitar în cadrul Departamentului de Matematică și Informatică al Facultății de Matematică și Informatică a Universității *Transilvania* din Brașov

**2011-prezent** – Coordonator program Conversie Profesională domeniul Matematică pentru cadrele didactice din învățământul preuniversitar, Facultatea de Matematică și Informatică a Universității *Transilvania*

**2007-2011** – Asistent universitar în cadrul Departamentului de Matematică și Informatică al Facultății de Matematică și Informatică a Universității *Transilvania* din Brașov

**2004-2007** – Preparator universitar în cadrul Departamentului de Matematică și Informatică al Facultății de Matematică și Informatică a Universității *Transilvania* din Brașov

---

**Educație**

**2014-prezent** – Doctorand, Domeniul matematică, Facultatea de Matematică și Informatică, Universitatea *Transilvania*, Brașov

**2004-2010** – Doctor în Științe Inginerești, Facultatea de Inginerie Mecanică, Universitatea *Transilvania* din Brașov, Cond. șt. Prof. dr. ing. mat. Adrian POSTELNICU

**2001-2002** - Studii Aprofundate în specializarea Metode Matematice și Produse Software Facultatea de Științe, Universitatea *Transilvania*

**1997-2001** – Licență în matematică, Facultatea de Științe, Universitatea *Transilvania*, Brașov

---

**Aptitudini și competențe personale**

**Limbi străine cunoscute/Autoevaluare:**  
Engleză – înțelegere-avansat, vorbire-mediu, scriere-avansat  
Franceză – înțelegere-avansat, vorbire-mediu, scriere-mediu

**Competențe informatice:**  
Limbajele de programare Python, HTML  
Editoarele din pachetul Microsoft Office  
Programele Mathematica, Scilab, Matlab, LaTeX

**Personal information** **Olivia - Ana PETCU (căs. FLOREA)**  
E-mail: olivia.florea@unitbv.ro

---

**Work experience** **2016-now** – Vice-dean with students activity, Faculty of Mathematics and Computer Science, *Transilvania* University of Braşov  
**2016-now** – Associate Profesor, Department of Mathematics and Computer Science, Faculty of Mathematics and Computer Science, *Transilvania* University of Braşov  
**2011-2016** – Lecturer, Department of Mathematics and Computer Science Faculty of Mathematics and Computer Science, *Transilvania* University  
**2011-now** – Coordinator of Conversion Program for teachers in Mathematics, Faculty of Mathematics and Computer Science, *Transilvania* University of Braşov  
**2007-2011** – Assistant professor, Department of Mathematics and Computer Science, Faculty of Mathematics and Computer Science, *Transilvania* University of Braşov  
**2004-2007** – Teaching assistant, Department of Mathematics and Computer Science, Faculty of Mathematics and Computer Science, *Transilvania* University of Braşov

---

**Education** **2014-now** – PhD student in Mathematics Faculty of Mathematics , and Computer Science, *Transilvania* University of Braşov  
**2004-2010** – PhD in Engineering Sciences, Faculty of Mechanics, *Transilvania* University of Braşov,  
 Coord. şt. Prof. dr. ing. mat. Adrian POSTELNICU  
**2001-2002** - Advanced Studies in Mathematical Methods ans Software Products, Faculty of Sciences, *Transilvania* University of Braşov  
**1997-2001** – Bachelor degree in Mathematics, Faculty of Sciences, *Transilvania* University of Braşov

---

**Personal skills** **Foreign languages/Self-evaluation:**  
 English – understanding-advanced, speaking-medium, writing-advanced  
 French – understanding-advanced, speaking-medium, writing-medium  
**Social skills:**  
 Communicative, serious, organized, responsible, adaptable, perfectionist, dynamic  
**PC skills:**  
 Programming languages: Python, HTML  
 Microsoft Office package  
 Mathematica, Scilab, Matlab, LaTeX